

(12) 特許協力条約に基づいて公開された国際出願

(19) 世界知的所有権機関
国際事務局(43) 国際公開日
2012年3月8日(08.03.2012)

PCT



(10) 国際公開番号

WO 2012/029317 A1

- (51) 国際特許分類:
H02J 7/02 (2006.01) G01R 31/36 (2006.01)
- (21) 国際出願番号:
PCT/JP2011/004893
- (22) 国際出願日:
2011年8月31日(31.08.2011)
- (25) 国際出願の言語:
日本語
- (26) 国際公開の言語:
日本語
- (30) 優先権データ:
特願 2010-194406 2010年8月31日(31.08.2010) JP
- (71) 出願人(米国を除く全ての指定国について):三洋電機株式会社(SANYO ELECTRIC CO., LTD.) [JP/JP]; 〒5708677 大阪府守口市京阪本通2丁目5番5号 Osaka (JP).
- (72) 発明者;および
(75) 発明者/出願人(米国についてのみ):國光 智徳(KUNIMITSU, Tomonori) [JP/JP]; 〒5708677 大阪府守口市京阪本通2丁目5番5号三洋電機株式会社内 Osaka (JP). 西原 由知(NISHIHARA, Yoshitomo) [JP/JP]; 〒5708677 大阪府守口市京阪

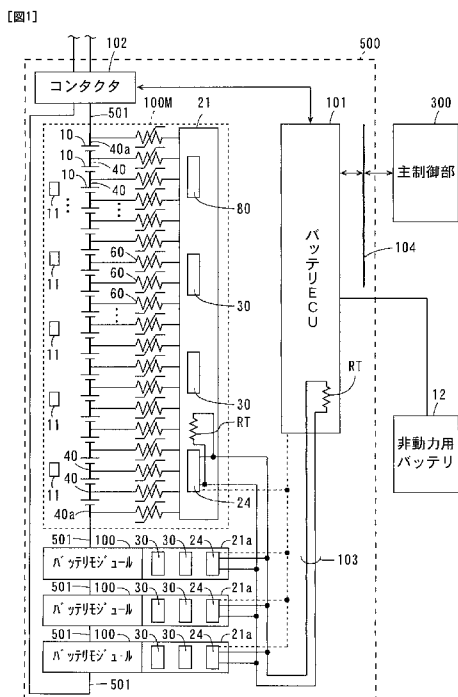
本通2丁目5番5号三洋電機株式会社内 Osaka (JP). 岸本 圭司(KISHIMOTO, Keiji) [JP/JP]; 〒5708677 大阪府守口市京阪本通2丁目5番5号三洋電機株式会社内 Osaka (JP).

- (74) 代理人: 福島 祥人(FUKUSHIMA, Yoshito); 〒5640052 大阪府吹田市広芝町4番1号江坂・ミタカビル3階 Osaka (JP).
- (81) 指定国(表示のない限り、全ての種類の国内保護が可能): AE, AG, AL, AM, AO, AT, AU, AZ, BA, BB, BG, BH, BR, BW, BY, BZ, CA, CH, CL, CN, CO, CR, CU, CZ, DE, DK, DM, DO, DZ, EC, EE, EG, ES, FI, GB, GD, GE, GH, GM, GT, HN, HR, HU, ID, IL, IN, IS, JP, KE, KG, KM, KN, KP, KR, KZ, LA, LC, LK, LR, LS, LT, LU, LY, MA, MD, ME, MG, MK, MN, MW, MX, MY, MZ, NA, NG, NI, NO, NZ, OM, PE, PG, PH, PL, PT, QA, RO, RS, RU, RW, SC, SD, SE, SG, SK, SL, SM, ST, SV, SY, TH, TJ, TM, TN, TR, TT, TZ, UA, UG, US, UZ, VC, VN, ZA, ZM, ZW.
- (84) 指定国(表示のない限り、全ての種類の広域保護が可能): ARIPO (BW, GH, GM, KE, LR, LS, MW,

[続葉有]

(54) Title: BATTERY SYSTEM, ELECTRICALLY DRIVEN VEHICLE PROVIDED WITH SAME, MOVING BODY, POWER STORAGE APPARATUS, POWER SUPPLY APPARATUS, AND ELECTRICAL EQUIPMENT

(54) 発明の名称: バッテリシステム、それを備えた電動車両、移動体、電力貯蔵装置、電源装置および電気機器



12 BATTERY FOR NON MOTIVE-POWER USE
100 BATTERY MODULE
101 BATTERY ECU
102 CONTACTOR
300 MAIN CONTROL UNIT

(57) Abstract: A battery system is provided with battery modules and a bus. Each of the battery modules comprises a plurality of battery cells and a main circuit board. The main circuit board comprises first circuits, a second circuit, and a terminator. Voltages of the battery cells of the battery module are detected by the first circuits of the main circuit board. The terminator of the main circuit board is connected to the bus. The voltages of the battery cells detected by the first circuits of the main circuit board can be transmitted to an external device via the bus, by the second circuit of the main circuit board.

(57) 要約: バッテリシステムはバッテリモジュールおよびバスを備える。バッテリモジュールは、複数のバッテリセルおよび主回路基板を含む。主回路基板は、第1回路、第2回路および終端抵抗を含む。主回路基板の第1回路によりバッテリモジュールの各バッテリセルの電圧が検出される。主回路基板の終端抵抗はバスに接続される。主回路基板の第1回路により検出された各バッテリセルの電圧は、主回路基板の第2回路によりバスを介して外部装置に送信可能である。

WO 2012/029317 A1



MZ, NA, SD, SL, SZ, TZ, UG, ZM, ZW), ユーラシア
(AM, AZ, BY, KG, KZ, MD, RU, TJ, TM), ヨーロッパ

(BF, BJ, CF, CG, CI, CM, GA, GN, GQ, GW, ML, MR,
NE, SN, TD, TG).

(AL, AT, BE, BG, CH, CY, CZ, DE, DK, EE, ES, FI, FR,
GB, GR, HR, HU, IE, IS, IT, LT, LU, LV, MC, MK, MT,
NL, NO, PL, PT, RO, RS, SE, SI, SK, SM, TR), OAPI

添付公開書類:

— 国際調査報告（条約第 21 条(3)）

明細書

発明の名称：

バッテリシステム、それを備えた電動車両、移動体、電力貯蔵装置、電源装置および電気機器

技術分野

[0001] 本発明は、バッテリモジュールを含むバッテリシステム、電動車両、移動体、電力貯蔵装置、電源装置および電気機器に関する。

背景技術

[0002] 電動自転車等の電動車両には、複数のバッテリモジュールを備えたバッテリシステムが搭載される。各バッテリモジュールは通信部を含む。バッテリモジュールは、通信部を介して他のバッテリモジュールおよび他の装置と通信可能に接続される。

[0003] 特許文献1に記載された車両用電源装置においては、複数のバッテリモジュール（キャパシタセルモジュール）、ハイブリッドＥＣＵ（電子制御ユニット）、車両の電動機およびインバータの間で各種の情報を送受信するため、通信ネットワークが構築される。これにより、各バッテリモジュールの情報は、ハイブリッドＥＣＵへ通信ネットワークを介して伝達され、ハイブリッドＥＣＵの情報は、通信ネットワークを介して各バッテリモジュールへ伝達される。

特許文献1：特開2002-281690号公報

発明の概要

発明が解決しようとする課題

[0004] 特許文献1の車両用電源装置においては、通信ネットワークの末端での信号の不要な反射を防ぐために、通信ネットワークに終端抵抗が取り付けられる。そのため、車両用電源装置の通信ネットワークに終端抵抗を取り付けるために煩雑な配線作業が必要になるとともに、車両用電源装置の配線構造が複雑化する。

[0005] 本発明の目的は、煩雑な配線作業を必要とすることなくかつ配線構造を複雑にすることなく良好な通信が可能なバッテリシステム、それを備えた電動車両、移動体、電力貯蔵装置、電源装置および電気機器を提供することである。

課題を解決するための手段

[0006] 本発明に係るバッテリシステムは、複数の第1のバッテリセルおよび第1の回路基板を含む第1のバッテリモジュールと、通信バスと、通信バスに接続可能な通信機器とを備え、第1の回路基板は、各第1のバッテリセルの電圧を検出する第1の電圧検出部と、第1の電圧検出部に接続されるとともに通信バスに接続可能な第1の通信部と、通信バスに接続可能な第1の終端抵抗とを含むものである。

発明の効果

[0007] 本発明によれば、煩雑な配線作業を必要とすることなくかつ配線構造を複雑にすることなく良好な通信が可能になる。

図面の簡単な説明

[0008] [図1]図1は第1の実施の形態に係るバッテリシステムの構成を示すブロック図である。

[図2]図2は図1の主回路基板および複数の副回路基板の接続を示す説明図である。

[図3]図3はバッテリモジュールにおける複数のバッテリセルと主回路基板との接続を示す図である。

[図4]図4はバッテリモジュールにおける複数のバッテリセルと副回路基板との接続を示す図である。

[図5]図5は低電位側第1回路および第3回路の構成を示すブロック図である。

[図6]図6は第2回路の構成を示すブロック図である。

[図7]図7はバッテリモジュールの外観斜視図である。

[図8]図8はバッテリモジュールの平面図である。

[図9]図9はバッテリモジュールの端面図である。

[図10]図10はバスバーの外観斜視図である。

[図11]図11はFPC基板に複数のバスバーおよび複数のPTC素子が取り付けられた状態を示す外観斜視図である。

[図12]図12はバッテリモジュールにおけるバスバーと低電位側第1回路および高電位側第1回路との接続について説明するための模式的平面図である。

[図13]図13は電圧電流バスバーおよびFPC基板を示す拡大平面図である。

[図14]図14は主回路基板および副回路基板の一構成例を示す模式的平面図である。

[図15]図15はバッテリシステムの配置の例を示す模式的平面図である。

[図16]図16は図15のコンタクタの構成を示す模式的平面図である。

[図17]図17は第2の実施の形態における主回路基板および副回路基板の一構成例を示す模式的平面図である。

[図18]図18は図17の主回路基板および複数の副回路基板の接続を示す説明図である。

[図19]図19は第2の実施の形態に係るバッテリシステムの配置の例を示す模式的平面図である。

[図20]図20はバッテリシステムを備える電動自動車の構成を示すブロック図である。

[図21]図21はバッテリシステムを備える電源装置の構成を示すブロック図である。

[図22]図22は第1の変形例に係るバッテリモジュールの構成を示す外観斜視図である。

[図23]図23は図22の蓋部材を斜め下方から見た斜視図である。

[図24]図24は図22の蓋部材を斜め上方から見た斜視図である。

[図25]図25は第1の変形例における複数のバスバーおよび2枚のFPC基

板を上方から見た図である。

[図26]図26は第1の変形例における主回路基板を上方から見た図である。

[図27]図27は第1の変形例におけるFPC基板と主回路基板との接続構造を示す模式的断面図である。

[図28]図28は第2の変形例に係るバッテリモジュールの構成を示す外観斜視図である。

[図29]図29は図28の蓋部材を斜め下方から見た斜視図である。

[図30]図30は図28の蓋部材を斜め上方から見た斜視図である。

[図31]図31は他の実施の形態に係るバッテリシステムの構成を示すブロック図である。

発明を実施するための形態

[0009] [1] 第1の実施の形態

以下、第1の実施の形態に係るバッテリシステムについて図面を参照しながら説明する。なお、本実施の形態に係るバッテリシステムは、電力を駆動源とする電動車両（例えば電動自動車）に搭載される。

[0010] (1) バッテリシステムの構成

図1は、第1の実施の形態に係るバッテリシステムの構成を示すブロック図である。図1に示すように、バッテリシステム500は、複数のバッテリモジュール100M、100およびコンタクタ102を含む。本実施の形態では、バッテリシステム500は第1のバッテリモジュールとして1つのバッテリモジュール100Mおよび第2のバッテリモジュールとして3つのバッテリモジュール100を含む。また、バッテリシステム500は、バッテリECU (Electronic Control Unit: 電子制御ユニット) 101を通信機器および制御部として含む。

[0011] バッテリシステム500の複数のバッテリモジュール100M、100は、電源線501を通して互いに接続されている。バッテリモジュール100Mは、第1のバッテリセルとして複数（本例では18個）のバッテリセル10を有し、複数（本例では5個）のサーミスタ11を有する。バッテリモジ

ユール 100 は、第 2 のバッテリセルとして複数（本例では 18 個）のバッテリセル 10 を有し、複数（本例では 5 個）のサーミスタ 11 を有する。

- [0012] 各バッテリモジュール 100M, 100において、複数のバッテリセル 10 は互いに隣接するように一体的に配置され、複数のバスバー 40 により直列接続されている。各バッテリセル 10 は、例えばリチウムイオン電池またはニッケル水素電池等の二次電池である。
- [0013] 両端部に配置されるバッテリセル 10 は、バスバー 40a を介して電源線 501 に接続されている。これにより、バッテリシステム 500においては、複数のバッテリモジュール 100M, 100 の全てのバッテリセル 10 が直列接続されている。
- [0014] バッテリモジュール 100M は、第 1 の回路基板としてのリジッドプリント回路基板からなる主回路基板 21 を有する。主回路基板 21 には、第 1 の電圧検出部としての複数の第 1 回路 30、第 1 の通信部としての第 2 回路 24 および電圧検出部とは異なる動作を行う回路部としての第 3 回路 80 が実装される。本実施の形態では、回路部は電流検出部である。すなわち、回路部である第 3 回路 80 は、電圧検出部とは異なる機能を実現する機能部として動作する。各バッテリモジュール 100 は、第 2 の回路基板としてのリジッドプリント回路基板からなる副回路基板 21a を有する。副回路基板 21a には、第 2 の電圧検出部としての複数の第 1 回路 30 および第 2 の通信部としての第 2 回路 24 が実装され、第 3 回路 80 は実装されない。
- [0015] 主回路基板 21 において、各第 1 回路 30 は各バッテリセル 10 の端子電圧を検出する機能を有する。第 2 回路 24 はバッテリ ECU 101 または他のバッテリモジュール 100 とシリアル通信を行う機能を有する。第 3 回路 80 は複数のバッテリセル 10 に流れる電流を電圧の形態で検出する機能を有する。
- [0016] 第 2 回路 24 は、第 1 回路 30 および第 3 回路 80 に接続される。これにより、第 2 回路 24 は、バッテリモジュール 100M の各バッテリセル 10 の端子電圧および複数のバッテリセル 10 に流れる電流を取得する。また、

第2回路24は、バッテリモジュール100Mの各サーミスタ11に電気的に接続される。これにより、第2回路24は、バッテリモジュール100Mの温度を取得する。

- [0017] 各副回路基板21aにおいて、各第1回路30は各バッテリセル10の端子電圧を検出する機能を有する。第2回路24はバッテリECU101または他のバッテリモジュール100M, 100とシリアル通信を行う機能を有する。
- [0018] 第2回路24は、第1回路30に接続される。これにより、第2回路24は、バッテリモジュール100の各バッテリセル10の端子電圧を取得する。また、第2回路24は、バッテリモジュール100の各サーミスタ11に電気的に接続される。これにより、第2回路24は、バッテリモジュール100の温度を検出する。
- [0019] バッテリモジュール100Mの第2回路24および複数のバッテリモジュール100の第2回路24は、通信バスであるシリアル通信用のバス103を介してバッテリECU101に接続されている。バス103の両端には、例えば100Ωの終端抵抗RTが取り付けられる。一方の終端抵抗RTは、バッテリモジュール100Mの主回路基板21に第1の終端抵抗として実装される。また、他方の終端抵抗RTは、バッテリECU101内に第2の終端抵抗として設けられる。上記のバッテリモジュール100M, 100の温度、各バッテリセル10の端子電圧および複数のバッテリセル10に流れる電流をセル情報と呼ぶ。各第2回路24は、セル情報をバス103を介してバッテリECU101に送信する。
- [0020] バッテリECU101は、非動力用バッテリ12に接続される。なお、本実施の形態において、非動力用バッテリ12は鉛蓄電池である。バッテリECU101は、各第2回路24から与えられたセル情報に基づいて各バッテリセル10の充電量を算出する。また、バッテリECU101は、各第2回路24から与えられたセル情報に基づいて各バッテリモジュール100M, 100の異常を検出する。バッテリモジュール100M, 100の異常とは

、例えば、バッテリセル10の過放電、過充電または温度異常等である。

[0021] 複数のバッテリモジュール100M, 100の最も高電位のプラス電極に接続される電源線501および最も低電位のマイナス電極に接続される電源線501は、コンタクタ102を介して電動車両のモータ等の負荷に接続される。バッテリECU101は、バッテリモジュール100M, 100の異常を検出した場合、コンタクタ102をオフする。これにより、異常時には、複数のバッテリセル10に電流が流れないので、バッテリモジュール100M, 100の異常発熱が防止される。

[0022] バッテリECU101は、バス104を介して主制御部300に接続される。バッテリECU101から主制御部300に各バッテリモジュール100M, 100の充電量（バッテリセル10の充電量）が与えられる。主制御部300は、その充電量に基づいて電動車両の動力（例えばモータの回転速度）を制御する。また、各バッテリモジュール100M, 100の充電量が少なくなると、主制御部300は、電源線501に接続された図示しない発電装置を制御して各バッテリモジュール100M, 100を充電する。

[0023] 図2は、図1の主回路基板21および複数の副回路基板21aの接続を示す説明図である。主回路基板21および副回路基板21aの詳細は図14で後述する。主回路基板21には、複数の第1回路30、共通の第2回路24、第3回路80、絶縁素子25, 27およびコネクタ23a, 23bが実装される。本実施の形態において、主回路基板21に2個の第1回路30が実装される。一方の第1回路30を低電位側第1回路30Lと呼び、他方の第1回路30を高電位側第1回路30Hと呼ぶ。低電位側第1回路30Lと第2回路24とは、絶縁素子25により互いに電気的に絶縁されつつ通信可能に接続される。低電位側第1回路30Lには高電位側第1回路30Hが接続される。第3回路80と第2回路24とは、絶縁素子27により互いに電気的に絶縁されつつ通信可能に接続される。

[0024] コネクタ23aは、一对の接続線L1, L2により第2回路24に接続される。コネクタ23bは、一对の接続線L3, L4により第2回路24に接

続される。バッテリモジュール100Mの複数のバッテリセル10は、低電位側第1回路30L、高電位側第1回路30Hおよび第3回路80の電源として用いられる。非動力用バッテリ12は、第2回路24の電源として用いられる。

- [0025] 主回路基板21のコネクタ23bは、いずれにも接続されない。また、主回路基板21の一対の接続線L3, L4の間に終端抵抗RTが接続される。
- [0026] 副回路基板21aには、低電位側第1回路30L、高電位側第1回路30H、共通の第2回路24、絶縁素子25およびコネクタ23a, 23bが実装される。低電位側第1回路30Lと第2回路24とは、絶縁素子25により互いに電気的に絶縁されつつ通信可能に接続される。低電位側第1回路30Lには高電位側第1回路30Hが接続される。
- [0027] コネクタ23aは、一対の接続線L1, L2により第2回路24に接続される。コネクタ23bは、一対の接続線L3, L4により第2回路24に接続される。バッテリモジュール100の複数のバッテリセル10は、低電位側第1回路30Lおよび高電位側第1回路30Hの電源として用いられる。非動力用バッテリ12は、第2回路24の電源として用いられる。
- [0028] 主回路基板21のコネクタ23aは、一対の通信線PA1, PB1を介して一の副回路基板21aのコネクタ23bに接続される。一の副回路基板21aのコネクタ23aは、一対の通信線PA2, PB2を介して他の副回路基板21aのコネクタ23bに接続される。他の副回路基板21aのコネクタ23aは、一対の通信線PA3, PB3を介してさらに他の副回路基板21aのコネクタ23bに接続される。さらに他の副回路基板21aのコネクタ23aは、一対の通信線PA4, PB4を介してバッテリECU101に接続される。
- [0029] バッテリECU101は、リジッドプリント回路基板からなるプリント回路基板105を有する。プリント回路基板105には、MPU（マイクロプロセッサ）106、スイッチ回路107およびコネクタ108が実装される。プリント回路基板105には、非動力用バッテリ12により供給される電

圧を降圧する電源回路および図1のコンタクタ102をオンおよびオフするコンタクタ制御回路等の他の回路も実装されている。コネクタ108は、一对の接続線L5, L6によりMPU106に接続される。MPU106およびスイッチ回路107には、点線の矢印で示すように、非動力用バッテリ12により電力が供給される。

[0030] スイッチ回路107のオンおよびオフは、MPU106により制御される。スイッチ回路107がオンである場合、非動力用バッテリ12による電力は、スイッチ回路107を介して主回路基板21および複数の副回路基板21aの第2回路24に与えられる。これにより、各第2回路24が動作する。

[0031] プリント回路基板105のコネクタ108は、一对の通信線PA4, PB4を介して副回路基板21aのコネクタ23aに接続される。また、一对の接続線L5, L6の間に例えば100Ωの終端抵抗RTが接続される。これにより、バッテリECU101のMPU106と各バッテリモジュール100M, 100の第2回路24とは通信可能に接続される。また、MPU106は、バス104を介して電動自動車600の主制御部300に通信可能に接続される。

[0032] なお、通信線PA1, PB1により後述する図15の通信ケーブルP1が形成される。通信線PA2, PB2により後述する図15の通信ケーブルP2が形成される。通信線PA3, PB3により後述する図15の通信ケーブルP3が形成される。通信線PA4, PB4により後述する図15の通信ケーブルP4が形成される。通信ケーブルP1～P4により、図1のバス103が構成される。

[0033] 図3は、バッテリモジュール100Mにおける複数のバッテリセル10と主回路基板21との接続を示す図である。低電位側第1回路30Lは、複数のバッテリセル10のうち低電位側の半数（本例では9個）のバッテリセル10（以下、低電位側バッテリセル群10Lと呼ぶ。）に対応する。高電位側第1回路30Hは、複数のバッテリセル10のうち高電位側の半数（本例

では9個)のバッテリセル10(以下、高電位側バッテリセル群10Hと呼ぶ。)に対応する。

- [0034] 低電位側第1回路30Lは、低電位側バッテリセル群10Lの複数のバッテリセル10の各々の端子電圧を検出する。高電位側第1回路30Hは、高電位側バッテリセル群10Hの複数のバッテリセル10の各々の端子電圧を検出する。
- [0035] 低電位側第1回路30Lは、複数の導体線52およびPTC(Positive Temperature Coefficient: 正温度係数)素子60を介して低電位側バッテリセル群10Lのバスバー40, 40aに電気的に接続される。同様に、高電位側第1回路30Hは、複数の導体線52およびPTC素子60を介して高電位側バッテリセル群10Hのバスバー40, 40aに電気的に接続される。
- [0036] ここで、PTC素子60は、温度がある値を超えると抵抗値が急激に増加する抵抗温度特性を有する。そのため、低電位側第1回路30L、高電位側第1回路30Hまたは導体線52等で短絡が生じた場合に、その短絡経路を流れる電流によりPTC素子60の温度が上昇すると、PTC素子60の抵抗値が大きくなる。これにより、PTC素子60を含む短絡経路に大電流が流れることが防止される。
- [0037] 低電位側バッテリセル群10Lの最低電位を有するバッテリセル10のマイナス電極は、シャント抵抗RSを介して一のバッテリモジュール100(後述する図4参照)に含まれる高電位側バッテリセル群10Hの最高電位を有するバッテリセル10のプラス電極に接続される。シャント抵抗RSは、電流に応じた電圧を発生させる素子である。第3回路80は、2つの導体線52を介してシャント抵抗RSの両端に接続される。
- [0038] 図4は、バッテリモジュール100における複数のバッテリセル10と副回路基板21aとの接続を示す図である。図4に示すように、バッテリモジュール100は、図3の主回路基板21の代わりに副回路基板21aを有する点および図3のシャント抵抗RSを有さない点を除いて、バッテリモジュール100Mと同様の構成を有する。副回路基板21aは、図3の第3回路

80、絶縁素子27および終端抵抗R_Tを有さない点を除いて、主回路基板21と同様の構成を有する。

[0039] 図5は、低電位側第1回路30Lおよび第3回路80の構成を示すブロック図である。低電位側第1回路30Lは、例えばASIC(Application Specific Integrated Circuit:特定用途向け集積回路)からなる。検出部20は、マルチプレクサ20a、A/D(アナログ/デジタル)変換器20bおよび複数の差動増幅器20cを含む。検出部20の各差動増幅器20cは2つの入力端子および出力端子を有する。各差動増幅器20cは、2つの入力端子に入力された電圧を差動増幅し、増幅された電圧を出力端子から出力する。

[0040] 各差動増幅器20cの2つの入力端子は、導体線52およびPTC素子60を介して対応する複数のバッテリセル10の隣り合う2つのバスバー40間または隣り合う2つのバスバー40, 40aに電気的に接続される。隣り合う2つのバスバー40間の電圧または隣り合う2つのバスバー40, 40aの電圧が各差動増幅器20cにより差動増幅される。各差動増幅器20cの出力電圧は低電位側バッテリセル群10Lの各バッテリセル10の端子電圧に相当する。複数の差動増幅器20cから出力される端子電圧はマルチプレクサ20aに与えられる。マルチプレクサ20aは、複数の差動増幅器20cから与えられる端子電圧を順次A/D変換器20bに出力する。A/D変換器20bは、マルチプレクサ20aから出力される端子電圧をデジタル値に変換する。

[0041] 通信回路32は、通信機能を有し、図2の絶縁素子25を介して図2の第2回路24と通信可能に接続される。また、通信回路32は、図3または図4の高電位側第1回路30Hと通信可能に接続される。

[0042] 通信回路32は、検出部20のA/D変換器20bから低電位側バッテリセル群10Lの各バッテリセル10の端子電圧のデジタル値を取得する。また、後述するように、通信回路32は、高電位側第1回路30Hから高電位側バッテリセル群10Hの各バッテリセル10の端子電圧のデジタル値を取

得する。さらに、通信回路32は、低電位側バッテリセル群10Lの各バッテリセル10の端子電圧のデジタル値および高電位側バッテリセル群10Hの各バッテリセル10の端子電圧のデジタル値を絶縁素子25(図2参照)を介して第2回路24に送信する。

- [0043] 第3回路80は、例えばASICからなる。第3回路80は、検出部81および通信回路82を含む。検出部81は、差動増幅器81aおよびA/D変換器81bを含む。検出部81の差動増幅器81aは2つの入力端子および出力端子を有する。差動増幅器81aは、2つの入力端子に入力された電圧を差動増幅し、増幅された電圧を出力端子から出力する。
- [0044] 差動増幅器81aの2つの入力端子は、導体線52を介してバッテリモジュール100M(図1参照)のシャント抵抗RSの両端に電気的に接続される。シャント抵抗RSの両端の電圧が差動増幅器81aにより差動増幅される。差動増幅器81aの出力電圧は、複数のバッテリセル10に流れる電流に比例する。差動増幅器81aは、電流に比例する電圧をA/D変換器81bに出力する。A/D変換器81bは、差動増幅器81aから出力される電圧をデジタル値に変換する。
- [0045] 通信回路82は、通信機能を有し、図2の絶縁素子27を介して図2の第2回路24と通信可能に接続される。通信回路82は、A/D変換器81bからシャント抵抗RSの両端の電圧のデジタル値を取得する。また、通信回路82は、シャント抵抗RSの両端の電圧のデジタル値を絶縁素子27を介して第2回路24に送信する。
- [0046] 図3および図4の高電位側第1回路30Hは、以下の点を除いて図5の低電位側第1回路30Lと同様の構成を有する。高電位側第1回路30Hの通信回路32は、低電位側第1回路30Lの通信回路32(図5参照)と通信可能に接続される。これにより、高電位側第1回路30Hの通信回路32は、低電位側第1回路30Lの通信回路32および絶縁素子25(図2参照)を介して高電位側バッテリセル群10Hの各バッテリセル10の端子電圧のデジタル値を第2回路24に送信することができる。

- [0047] 図6は、第2回路24の構成を示すブロック図である。図6に示すように、第2回路24は、処理部241、記憶部242および通信インタフェース244を含む。第2回路24の処理部241、記憶部242および通信インタフェース244の基準電位（グランド電位）は、図2の非動力用バッテリ12の最低電位に保持される。第2回路24の各部は、電源回路245（後述する図14参照）により出力される電圧で動作する。
- [0048] 処理部241は、例えばCPU（中央演算処理装置）を含み、記憶部242と接続される。また、処理部241は図1の複数のサーミスタ11に接続される。これにより、処理部241はバッテリモジュール100の温度を取得する。
- [0049] また、処理部241は、低電位側第1回路30Lおよび高電位側第1回路30Hの検出部20（図3～図5参照）により検出される端子電圧ならびに第3回路80により検出される電圧に関する情報を処理する機能を有する。本実施の形態において、処理部241は、各バッテリセル10の充電量および複数のバッテリセル10に流れる電流等を算出する。電流の算出の詳細は後述する。
- [0050] 記憶部242は、例えばEEPROM（電気的消去およびプログラム可能リードオンリーメモリ）等の不揮発性メモリを含む。処理部241は、通信機能を有する通信回路246を含む。主回路基板21（図2参照）において、処理部241は、絶縁素子25（図2参照）を介して低電位側第1回路30Lの通信回路32（図5参照）と通信可能に接続されるとともに、絶縁素子27（図2参照）を介して第3回路80の通信回路32（図6参照）と通信可能に接続される。副回路基板21a（図2参照）において、処理部241は、絶縁素子25（図2参照）を介して低電位側第1回路30Lの通信回路32（図5参照）と通信可能に接続される。
- [0051] 処理部241には通信インタフェース244が接続される。通信インタフェース244は、例えばRS-485規格のシリアル通信インタフェースである。通信インタフェース244は、図2のコネクタ23a, 23bに接続

される。本実施の形態において、通信回路246は、図2のバッテリECU101とRS-485規格に従うシリアル通信を行うが、これに限定されない。例えば、通信回路246は、バッテリECU101と他の規格に従うシリアル通信を行ってもよく、バッテリECU101とCAN (Controller Area Network) 通信を行ってもよい。

- [0052] 第2回路24の通信回路246によりセル情報がバッテリECU101に送信される。それにより、バッテリシステム500のいずれかのバッテリモジュール100M, 100のバッテリセル10の電圧が低下した場合でも、バッテリモジュール100M, 100はバッテリECU101と通信を行うことができる。
- [0053] 本実施の形態では、図2のバッテリECU101が、各バッテリセル10の充電量の算出またはバッテリセル10の過放電、過充電および温度異常等の検出を行うが、これに限定されない。バッテリECU101に代えて、各バッテリモジュール100M, 100の第2回路24が各バッテリセル10の充電量を算出してもよい。また、各バッテリモジュール100M, 100の第2回路24がバッテリセル10の過放電、過充電および温度異常等の検出を行ってもよい。この場合、各第2回路24は、各バッテリセル10の充電量の算出結果ならびにバッテリセル10の過放電、過充電および温度異常等の検出結果をバッテリECU101に与える。

[0054] (2) バッテリモジュールの詳細

バッテリモジュール100M, 100の詳細について説明する。図7はバッテリモジュール100Mの外観斜視図であり、図8はバッテリモジュール100Mの平面図であり、図9はバッテリモジュール100Mの端面図である。バッテリモジュール100は、主回路基板21の代わりに副回路基板21aを有する点およびシャント抵抗RSを有さない点を除いて、バッテリモジュール100Mと同様の構成を有する。

- [0055] なお、図7～図9ならびに後述する図11～図13および図22～図30においては、矢印X, Y, Zで示すように、互いに直交する三方向をX方向

、Y方向およびZ方向と定義する。なお、本例では、X方向およびY方向が水平面に平行な方向であり、Z方向が水平面に直交する方向である。また、上方向は矢印Zが向く方向である。

- [0056] 図7～図9に示すように、バッテリモジュール100Mにおいては、扁平な略直方体形状を有する複数のバッテリセル10がX方向に並ぶように配置される。この状態で、複数のバッテリセル10は、一対の端面枠92、一対の上端枠93および一対の下端枠94により一体的に固定される。このように、複数のバッテリセル10、一対の端面枠92、一対の上端枠93および一対の下端枠94により略直方体形状のバッテリブロック10BBが構成される。バッテリブロック10BBは、XY平面に平行な上面を有する。
- [0057] 一対の端面枠92は略板形状を有し、YZ平面に平行に配置される。一対の上端枠93および一対の下端枠94は、X方向に延びるように配置される。
- [0058] 一対の端面枠92の四隅には、一対の上端枠93および一対の下端枠94を接続するための接続部が形成される。一対の端面枠92の間に複数のバッテリセル10が配置された状態で、一対の端面枠92の上側の接続部に一対の上端枠93が取り付けられ、一対の端面枠92の下側の接続部に一対の下端枠94が取り付けられる。これにより、複数のバッテリセル10が、X方向に並ぶように配置された状態で一体的に固定される。一方の端面枠92には、外側の面に間隔を隔てて主回路基板21が取り付けられる。
- [0059] ここで、各バッテリセル10は、Y方向に沿って並ぶように上面部分にプラス電極10aおよびマイナス電極10bを有する。各電極10a, 10bは、上方に向かって突出するように傾斜して設けられる（図9参照）。以下の説明においては、一方の端面枠92に隣接するバッテリセル10から他方の端面枠92に隣接するバッテリセル10までを1番目～18番目のバッテリセル10と呼ぶ。
- [0060] 複数のバッテリセル10は、上面部分の中央にガス抜き弁10vを有する。バッテリセル10内部の圧力が所定の値まで上昇した場合、バッテリセル

10 内部のガスがガス抜き弁 10 v から排出される。これにより、バッテリセル 10 内部の過度な圧力上昇が防止される。

[0061] 図 8 に示すように、バッテリモジュール 100Mにおいて、各バッテリセル 10 は、隣接するバッテリセル 10 間で Y 方向におけるプラス電極 10 a およびマイナス電極 10 b の位置関係が互いに逆になるように配置される。また、複数のバッテリセル 10 の一方の電極 10 a, 10 b が X 方向に沿って一列に並び、複数のバッテリセル 10 の他方の電極 10 a, 10 b が X 方向に沿って一列に並ぶ。それにより、隣接する 2 個のバッテリセル 10 間では、一方のバッテリセル 10 のプラス電極 10 a と他方のバッテリセル 10 のマイナス電極 10 b とが近接し、一方のバッテリセル 10 のマイナス電極 10 b と他方のバッテリセル 10 のプラス電極 10 a とが近接する。この状態で、近接する 2 個の電極にバスバー 40 が取り付けられる。これにより、複数のバッテリセル 10 が直列接続される。

[0062] 具体的には、1 番目のバッテリセル 10 のプラス電極 10 a と 2 番目のバッテリセル 10 のマイナス電極 10 b とに共通のバスバー 40 が取り付けられる。また、2 番目のバッテリセル 10 のプラス電極 10 a と 3 番目のバッテリセル 10 のマイナス電極 10 b とに共通のバスバー 40 が取り付けられる。同様にして、各奇数番目のバッテリセル 10 のプラス電極 10 a とそれに隣接する偶数番目のバッテリセル 10 のマイナス電極 10 b とに共通のバスバー 40 が取り付けられる。各偶数番目のバッテリセル 10 のプラス電極 10 a とそれに隣接する奇数番目のバッテリセル 10 のマイナス電極 10 b とに共通のバスバー 40 が取り付けられる。

[0063] また、1 番目のバッテリセル 10 のマイナス電極 10 b および 18 番目のバッテリセル 10 のプラス電極 10 a には、外部から電源線 501（図 1 参照）を接続するためのバスバー 40 a がそれぞれ取り付けられる。なお、バッテリモジュール 100Mにおいては、1 番目のバッテリセル 10 のマイナス電極 10 b に取り付けられたバスバー 40 a には、シャント抵抗 RS を介して電源線 501 が接続される。一方、バッテリモジュール 100 において

は、1番目のバッテリセル10のマイナス電極10bに取り付けられたバスバー40aに、電源線501が直接接続される。

- [0064] Y方向における複数のバッテリセル10の一端部側には、X方向に延びる長尺状のフレキシブルプリント回路基板（以下、FPC基板と略記する。）50が複数のバスバー40に共通して接続される。同様に、Y方向における複数のバッテリセル10の他端部側には、X方向に延びる長尺状のFPC基板50が複数のバスバー40、40aに共通して接続される。
- [0065] FPC基板50は、主として絶縁層上に後述する図12の複数の導体線51、52が形成された構成を有し、屈曲性および可撓性を有する。FPC基板50を構成する絶縁層の材料としては例えばポリイミドが用いられ、導体線51、52の材料としては例えば銅が用いられる。FPC基板50上において、各バスバー40、40aに近接するように各PTC素子60が配置される。
- [0066] 各FPC基板50は、端面枠92（主回路基板21が取り付けられる端面枠92）の上端部分で内側に向かって直角に折り返され、さらに下方に向かって折り返され、主回路基板21に接続される。

[0067] (3) バスバーおよびFPC基板の構造

次に、バスバー40、40aおよびFPC基板50の構造の詳細を説明する。以下、隣接する2個のバッテリセル10のプラス電極10aとマイナス電極10bとを接続するためのバスバー40を2電極用のバスバー40と呼び、1個のバッテリセル10のプラス電極10aまたはマイナス電極10bと電源線501とを接続するためのバスバー40aを1電極用のバスバー40aと呼ぶ。

- [0068] 図10(a)は2電極用のバスバー40の外観斜視図であり、図10(b)は1電極用のバスバー40aの外観斜視図である。
- [0069] 図10(a)に示すように、2電極用のバスバー40は、略長方形状を有するベース部41およびそのベース部41の一辺からその一面側に屈曲して延びる一対の取付片42を備える。ベース部41には、一対の電極接続孔4

3が形成される。

- [0070] 図10(b)に示すように、1電極用のバスバー40aは、略正方形状を有するベース部45およびそのベース部45の一辺からその一面側に屈曲して延びる取付片46を備える。ベース部45には、電極接続孔47が形成される。
- [0071] 本実施の形態において、バスバー40, 40aは、例えばタフピッチ銅の表面にニッケルめっきが施された構成を有する。
- [0072] 図11は、FPC基板50に複数のバスバー40, 40aおよび複数のPTC素子60が取り付けられた状態を示す外観斜視図である。図11に示すように、2枚のFPC基板50には、X方向に沿って所定の間隔で複数のバスバー40, 40aの取付片42, 46が取り付けられる。また、複数のPTC素子60は、複数のバスバー40, 40aの間隔と同じ間隔で2枚のFPC基板50にそれぞれ取り付けられる。このように、FPC基板50と複数のバスバー40, 40aとが一体的に結合された部材を以下、配線部材110と呼ぶ。
- [0073] バッテリモジュール100M, 100を作製する際には、図7の端面枠92、上端枠93および下端枠94により一体的に固定された複数のバッテリセル10上に、上記のように複数のバスバー40, 40aおよび複数のPTC素子60が取り付けられた2枚のFPC基板50が取り付けられる。また、バッテリモジュール100Mの複数のバッテリセル10に取り付けられる2枚のFPC基板50のうち一方には、シャント抵抗RSが取り付けられる。
- [0074] この取り付け時においては、隣接するバッテリセル10のプラス電極10aおよびマイナス電極10bが各バスバー40, 40aに形成された電極接続孔43, 47に嵌め込まれる。プラス電極10aおよびマイナス電極10bには雄ねじが形成される。各バスバー40, 40aが隣接するバッテリセル10のプラス電極10aおよびマイナス電極10bに嵌め込まれた状態で図示しないナットがプラス電極10aおよびマイナス電極10bの雄ねじに

螺合される。

[0075] このようにして、複数のバッテリセル10に複数のバスバー40, 40aが取り付けられるとともに、複数のバスバー40, 40aによりFPC基板50が略水平姿勢で保持される。

[0076] (4) バスバーと低電位側第1回路および高電位側第1回路との接続
次に、バスバー40, 40aと低電位側第1回路30Lおよび高電位側第1回路30Hとの接続について説明する。図12は、バッテリモジュール100Mにおけるバスバー40, 40aと低電位側第1回路30Lおよび高電位側第1回路30Hとの接続について説明するための模式的平面図である。バッテリモジュール100が主回路基板21の代わりに副回路基板21aを有し、シャント抵抗RSを有さない点を除いて、バッテリモジュール100におけるバスバー40, 40aと低電位側第1回路30Lおよび高電位側第1回路30Hとの接続は、バッテリモジュール100Mにおけるバスバー40, 40aと低電位側第1回路30Lおよび高電位側第1回路30Hとの接続と同様である。

[0077] 図12に示すように、FPC基板50には、複数のバスバー40, 40aに対応するように複数の導体線51, 52が設けられる。各導体線51は、バスバー40, 40aの取付片42, 46とそのバスバー40, 40aの近傍に配置されたPTC素子60との間でY方向に平行に延びるように設けられ、各導体線52は、PTC素子60とFPC基板50の一端部との間でX方向に平行に延びるように設けられる。

[0078] 各導体線51の一端部は、FPC基板50の下面側に露出するように設けられる。下面側に露出する各導体線51の一端部が、例えば半田付けまたは溶接により各バスバー40, 40aの取付片42, 46に電気的に接続される。それにより、FPC基板50が各バスバー40, 40aに固定される。

[0079] 各導体線51の他端部および各導体線52の一端部は、FPC基板50の上面側に露出するように設けられる。PTC素子60の一対の端子（図示せず）が、例えば半田付けにより各導体線51の他端部および各導体線52の

一端部に接続される。

- [0080] 主回路基板21には、FPC基板50の複数の導体線52に対応した複数の接続端子22が設けられる。複数の接続端子22と低電位側第1回路30Lおよび高電位側第1回路30Hとは主回路基板21上で電気的に接続されている。FPC基板50の各導体線52の他端部は、例えば半田付けまたは溶接により対応する接続端子22に接続される。なお、主回路基板21とFPC基板50との接続は、半田付けまたは溶接に限らずコネクタを用いて行われてもよい。
- [0081] このようにして、各バスバー40, 40aがPTC素子60を介して低電位側第1回路30Lおよび高電位側第1回路30Hに電気的に接続される。これにより、各バッテリセル10の端子電圧が検出される。
- [0082] 本実施の形態において、バッテリモジュール100Mのシャント抵抗RSは図10のバスバー40に設けられる。シャント抵抗が設けられるバスバー40を電圧電流バスバー40yと呼ぶ。図13は、電圧電流バスバー40yおよびFPC基板50を示す拡大平面図である。
- [0083] 図13に示すように、電圧電流バスバー40yのベース部41上には、一対のはんだパターンH1, H2が一定間隔で互いに平行に形成されている。はんだパターンH1は2つの電極接続孔43間で一方の電極接続孔43の近傍に配置され、はんだパターンH2は電極接続孔43間で他方の電極接続孔43の近傍に配置される。電圧電流バスバー40yにおけるはんだパターンH1, H2間に形成される抵抗が電流検出用のシャント抵抗となる。
- [0084] 電圧電流バスバー40yのはんだパターンH1は、導体線51、導体線52および主回路基板21の接続端子22を介して、第3回路80の差動増幅器81a(図6参照)の一方の入力端子に接続される。同様に、電圧電流バスバー40yのはんだパターンH2は、導体線51、導体線52および主回路基板21の接続端子22を介して第3回路80の差動増幅器81a(図6参照)の他方の入力端子に接続される。これにより、第3回路80は、はんだパターンH1, H2間の電圧を検出する。第3回路80により検出された

はんだパターンH1, H2間の電圧は図6の第2回路24に与えられる。

[0085] また、はんだパターンH1は、FPC基板50上の導体線を介してバッテリモジュール100Mの1番目のバッテリセル10のマイナス電極10bに取り付けられたバスバー40a（図3および図8参照）に接続される。はんだパターンH2は、図1の電源線501を介して、隣接するバッテリモジュール100の18番目のバッテリセル10のプラス電極10aに取り付けられたバスバー40a（図4および図8参照）に接続される。これにより、バッテリモジュール100Mと隣接するバッテリモジュール100とは、電圧電流バスバー40yのシャント抵抗RSを介して直列接続される。

[0086] 本実施の形態において、図6の第2回路24の記憶部242には、予め電圧電流バスバー40yにおけるはんだパターンH1, H2間のシャント抵抗RSの値が記憶されている。図6の第2回路24の処理部241は、第3回路80から与えられたはんだパターンH1, H2間の電圧を記憶部242に記憶されたシャント抵抗RSの値で除算することにより電圧電流バスバー40yに流れる電流の値を算出する。このようにして、複数のバッテリセル10に流れる電流の値が検出される。

[0087] (5) 主回路基板および副回路基板の一構成例

次に、主回路基板21および副回路基板21aの一構成例について説明する。図14(a)は主回路基板21の一構成例を示す模式的平面図であり、図14(b)は副回路基板21aの一構成例を示す模式的平面図である。

[0088] 図14(a)に示すように、主回路基板21には、低電位側第1回路30L、高電位側第1回路30H、第2回路24、第3回路80、絶縁素子25, 27、電源回路245、コネクタ23a, 23b, 23cおよび終端抵抗RTが実装される。また、主回路基板21には、複数の接続端子22が形成される。主回路基板21は、第1の実装領域10G、第2の実装領域12Gおよび帯状の絶縁領域26を有する。

[0089] 第2の実装領域12Gは、主回路基板21の1つの角部に形成される。絶縁領域26は、第2の実装領域12Gに沿って延びるように形成される。第

1の実装領域10Gは、主回路基板21の残りの部分に形成される。第1の実装領域10Gと第2の実装領域12Gとは絶縁領域26により互いに分離される。それにより、第1の実装領域10Gと第2の実装領域12Gとは絶縁領域26により電気的に絶縁される。

- [0090] 第1の実装領域10Gには、低電位側第1回路30L、高電位側第1回路30Hおよび第3回路80が実装されるとともに複数の接続端子22が形成される。低電位側第1回路30Lおよび高電位側第1回路30Hと複数の接続端子22とは主回路基板21上で接続線により電気的に接続される。また、第3回路80と複数の接続端子22とは主回路基板21上で接続線により電気的に接続される。
- [0091] 低電位側第1回路30L、高電位側第1回路30Hおよび第3回路80の電源として、バッテリモジュール100Mの複数のバッテリセル10（図1参照）が低電位側第1回路30L、高電位側第1回路30Hおよび第3回路80に接続される。低電位側第1回路30Lには、図3の低電位側バッテリセル群10Lの複数のバッテリセル10から電力が供給される。高電位側第1回路30Hには、図3の高電位側バッテリセル群10Hの複数のバッテリセル10から電力が供給される。第3回路80には、図3の低電位側バッテリセル群10Lの複数のバッテリセル10から電力が供給される。
- [0092] 低電位側第1回路30Lの実装領域および接続線の形成領域を除いて、低電位側第1回路30Lの実装領域の周囲にグランドパターンGND1Lが形成される。グランドパターンGND1Lは、低電位側バッテリセル群10Lの複数のバッテリセル10の最低電位に保持される。高電位側第1回路30Hの実装領域および接続線の形成領域を除いて、高電位側第1回路30Hの実装領域の周囲にグランドパターンGND1Hが形成される。グランドパターンGND1Hは、高電位側バッテリセル群10Hの複数のバッテリセル10の最低電位に保持される。第3回路80の実装領域および接続線の形成領域を除いて、第3回路80の実装領域の周囲にグランドパターンGND3が形成される。グランドパターンGND3は、低電位側バッテリセル群10L

の複数のバッテリセル 10 の最低電位に保持される。

[0093] 第2の実装領域 12Gには、第2回路 24、電源回路 245 およびコネクタ 23a～23c が実装される。第2回路 24 とコネクタ 23a とは主回路基板 21 上で一对の接続線 L3, L4 により電気的に接続される。第2回路 24 とコネクタ 23b とは主回路基板 21 上で一对の接続線 L1, L2 により電気的に接続される。電源回路 245 とコネクタ 23c とは主回路基板 21 上で接続線により電気的に接続される。絶縁素子 25 と電源回路 245 とは主回路基板 21 上で接続線により電気的に接続される。一对の接続線 L3, L4 の間には終端抵抗 RT が実装される。

[0094] 第2回路 24 の電源として、電動車両が備える非動力用バッテリ 12 (図 2 参照) が図 2 のスイッチ回路 107、コネクタ 23c および電源回路 245 を介して第2回路 24 に接続される。電源回路 245 は、非動力用バッテリ 12 により供給される電圧を降圧して電源回路 245 に与える。第2回路 24、電源回路 245 およびコネクタ 23a～23c の実装領域ならびに複数の接続線の形成領域を除いて、第2の実装領域 12G にグランドパターン GND2 が形成される。グランドパターン GND2 は非動力用バッテリ 12 の基準電位 (グランド電位) に保持される。

[0095] 絶縁素子 25 は、絶縁領域 26 をまたぐように実装される。絶縁素子 25 は、グランドパターン GND1L とグランドパターン GND2 とを互いに電気的に絶縁しつつ低電位側第1回路 30L と第2回路 24との間で信号を伝送する。絶縁素子 27 は、絶縁領域 26 をまたぐように実装される。絶縁素子 27 は、グランドパターン GND3 とグランドパターン GND2 とを互いに電気的に絶縁しつつ第3回路 80 と第2回路 24との間で信号を伝送する。絶縁素子 25, 27 としては、例えばデジタルアイソレータまたはフォトカプラ等を用いることができる。本実施の形態においては、絶縁素子 25, 27 としてデジタルアイソレータを用いる。

[0096] 図 14 (b) に示すように、副回路基板 21a は、第3回路 80、絶縁素子 27、終端抵抗 RT およびグランドパターン GND3 を有さない点を除い

て、主回路基板21と同様の構成を有する。副回路基板21a上の低電位側第1回路30L、高電位側第1回路30H、第2回路24、絶縁素子25、電源回路245、コネクタ23a～23cおよび接続端子22の接続は、主回路基板21上の低電位側第1回路30L、高電位側第1回路30H、第2回路24、絶縁素子25、電源回路245、コネクタ23a～23cおよび接続端子22の接続と同様である。

[0097] このように、低電位側第1回路30Lと第2回路24とは、絶縁素子25により電気的に絶縁されつつ通信可能に接続される。また、高電位側第1回路30Hと第2回路24とは、電気的に絶縁されつつ低電位側第1回路30Lを介して通信可能に接続される。さらに、第3回路80と第2回路24とは、絶縁素子27により電気的に絶縁されつつ通信可能に接続される。これにより、低電位側第1回路30L、高電位側第1回路30Hおよび第3回路80の電源として複数のバッテリセル10を用いることができ、第2回路24の電源として非動力用バッテリ12（図2参照）を用いることができる。その結果、第2回路24を低電位側第1回路30L、高電位側第1回路30Hおよび第3回路80から独立に安定して動作させることができる。

[0098] (6) バッテリシステムの配置の例

図15は、バッテリシステム500の配置の例を示す模式的平面図である。図15に示すように、バッテリシステム500は、図1のバッテリモジュール100M、3個のバッテリモジュール100、バッテリECU101およびコンタクタ102に加え、HV（High Voltage；高圧）コネクタ520およびサービスプラグ530をさらに備える。

[0099] 以下の説明において、3個のバッテリモジュール100をそれぞれバッテリモジュール100a, 100b, 100cと呼ぶ。バッテリモジュール100Mにそれぞれ設けられる一対の端面枠92のうち、主回路基板21が取り付けられない端面枠92を端面枠92aと呼び、主回路基板21が取り付けられる端面枠92を端面枠92bと呼ぶ。同様に、バッテリモジュール100a～100cにそれぞれ設けられる一対の端面枠92のうち、副回路基

板21aが取り付けられない端面枠92を端面枠92aと呼び、副回路基板21aが取り付けられる端面枠92を端面枠92bと呼ぶ。図15においては、端面枠92bにハッチングが付されている。

- [0100] バッテリモジュール100a～100c, 100M、バッテリECU101、コンタクタ102、HVコネクタ520およびサービスプラグ530は、箱型のケーシング550内に収容される。
- [0101] ケーシング550は、側面部550a, 550b, 550c, 550dを有する。側面部550a, 550cは互いに平行であり、側面部550b, 550dは互いに平行でありかつ側面部550a, 550cに対して垂直である。
- [0102] ケーシング550内において、バッテリモジュール100a, 100bは、所定の間隔で並ぶように配置される。この場合、バッテリモジュール100aの端面枠92bとバッテリモジュール100bの端面枠92aとが互いに向き合うように、バッテリモジュール100a, 100bが配置される。バッテリモジュール100c, 100Mは、所定の間隔で並ぶように配置される。この場合、バッテリモジュール100cの端面枠92aとバッテリモジュール100Mの端面枠92bとが互いに向き合うように、バッテリモジュール100c, 100Mが配置される。以下、互いに並ぶように配置されたバッテリモジュール100a, 100bをモジュール列T1と呼び、互いに並ぶように配置されたバッテリモジュール100c, 100Mをモジュール列T2と呼ぶ。
- [0103] ケーシング550内において、側面部550aに沿ってモジュール列T1が配置され、モジュール列T1と並列にモジュール列T2が配置される。モジュール列T1のバッテリモジュール100aの端面枠92aが側面部550dに向けられ、バッテリモジュール100bの端面枠92bが側面部550bに向けられる。また、モジュール列T2のバッテリモジュール100cの端面枠92bが側面部550dに向けられ、バッテリモジュール100Mの端面枠92aが側面部550bに向けられる。

- [0104] モジュール列 T 1 と側面部 550aとの間の領域にサービスプラグ 530、バッテリ ECU 101、HV コネクタ 520 およびコンタクタ 102 がこの順で側面部 550d から側面部 550b へ並ぶように配置される。
- [0105] バッテリモジュール 100a～100c, 100M の各々において、端面枠 92a に隣り合うバッテリセル 10 (18 番目のバッテリセル 10) のプラス電極 10a (図 8 参照) の電位が最も高く、端面枠 92b に隣り合うバッテリセル 10 (1 番目のバッテリセル 10) のマイナス電極 10b (図 8 参照) の電位が最も低い。以下、各バッテリモジュール 100a～100c, 100M において最も電位が高いプラス電極 10a を高電位電極 10A と呼び、各バッテリモジュール 100a～100c, 100M において最も電位が低いマイナス電極 10b を低電位電極 10B と呼ぶ。
- [0106] バッテリモジュール 100a の低電位電極 10B とバッテリモジュール 100b の高電位電極 10A とは、図 1 の電源線 501 として電源線 Q7 を介して互いに接続される。バッテリモジュール 100c の高電位電極 10A とバッテリモジュール 100M の低電位電極 10B に接続されたシャント抵抗 RS (図 1 参照) とは、図 1 の電源線 501 として電源線 Q8 を介して互いに接続される。
- [0107] バッテリモジュール 100a の高電位電極 10A は図 1 の電源線 501 として電源線 Q1 を介してサービスプラグ 530 に接続され、バッテリモジュール 100c の低電位電極 10B は図 1 の電源線 501 として電源線 Q2 を介してサービスプラグ 530 に接続される。サービスプラグ 530 がオンされた状態では、バッテリモジュール 100a～100c, 100M が直列接続される。この場合、バッテリモジュール 100M の高電位電極 10A の電位が最も高く、バッテリモジュール 100b の低電位電極 10B の電位が最も低い。
- [0108] サービスプラグ 530 にはヒューズが内蔵されている。サービスプラグ 530 は、例えばバッテリシステム 500 のメンテナンス時に作業者によりオフされる。サービスプラグ 530 がオフされた場合には、バッテリモジュー

ル100a, 100bからなる直列回路とバッテリモジュール100c, 100Mからなる直列回路とが電気的に分離される。この場合、バッテリモジュール100a, 100bからなる直列回路の総電圧とバッテリモジュール100c, 100Mからなる直列回路の総電圧とが等しくなる。これにより、メンテナンス時にバッテリシステム500内に高い電圧が発生することが防止される。

- [0109] バッテリモジュール100bの低電位電極10Bは図1の電源線501として電源線Q3を介してコンタクタ102に接続され、バッテリモジュール100Mの高電位電極10Aは図1の電源線501として電源線Q4を介してコンタクタ102に接続される。コンタクタ102は、図1の電源線501として電源線Q5, Q6を介してHVコネクタ520に接続される。HVコネクタ520は、電動車両のモータ等の負荷に接続される。
- [0110] コンタクタ102がオンされた状態では、バッテリモジュール100bが電源線Q3, Q6を介してHVコネクタ520に接続されるとともに、バッテリモジュール100Mが電源線Q4, Q5を介してHVコネクタ520に接続される。それにより、バッテリモジュール100a～100c, 100Mから負荷に電力が供給される。
- [0111] コンタクタ102がオフされると、バッテリモジュール100bとHVコネクタ520との接続およびバッテリモジュール100MとHVコネクタ520との接続が遮断される。
- [0112] バッテリモジュール100aの副回路基板21aのコネクタ23aとバッテリモジュール100bの副回路基板21aのコネクタ23bとは、通信ケーブルP3を介して互いに接続される。バッテリモジュール100aの副回路基板21aのコネクタ23bとバッテリモジュール100cの副回路基板21aのコネクタ23aとは、通信ケーブルP2を介して互いに接続される。バッテリモジュール100cの副回路基板21aのコネクタ23bとバッテリモジュール100Mの主回路基板21のコネクタ23aとは、通信ケーブルP1を介して互いに接続される。バッテリモジュール100bの副回路

基板21aのコネクタ23aは通信ケーブルP4を介してバッテリECU101に接続される。通信ケーブルP1～P4により図1のバス103が構成される。

[0113] 上記のように、バッテリモジュール100a～100c, 100Mの各々においてセル情報が第2回路24(図6参照)により検出される。バッテリモジュール100aの第2回路24により検出されたセル情報は、通信ケーブルP3, P4を介してバッテリECU101に与えられる。バッテリモジュール100bの第2回路24により検出されたセル情報は、通信ケーブルP4を介してバッテリECU101に与えられる。バッテリモジュール100cの第2回路24により検出されたセル情報は、通信ケーブルP2, P3, P4を介してバッテリECU101に与えられる。バッテリモジュール100Mの第2回路24により検出されたセル情報は、通信ケーブルP1, P2, P3, P4を介してバッテリECU101に与えられる。

[0114] 図16は、図15のコンタクタ102の構成を示す模式的平面図である。図16に示すように、コンタクタ102は、スイッチング素子SW1, SW2, SW3および抵抗Rを含む。スイッチング素子SW1は端子t1, t2を有し、スイッチング素子SW2は端子t3, t4を有し、スイッチング素子SW3は端子t5, t6を有する。端子t1には電源線Q4が接続されるとともに、端子t3には電源線Q4が接続される。端子t5には電源線Q3が接続される。端子t2には抵抗Rを介して電源線Q5が接続されるとともに、端子t4には電源線Q5が接続される。端子t6には電源線Q6が接続される。

[0115] スイッチング素子SW1は、図15のバッテリECU101の制御に基づいてオンおよびオフする。スイッチング素子SW2は、バッテリECU101の制御に基づいてオンおよびオフする。スイッチング素子SW3は、バッテリECU101の制御に基づいてオンおよびオフする。

[0116] 図15のバッテリシステム500がHVコネクタ520を介して電動車両の負荷に電力の供給を始める際には、バッテリECU101は、スイッチ

グ素子SW1およびスイッチング素子SW3をオンする。この場合、バッテリシステム500から抵抗Rを介して電動車両の負荷に電力が供給される。その後、バッテリECU101はスイッチング素子SW1をオフにするとともに、スイッチング素子SW2をオンにする。これにより、電動車両の負荷に電力の供給を始める際に、負荷に過大な突入電流が流れることを防止することができる。

[0117] (7) 実施の形態の効果

上記実施の形態においては、バッテリモジュール100Mの主回路基板21に終端抵抗RTが実装される。また、バッテリECU101のプリント回路基板105に終端抵抗RTが実装される。

[0118] 通信ケーブルP1を主回路基板21のコネクタ23aに接続することにより、主回路基板21の終端抵抗RTがバス103に接続される。これにより、簡単な構成でバス103の一端のインピーダンス整合を行うことができる。同様に、通信ケーブルP4をプリント回路基板105のコネクタ108に接続することにより、プリント回路基板105の終端抵抗RTがバス103に接続される。これにより、簡単な構成でバス103の他端のインピーダンス整合を行うことができる。

[0119] その結果、煩雑な配線作業を必要とすることなくかつ配線構造を複雑にすることなくバッテリモジュール100M、100およびバッテリECU101間で良好な通信を行うことができる。

[0120] また、主回路基板21に第3回路80および絶縁素子27が設けられる。この場合、第3回路80によりシャント抵抗RSの両端の電圧が検出される。シャント抵抗RSの両端の電圧は複数のバッテリセル10に流れる電流に比例する。これにより、簡単な構成で、シャント抵抗RSの両端の電圧に基づいて複数のバッテリセル10に流れる電流を算出することが可能になる。さらに、算出された電流はバス103を介してバッテリモジュール100の第2回路24またはバッテリECU101に送信される。

[0121] この構成においては、副回路基板21aには第3回路80を設ける必要が

ない。これにより、副回路基板21aの構造を単純化することができる。また、バッテリシステム500に別個に電流検出装置を設ける必要がない。その結果、コストの増加を抑制しつつ複数のバッテリセル10に流れる電流を検出することが可能になる。

[0122] このように、主回路基板21には、終端抵抗RTおよび第3回路80が設けられるので、副回路基板21aには終端抵抗RTおよび第3回路80を設ける必要がない。すなわち、第1回路30および終端抵抗RTが設けられる回路基板、第1回路30および第3回路80が設けられる回路基板ならびに第1回路30のみが設けられる回路基板の3種類の回路基板を用意する必要がない。第1回路30、終端抵抗RTおよび第3回路80が設けられる主回路基板21ならびに第1回路30のみが設けられる副回路基板21aの2種類の回路基板によりバッテリシステム500を構成することができる。これにより、バッテリシステム500の回路基板の種類の数を削減することができる。その結果、バッテリシステム500の生産の歩留まりを向上させ、生産コストを削減することができる。

[0123] (8) 実施の形態の特徴

このように、本実施の形態に係るバッテリシステムは、複数の第1のバッテリセルおよび第1の回路基板を含む第1のバッテリモジュールと、通信バスとを備え、第1の回路基板は、各第1のバッテリセルの電圧を検出する第1の電圧検出部と、第1の電圧検出部に接続されるとともに通信バスに接続可能な第1の通信部と、通信バスに接続可能な第1の終端抵抗とを含む。

[0124] このバッテリシステムにおいては、第1の回路基板の第1の電圧検出部により第1のバッテリモジュールの各第1のバッテリセルの電圧が検出される。検出された各第1のバッテリセルの電圧は、第1の回路基板の第1の通信部により外部装置に送信可能である。

[0125] 第1の回路基板の第1の終端抵抗は通信バスに接続される。これにより、通信バスのインピーダンス整合が行われる。その結果、煩雑な配線作業を必要とすることなくかつ配線構造を複雑にすることなく第1のバッテリモジュ

ールおよび外部装置の間で良好な通信を行うことができる。

- [0126] また、本実施の形態に係るバッテリシステムは、通信バスに接続可能な通信機器をさらに備える。この場合、煩雑な配線作業を必要とすることなくかつ配線構造を複雑にすることなく第1のバッテリモジュールおよび通信機器の間で良好な通信を行うことができる。
- [0127] また、本実施の形態に係るバッテリシステムは、複数の第2のバッテリセルおよび第2の回路基板を含む第2のバッテリモジュールをさらに備え、第2の回路基板は、各第2のバッテリセルの電圧を検出する第2の電圧検出部と、第2の電圧検出部に接続されるとともに通信バスに接続可能な第2の通信部とを含み、通信機器は、通信バスに接続可能な第2の終端抵抗を含むとともに第1および第2のバッテリモジュールの制御に関連する動作を行う制御部である。すなわち、通信機器は、通信バスに接続可能な第2の終端抵抗を含むとともに第1および第2のバッテリモジュールの制御に関連する機能を有する制御部として動作する。
- [0128] この場合、第2の回路基板の第2の電圧検出部により第2のバッテリモジュールの各第2のバッテリセルの電圧が検出される。検出された各第2のバッテリセルの電圧は、第2の回路基板の第2の通信部により通信バスを介して第1のバッテリモジュールの第1の通信部、制御部または外部装置に送信可能である。
- [0129] 制御部は、通信バスを介して第1のバッテリモジュールの第1の通信部および第2のバッテリモジュールの第2の通信部と通信可能である。これにより、制御部は、第1の電圧検出部により検出される電圧に基づいて第1のバッテリモジュールの制御を行うことができるとともに、第2の電圧検出部により検出される電圧に基づいて第2のバッテリモジュールの制御を行うことができる。
- [0130] また、制御部の第2の終端抵抗は通信バスに接続される。これにより、通信バスのインピーダンス整合が行われる。その結果、煩雑な配線作業を必要とすることなくかつ配線構造を複雑にすることなく第1および第2のバッテ

リモジュールならびに制御部の間で良好な通信を行うことができる。

- [0131] また、本実施の形態において、第1の回路基板は、第1の電圧検出部とは異なる動作を行う回路部をさらに含む。すなわち、回路部は、第1の電圧検出部とは異なる機能を実現する機能部として動作する。この場合、第2の回路基板には回路部を設ける必要がない。これにより、第2の回路基板の構造を単純化することができる。
- [0132] また、本実施の形態において、回路部は、複数の第1のバッテリセルに流れる電流に関する情報を検出するとともに、検出された情報を通信バスを通して送信可能に構成された電流検出部を含む。この場合、バッテリシステムに別個に電流検出装置を設ける必要がない。その結果、コストの増加を抑制しつつ複数の第1のバッテリセルに流れる電流を検出することが可能になる。
- [0133] また、本実施の形態において、第1のバッテリモジュールは、複数の第1のバッテリセルに流れる電流に応じた電圧を発生する素子をさらに含み、第1の回路基板の電流検出部は、素子に発生する電圧を検出することにより、複数の第1のバッテリセルに流れる電流を情報として電圧の形態で検出する。
- [0134] この場合、第1の回路基板の電流検出部により、複数の第1のバッテリセルに流れる電流に応じた電圧が検出され、検出された電圧が通信バスを介して第2のバッテリモジュールの第2の通信部または外部装置に送信される。これにより、簡単な構成で、素子に発生する電圧に基づいて複数の第1のバッテリセルに流れる電流を算出することが可能になる。
- [0135] また、本実施の形態において、通信バスは通信ケーブルを含み、第1の回路基板は、第1の通信部に電気的に接続されるとともに通信ケーブルに接続可能なコネクタをさらに含み、第1の終端抵抗はコネクタに電気的に接続される。
- [0136] この場合、通信ケーブルを第1の回路基板のコネクタに接続することにより、第1の終端抵抗が通信バスに電気的に接続される。これにより、簡単な

構成で通信バスのインピーダンス整合を行うことができる。

[0137] [2] 第2の実施の形態

第2の実施の形態に係るバッテリシステム500について、第1の実施の形態に係るバッテリシステム500と異なる点を説明する。

[0138] 図17(a)は第2の実施の形態における主回路基板の一構成例を示す模式的平面図であり、図17(b)は第2の実施の形態における副回路基板の一構成例を示す模式的平面図である。

[0139] 図17(a)に示すように、本実施の形態における主回路基板21bは、電源回路245に代えて電圧検出部とは異なる動作を行う回路部である電源回路243が実装される点および第2の実装領域12Gにコネクタ23dがさらに実装される点を除いて、図14(a)の主回路基板21と同様の構成を有する。電源回路243とコネクタ23cとは主回路基板21b上で接続線により電気的に接続されるとともに、電源回路243とコネクタ23dとは主回路基板21b上で接続線により電気的に接続される。

[0140] コネクタ23cに入力される電圧は、電源回路243により降圧され、第2回路24に与えられる。これにより、第2回路24が動作する。また、コネクタ23cに入力される電圧は、電源回路243により降圧され、コネクタ23dに与えられる。これにより、電源回路243により降圧された電圧がコネクタ23dから出力される。

[0141] 図17(b)に示すように、本実施の形態における副回路基板21cは、電源回路245が実装されない点および第2の実装領域12Gにコネクタ23dがさらに実装される点を除いて、図14(b)の副回路基板21aと同様の構成を有する。コネクタ23cと第2回路24とは副回路基板21c上で接続線により電気的に接続されるとともに、コネクタ23cとコネクタ23dとは副回路基板21c上で接続線により電気的に接続される。

[0142] コネクタ23cに入力される電圧は、第2回路24に与えられる。これにより、第2回路24が動作する。また、コネクタ23cに入力される電圧は、コネクタ23dに与えられる。これにより、コネクタ23cに入力される

電圧がコネクタ 23d から出力される。

[0143] 図 18 は図 17 の主回路基板 21b および複数の副回路基板 21c の接続を示す説明図であり、図 19 は第 2 の実施の形態に係るバッテリシステム 500 の配置の例を示す模式的平面図である。図 18 では、主回路基板 21b および副回路基板 21c の構成を簡略化して示している。例えば、図 18 の主回路基板 21b では、図 17 (a) の接続端子 22 および絶縁領域 26 の図示を省略している。また、図 18 の副回路基板 21c では、図 17 (b) の接続端子 22 および絶縁領域 26 の図示を省略している。

[0144] 図 18 および図 19 に示すように、本実施の形態においては、バッテリ ECU 101 のスイッチ回路 107 とバッテリモジュール 100M の主回路基板 21b のコネクタ 23c とは、電力線 S1 を介して互いに接続される。バッテリモジュール 100M の主回路基板 21b のコネクタ 23d とバッテリモジュール 100c の副回路基板 21c のコネクタ 23c とは、電力線 S2 を介して互いに接続される。バッテリモジュール 100c の副回路基板 21c のコネクタ 23d とバッテリモジュール 100a の副回路基板 21c のコネクタ 23c とは、電力線 S3 を介して互いに接続される。バッテリモジュール 100a の副回路基板 21c のコネクタ 23d とバッテリモジュール 100b の副回路基板 21c のコネクタ 23c とは、電力線 S4 を介して互いに接続される。

[0145] これにより、非動力用バッテリ 12 の電圧がバッテリ ECU 101 のスイッチ回路 107 を通してバッテリモジュール 100M の電源回路 243 に与えられる。非動力用バッテリ 12 の電圧は、電源回路 243 により降圧され、バッテリモジュール 100M の第 2 回路 24 に与えられるとともに、バッテリモジュール 100a～100c の各第 2 回路 24 に与えられる。すなわち、回路部である電源回路 243 は、電圧検出部とは異なる機能を実現する機能部として動作する。

[0146] このように、本実施の形態においては、バッテリモジュール 100M の主回路基板 21 の電源回路 243 がバッテリモジュール 100M, 100a～

100cの各第2回路24に電力を供給する。この構成においては、副回路基板21cには電源回路243および図14(b)の電源回路245を設ける必要がない。これにより、副回路基板21aの構造をさらに単純化することができる。その結果、コストの増加を抑制しつつ各第2回路24を非動力用バッテリ12により安定に動作させることが可能になる。

[0147] [3] 第3の実施の形態

以下、第3の実施の形態に係る移動体として、電動車両およびその他の移動体について説明する。本実施の形態に係る電動車両は、第1または第2の実施の形態に係るバッテリシステム500を備える。なお、以下では、電動車両の一例として電動自動車を説明する。

[0148] (1) 電動車両の構成および動作

図20は、バッテリシステム500を備える電動自動車の構成を示すプロック図である。図20に示すように、本実施の形態に係る電動自動車600は、移動本体部として車体610を備える。車体610に、図1の非動力用バッテリ12、主制御部300およびバッテリシステム500、電力変換部601、モータ602、駆動輪603、アクセル装置604、ブレーキ装置605、ならびに回転速度センサ606を含む。モータ602および駆動輪603は動力源である。モータ602が交流(AC)モータである場合には、電力変換部601はインバータ回路を含む。

[0149] 本実施の形態において、バッテリシステム500には、非動力用バッテリ12が接続される。また、バッテリシステム500は、電力変換部601を介してモータ602に接続されるとともに、主制御部300に接続される。上述のように、主制御部300には、バッテリシステム500を構成するバッテリECU101(図1参照)から各バッテリセル10(図1参照)の充電量および複数のバッテリセル10に流れる電流の値が与えられる。

[0150] 主制御部300には、アクセル装置604、ブレーキ装置605および回転速度センサ606が接続される。主制御部300は、例えばCPUおよびメモリ、またはマイクロコンピュータからなる。主制御部300には、非動

力用バッテリ 1 2 が接続される。非動力用バッテリ 1 2 から出力される電力は、主制御部 3 0 0 による制御に基づいて電動自動車 6 0 0 の一部の電装部品に供給される。

- [0151] アクセル装置 6 0 4 は、電動自動車 6 0 0 が備えるアクセルペダル 6 0 4 a と、アクセルペダル 6 0 4 a の操作量（踏み込み量）を検出するアクセル検出部 6 0 4 b とを含む。運転者によりアクセルペダル 6 0 4 a が操作されると、アクセル検出部 6 0 4 b は、運転者により操作されていない状態を基準としてアクセルペダル 6 0 4 a の操作量を検出する。検出されたアクセルペダル 6 0 4 a の操作量が主制御部 3 0 0 に与えられる。
- [0152] ブレーキ装置 6 0 5 は、電動自動車 6 0 0 が備えるブレーキペダル 6 0 5 a と、運転者によるブレーキペダル 6 0 5 a の操作量（踏み込み量）を検出するブレーキ検出部 6 0 5 b とを含む。運転者によりブレーキペダル 6 0 5 a が操作されると、ブレーキ検出部 6 0 5 b によりその操作量が検出される。検出されたブレーキペダル 6 0 5 a の操作量が主制御部 3 0 0 に与えられる。
- [0153] 回転速度センサ 6 0 6 は、モータ 6 0 2 の回転速度を検出する。検出された回転速度は、主制御部 3 0 0 に与えられる。
- [0154] 上記のように、主制御部 3 0 0 には、各バッテリセル 1 0 の充電量、複数のバッテリセル 1 0 に流れる電流の値、アクセルペダル 6 0 4 a の操作量、ブレーキペダル 6 0 5 a の操作量、およびモータ 6 0 2 の回転速度が与えられる。主制御部 3 0 0 は、これらの情報に基づいて、バッテリモジュール 1 0 0 M, 1 0 0 の充放電制御および電力変換部 6 0 1 の電力変換制御を行う。
- [0155] 例えば、アクセル操作に基づく電動自動車 6 0 0 の発進時および加速時には、バッテリシステム 5 0 0 から電力変換部 6 0 1 にバッテリモジュール 1 0 0 M, 1 0 0 の電力が供給される。
- [0156] さらに、主制御部 3 0 0 は、与えられたアクセルペダル 6 0 4 a の操作量に基づいて、駆動輪 6 0 3 に伝達すべき回転力（指令トルク）を算出し、そ

の指令トルクに基づく制御信号を電力変換部 601 に与える。

[0157] 上記の制御信号を受けた電力変換部 601 は、バッテリシステム 500 から供給された電力を、駆動輪 603 を駆動するために必要な電力（駆動電力）に変換する。これにより、電力変換部 601 により変換された駆動電力がモータ 602 に供給され、その駆動電力に基づくモータ 602 の回転力が駆動輪 603 に伝達される。

[0158] 一方、ブレーキ操作に基づく電動自動車 600 の減速時には、モータ 602 は発電装置として機能する。この場合、電力変換部 601 は、モータ 602 により発生された回生電力をバッテリモジュール 100M, 100 の充電に適した電力に変換し、バッテリモジュール 100M, 100 に与える。それにより、バッテリモジュール 100M, 100 が充電される。

[0159] (2) 電動車両における効果

上記のように、本実施の形態に係る電動自動車 600 には、第 1 または第 2 の実施の形態に係るバッテリシステム 500 が設けられるので、電動自動車 600 の配線作業がおよび配線構造が単純化される。

[0160] (3) 他の移動体の構成および動作

バッテリシステム 500 が船、航空機、エレベータまたは歩行ロボット等の他の移動体に搭載されてもよい。

[0161] バッテリシステム 500 が搭載された船は、例えば、図 20 の車体 610 の代わりに船体を備え、駆動輪 603 の代わりにスクリューを備え、アクセル装置 604 の代わりに加速入力部を備え、ブレーキ装置 605 の代わりに減速入力部を備える。運転者は、船体を加速させる際にアクセル装置 604 の代わりに加速入力部を操作し、船体を減速させる際にブレーキ装置 605 の代わりに減速入力部を操作する。この場合、船体が移動本体部に相当し、モータが動力源に相当し、スクリューが駆動部に相当する。なお、船は、減速入力部を備えなくてもよい。この場合、運転者が加速入力部を操作して船体の加速を停止することにより、水の抵抗によって船体が減速する。このような構成において、モータがバッテリシステム 500 からの電力を受けてそ

の電力を動力に変換し、変換された動力によってスクリューが回転されることにより船体が移動する。

- [0162] バッテリシステム 500 が搭載された航空機は、例えば、図 20 の車体 610 の代わりに機体を備え、駆動輪 603 の代わりにプロペラを備え、アクセル装置 604 の代わりに加速入力部を備え、ブレーキ装置 605 の代わりに減速入力部を備える。なお、船および航空機は、減速入力部を備えなくてもよい。この場合、運転者が加速入力部を操作して加速を停止することにより、水の抵抗または空気抵抗によって機体が減速する。
- [0163] バッテリシステム 500 が搭載されたエレベータは、例えば、図 20 の車体 610 の代わりに籠を備え、駆動輪 603 の代わりに籠に取り付けられる昇降用ロープを備え、アクセル装置 604 の代わりに加速入力部を備え、ブレーキ装置 605 の代わりに減速入力部を備える。
- [0164] バッテリシステム 500 が搭載された歩行ロボットは、例えば、図 20 の車体 610 の代わりに胴体を備え、駆動輪 603 の代わりに足を備え、アクセル装置 604 の代わりに加速入力部を備え、ブレーキ装置 605 の代わりに減速入力部を備える。
- [0165] これらの移動体においては、モータが動力源に相当し、船体、機体、籠および胴体が本体部に相当し、スクリュー、プロペラ、昇降用ロープおよび足が駆動部に相当する。動力源がバッテリシステム 500 からの電力を受けてその電力を動力に変換し、駆動部が動力源により変換された動力により移動本体部を移動させる。

[0166] (4) 他の移動体における効果

このような種々の移動体においても、第 1 または第 2 の実施の形態に係るバッテリシステム 500 が用いられるので、移動体の配線作業がおよび配線構造が単純化される。

[0167] (5) 移動体の変形例

図 20 の電動自動車 600 または他の移動体において、各バッテリシステム 500 にバッテリ ECU 101 が設けられる代わりに、主制御部 300 が

バッテリＥＣＵ101と同様の機能を有してもよい。

[0168] [4] 第4の実施の形態

第4の実施の形態に係る電源装置について説明する。本実施の形態に係る電源装置は、第1または第2の実施の形態に係るバッテリシステム500を備える。

[0169] (1) 構成および動作

図21は、バッテリシステム500を備える電源装置の構成を示すブロック図である。図21に示すように、電源装置700は、電力貯蔵装置710および電力変換装置720を備える。電力貯蔵装置710は、バッテリシステム群711およびシステム制御部としてシステムコントローラ712を備える。バッテリシステム群711は、第1または第2の実施の形態に係るバッテリシステム500を含む。複数のバッテリシステム500間において、複数のバッテリセル10は互いに並列に接続されてもよく、または互いに直列に接続されてもよい。

[0170] システムコントローラ712は、システム制御部の例であり、例えばCPUおよびメモリ、またはマイクロコンピュータからなる。システムコントローラ712は、各バッテリシステム500のバッテリＥＣＵ101（図1参照）に接続される。各バッテリシステム500のバッテリＥＣＵ101は、各バッテリセル10（図1参照）の端子電圧に基づいて各バッテリセル10の充電量を算出し、算出された充電量をシステムコントローラ712に与える。システムコントローラ712は、各バッテリＥＣＵ101から与えられた各バッテリセル10の充電量に基づいて電力変換装置720を制御することにより、各バッテリシステム500に含まれる複数のバッテリセル10の放電または充電に関する制御を行う。

[0171] 電力変換装置720は、DC／DC（直流／直流）コンバータ721およびDC／AC（直流／交流）インバータ722を含む。DC／DCコンバータ721は入出力端子721a, 721bを有し、DC／ACインバータ722は入出力端子722a, 722bを有する。DC／DCコンバータ72

1の入出力端子721aは電力貯蔵装置710のバッテリシステム群711に接続される。DC/DCコンバータ721の入出力端子721bおよびDC/ACインバータ722の入出力端子722aは互いに接続されるとともに電力出力部PU1に接続される。DC/ACインバータ722の入出力端子722bは電力出力部PU2に接続されるとともに他の電力系統に接続される。電力出力部PU1, PU2は例えばコンセントを含む。電力出力部PU1, PU2には、例えば種々の負荷が接続される。他の電力系統は、例えば商用電源または太陽電池を含む。電力出力部PU1, PU2および他の電力系統が電源装置に接続される外部の例である。

- [0172] DC/DCコンバータ721およびDC/ACインバータ722がシステムコントローラ712によって制御されることにより、バッテリシステム群711に含まれる複数のバッテリセル10の放電および充電が行われる。
- [0173] バッテリシステム群711の放電時には、バッテリシステム群711から与えられる電力がDC/DCコンバータ721によりDC/DC(直流/直流)変換され、さらにDC/ACインバータ722によりDC/AC(直流/交流)変換される。
- [0174] DC/DCコンバータ721によりDC/DC変換された電力が電力出力部PU1に供給される。DC/ACインバータ722によりDC/AC変換された電力が電力出力部PU2に供給される。電力出力部PU1から外部に直流の電力が出力され、電力出力部PU2から外部に交流の電力が出力される。DC/ACインバータ722により交流に変換された電力が他の電力系統に供給されてもよい。
- [0175] システムコントローラ712は、各バッテリシステム500に含まれる複数のバッテリセル10の放電に関する制御の一例として、次の制御を行う。バッテリシステム群711の放電時に、システムコントローラ712は、各バッテリECU101(図1参照)から与えられる各バッテリセル10の充電量に基づいて放電を停止するか否かを判定し、判定結果に基づいて電力変換装置720を制御する。具体的には、バッテリシステム群711に含まれ

る複数のバッテリセル 10（図1参照）のうちいずれかのバッテリセル 10 の充電量が予め定められたしきい値よりも小さくなると、システムコントローラ 712は、放電が停止されるまたは放電電流（または放電電力）が制限されるようにDC／DCコンバータ 721およびDC／ACインバータ 722を制御する。これにより、各バッテリセル 10の過放電が防止される。

[0176] 一方、バッテリシステム群 711の充電時には、他の電力系統から与えられる交流の電力がDC／ACインバータ 722によりAC／DC（交流／直流）変換され、さらにDC／DCコンバータ 721によりDC／DC（直流／直流）変換される。DC／DCコンバータ 721からバッテリシステム群 711に電力が与えられることにより、バッテリシステム群 711に含まれる複数のバッテリセル 10（図1参照）が充電される。

[0177] システムコントローラ 712は、各バッテリシステム 500に含まれる複数のバッテリセル 10の充電に関する制御の一例として、次の制御を行う。バッテリシステム群 711の充電時に、システムコントローラ 712は、各バッテリECU 101（図1参照）から与えられる各バッテリセル 10の充電量に基づいて充電を停止するか否かを判定し、判定結果に基づいて電力変換装置 720を制御する。具体的には、バッテリシステム群 711に含まれる複数のバッテリセル 10のうちいずれかのバッテリセル 10の充電量が予め定められたしきい値よりも大きくなると、システムコントローラ 712は、充電が停止されるまたは充電電流（または充電電力）が制限されるようにDC／DCコンバータ 721およびDC／ACインバータ 722を制御する。これにより、各バッテリセル 10の過充電が防止される。

[0178] (2) 効果

上記のように、本実施の形態に係る電源装置 700には、第1または第2の実施の形態に係るバッテリシステム 500が設けられるので、電源装置 700の配線作業がおよび配線構造が単純化される。

[0179] (3) 電源装置の変形例

図21の電源装置 700において、各バッテリシステム 500にバッテリ

ECU101が設けられる代わりに、システムコントローラ712がバッテリECU101と同様の機能を有してもよい。

- [0180] 電源装置700と外部との間で互いに電力を供給可能であれば、電力変換装置720がDC／DCコンバータ721およびDC／ACインバータ722のうちいずれか一方のみを有してもよい。また、電源装置700と外部との間で互いに電力を供給可能であれば、電力変換装置720が設けられなくてもよい。
- [0181] 図21の電源装置700においては、複数のバッテリシステム500が設けられるが、これに限らず、1つのバッテリシステム500のみが設けられてもよい。

[0182] [5] 他の実施の形態

(1) 上記実施の形態において、直列接続された複数のバッテリモジュール100M、100のうち、バッテリモジュール100Mが最も高電位側に配置されるが、これに限定されない。バッテリモジュール100Mは最も低電位側に配置されてもよい。この場合、最も高電位側に配置されるバッテリモジュール100の第2回路24とバッテリECU101とが通信ケーブルにより接続される。

[0183] (2) 上記実施の形態において、バッテリモジュール100MおよびバッテリECU101は、終端抵抗RTがバス103の端部に位置するように接続されるが、これに限定されない。バス103の末端での信号の反射が小さい場合、バッテリモジュール100MおよびバッテリECU101は、終端抵抗RTがバス103の端部に位置するように接続されなくてもよい。

[0184] (3) 上記実施の形態において、バッテリモジュール100Mは、複数のバッテリセル10に流れる電流に応じた電圧を発生する素子としてシャント抵抗RSを有するが、これに限定されない。例えば、バッテリモジュール100Mは、複数のバッテリセル10に流れる電流に応じた電圧を発生するホール素子等の他の素子を有してもよい。この場合、第3回路80は、ホール素子に発生する電圧を検出することにより、複数のバッテリセル10に流れ

る電流を電圧の形態で検出する。

- [0185] (4) 上記実施の形態において、バッテリシステム500はバッテリECU101を有するが、これに限定されない。第2回路24がバッテリECU101の機能を有する場合、バッテリシステム500はバッテリECU101を有さなくてもよい。
- [0186] (5) 上記実施の形態において、バッテリシステム500は1個のバッテリモジュール100Mを有するが、これに限定されない。バッテリシステム500がバッテリECU101を有さない場合、バッテリシステム500は2個のバッテリモジュール100Mを有してもよい。この場合、2個のバッテリモジュール100Mは、終端抵抗RTがバス103の端部に位置するように接続される。また、バッテリシステム500が2個のバッテリモジュール100Mを有する場合、一方のバッテリモジュール100Mがシャント抵抗RS、第3回路80および絶縁素子27を有すればよい。
- [0187] (6) 上記実施の形態において、シャント抵抗RSとしてバスバー40と略同形状の電圧電流バスバー40yが用いられるが、これに限定されない。シャント抵抗RSとして他の抵抗素子が用いられてもよい。
- [0188] (7) 上記実施の形態において、電圧電流バスバー40yがバッテリモジュール100Mの端部に配置されるバッテリセル10に接続されるが、これに限定されない。電圧電流バスバー40yは、隣接する2個のバッテリセル10のプラス電極10aとマイナス電極10bとを接続する複数のバスバー40の1つに代えて接続されてもよい。
- [0189] (8) 上記実施の形態において、主回路基板21上にグランドパターンGND1LとグランドパターンGND3とが別個に形成されるが、これに限定されない。グランドパターンGND1LおよびグランドパターンGND3の電位は等しいので、グランドパターンGND1LとグランドパターンGND3とが一体的に形成されてもよい。
- [0190] (9) 上記実施の形態において、主回路基板21上にグランドパターンGND1HとグランドパターンGND3とが別個に形成されるが、これに限定

されない。例えば、9番目のバッテリセル10のプラス電極10aと10番目のバッテリセル10のマイナス電極10bとを接続するバスバー40として電圧電流バスバー40yが用いられる場合、グランドパターンGND1HおよびグランドパターンGND3の電位が等しくなる。この場合、グランドパターンGND1HとグランドパターンGND3とが一体的に形成されてもよい。

[0191] (10) バッテリモジュールの第1の変形例

バッテリモジュール100Mの主回路基板21, 21bは、端面枠92に取り付けられずにバッテリモジュール100Mのバッテリブロック10BBの上面に取り付けられてもよい。同様に、バッテリモジュール100の副回路基板21a, 21cは、端面枠92に取り付けられずにバッテリモジュール100のバッテリブロック10BBの上面に取り付けられてもよい。

[0192] 図22は、第1の変形例に係るバッテリモジュール100Mの構成を示す分解斜視図である。図22に示すように、第1の変形例に係るバッテリモジュール100Mは、上部が開口したケーシング(筐体)CA内に配置される。バッテリモジュール100Mは、ガスダクト111および蓋部材70をさらに備える。蓋部材70は、樹脂等の絶縁性材料からなり、矩形板状を有する。バッテリブロック10BBの上面に、ガスダクト111、配線部材110、蓋部材70および主回路基板21が順に配置される。配線部材110およびガスダクト111は蓋部材70の下面に取り付けられ、主回路基板21は蓋部材70の上面に取り付けられる。ケーシングCA内にバッテリブロック10BBが収納されるとともに、ケーシングCAの開口を閉塞するように蓋部材70がケーシングCAに嵌合された状態で取り付けられる。これにより、バッテリモジュール100Mを収納するバッテリボックスBBが形成される。ここで、蓋部材70は、ねじ止めまたは接着剤等によりケーシングCAに取り付けられてもよい。これにより、蓋部材70をケーシングCAに確実に固定することができる。また、蓋部材70はケーシングCAに嵌合されなくてもよい。

[0193] 図23は、図22の蓋部材70を斜め下方から見た斜視図である。図24は、図22の蓋部材70を斜め上方から見た斜視図である。以下、X方向に沿った蓋部材70の一辺および他辺をそれぞれ側辺70aおよび側辺70bと呼ぶ。蓋部材70の側辺70aはバッテリブロック10BB(図22参照)の一方向の側面E1(図22参照)に沿い、蓋部材70の側辺70bはバッテリブロック10BBの他方向の側面E2(図22参照)に沿う。また、バッテリブロック10BBに対向する蓋部材70の面を裏面と呼び、その反対側の蓋部材70の面を表面と呼ぶ。本例では、蓋部材70の表面が上方に向けられる。

[0194] 図23に示すように、蓋部材70の裏面には、蓋部材70の側辺70aおよび側辺70bに沿って延びるように、FPC嵌合部74がそれぞれ形成される。FPC嵌合部74内に、配線部材110のFPC基板50が嵌合される。以下、蓋部材70の側辺70aおよび側辺70bに沿うように設けられたFPC嵌合部74をそれぞれ側辺70a側および側辺70b側のFPC嵌合部74と呼ぶ。

[0195] 側辺70a側および側辺70b側のFPC嵌合部74に沿うように、複数の凹部71、72が設けられる。本例では、側辺70a側のFPC嵌合部74に沿うように9つの凹部71が設けられる。蓋部材70の側辺70bに沿うように1つの凹部72、8つの凹部71および他の1つの凹部72が設けられる。

[0196] 凹部71、72は略矩形状を有し、凹部71のX方向における長さは凹部72のX方向における長さよりも大きい。凹部71の形状および長さはバスバー40の形状および長さとほぼ等しく、凹部72の形状および長さはバスバー40aの形状および長さとほぼ等しい。複数の凹部71、72の底面から蓋部材70の表面に貫通するように、複数の開口73が形成される(図24参照)。各凹部71内には2つの開口73(図24参照)が形成され、各凹部72内には1つの開口73(図24参照)が形成される。以下、蓋部材70の側辺70aに沿うように設けられた凹部71および開口73をそれぞ

れ側辺 70a 側の凹部 71 および側辺 70a 側の開口 73 と呼び、蓋部材 70 の側辺 70b に沿うように設けられた凹部 71, 72 および開口 73 をそれぞれ側辺 70b 側の凹部 71, 72 および側辺 70b 側の開口 73 と呼ぶ。

- [0197] 蓋部材 70 の凹部 71 には配線部材 110 のバスバー 40 が嵌合され、凹部 72 には配線部材 110 のバスバー 40a が嵌合される。バスバー 40 が凹部 71 に嵌合された状態で、バスバー 40 の電極接続孔 43 は開口 73 内で蓋部材 70 の表面側に露出する。同様に、バスバー 40a が凹部 72 に嵌合された状態で、バスバー 40a の電極接続孔 47 は開口 73 内で蓋部材 70 の表面側に露出する。
- [0198] 側辺 70a 側の複数の複数の凹部 71 と側辺 70b 側の複数の凹部 71, 72 との間で X 方向に延びるようにダクト嵌合部 77 が形成される。ダクト嵌合部 77 内に、ガスダクト 111 が嵌合される。
- [0199] 側辺 70a 側の複数の凹部 71 から側辺 70a 側の FPC 嵌合部 74 にそれぞれ延びるように複数対の接続溝 75 が形成される。側辺 70b 側の複数の凹部 71 から側辺 70b 側の FPC 嵌合部 74 にそれぞれ延びるように複数対の接続溝 75 が形成される。側辺 70b 側の複数の凹部 72 から側辺 70b 側の FPC 嵌合部 74 にそれぞれ延びるように複数の接続溝 76 が形成される。複数対の接続溝 75 内には、複数のバスバー 40 の一対の取付片 42 がそれぞれ配置される。複数の接続溝 76 内には、複数のバスバー 40a の取付片 46 がそれぞれ配置される。
- [0200] 次に、FPC 基板 50 と主回路基板 21 との接続について説明する。図 25 は、第 1 の変形例における複数のバスバー 40, 40a および 2 枚の FPC 基板 50 を上方から見た図である。図 25 の FPC 基板 50 は、以下の点を除いて図 12 の FPC 基板 50 と同様の構成を有する。
- [0201] 図 25 に示すように、各 FPC 基板 50 は、複数の導体線 52 に対応する複数の接続端子 22a をさらに有する。複数の接続端子 22a は、各 FPC 基板 50 の一方側の側辺に沿って X 方向に並ぶように配置される。各導体線

5 2は、対応するPTC素子6 0と接続端子2 2 aとの間でY方向に平行に延びるように設けられる。導体線5 1, 5 2およびPTC素子6 0により、接続端子2 2 aとバスバー4 0, 4 0 aとが電気的に接続される。

[0202] 図2 6は、第1の変形例における主回路基板2 1を上方から見た図である。図2 6の主回路基板2 1は、以下の点を除いて図1 2の主回路基板2 1と同様の構成を有する。

[0203] 図2 6に示すように、主回路基板2 1は矩形板状を有する。主回路基板2 1の複数の接続端子2 2は、主回路基板2 1の一方側および他方側の側辺に沿ってX方向に並ぶように配置される。複数の接続端子2 2はFPC基板5 0の複数の接続端子2 2 a(図2 5参照)に対応する。

[0204] 図2 7は、第1の変形例におけるFPC基板5 0と主回路基板2 1との接続構造を示す模式的断面図である。図2 7には、FPC基板5 0の一の接続端子2 2 aと主回路基板2 1の一の接続端子2 2との接続構造が示される。

[0205] 図2 7に示すように、FPC基板5 0の各接続端子2 2 aには孔部5 3が形成され、主回路基板2 1の各接続端子2 2には孔部2 3が形成される。また、各接続端子2 2 aと各接続端子2 2との間ににおける蓋部材7 0の部分には孔部7 8が形成される。各接続端子2 2 aと各接続端子2 2との間に接続部材PHが取り付けられる。第1の変形例では、接続部材PHとしてピンヘッダが用いられる。

[0206] 接続部材PHは、下方に突出するピンPN 1および上方に突出するピンPN 2を有する。ピンPN 1, PN 2は互いに一体に1本のピンで構成される。なお、ピンPN 1, PN 2が電気的に接続されていれば、ピンPN 1, PN 2が別体であってもよい。接続部材PHのピンPN 1がFPC基板5 0の上方からFPC基板5 0の孔部5 3に挿入され、接続部材PHのピンPN 2が蓋部材7 0の下方から蓋部材7 0の孔部7 8および主回路基板2 1の孔部2 3に挿入される。

[0207] その状態で、半田SOによって接続部材PHのピンPN 1がFPC基板5 0の接続端子2 2 aに接続され、ピンPN 2が主回路基板2 1の接続端子2

2に接続される。これにより、FPC基板50の各接続端子22aが主回路基板21の対応する接続端子22に電気的に接続される。

[0208] 変形例2に係るバッテリモジュール100Mにおいては、図7のバッテリモジュール100Mと同様にシャント抵抗RSが一方のFPC基板50に設けられるが、これに限定されない。シャント抵抗RSはバッテリモジュール100Mの複数のバッテリセル10と直列に接続されるように主回路基板21に設けられてもよい。この場合、シャント抵抗RSとしては、電圧電流バスバー40yとは異なる他の抵抗素子が設けられてもよい。

[0209] このようにして、ガスダクト111、配線部材110および主回路基板21が蓋部材70に取り付けられる。その状態で、蓋部材70がバッテリブロック10BBの上面に取り付けられる。複数のバスバー40の電極接続孔43には、複数のバッテリセル10のプラス電極10a（図22参照）およびマイナス電極10b（図22参照）が嵌め込まれる。複数のバスバー40aの電極接続孔47には、複数のバッテリセル10のプラス電極10aまたはマイナス電極10bが挿入される。ガスダクト111は、複数のバッテリセル10のガス抜き弁10vを覆うようにバッテリブロック10BBの上面に配置される。

[0210] 蓋部材70の各開口73（図24参照）内において、図示しないナットがプラス電極10aおよびマイナス電極10bの雄ねじに螺合される。これにより、隣り合うバッテリセル10がバスバー40を介して電気的に接続される。その結果、複数のバッテリセル10が直列接続される。また、複数のバスバー40、40aがFPC基板50を介して主回路基板21上の低電位異常検出部30Lおよび高電位異常検出部30H（図26参照）に接続される。

[0211] このように、このバッテリモジュール100Mにおいては、ガスダクト111、配線部材110および主回路基板21が蓋部材70に一体的に設けられる。そのため、蓋部材70をバッテリブロック10BBに取り付けることにより、バッテリモジュール100Mを容易に組み立てることが可能となる

。また、バッテリセル10のガス抜き弁10vから排出されたガスを、ガスダクト111を通して効率よく外部に放出することができる。

[0212] また、バッテリブロック10BBに含まれるバッテリセル10の数が多い場合、バッテリブロック10BBの上面の面積は端面枠92（図22参照）の面積よりも大きくなる。そのため、図22のバッテリブロック10BBの上面には、図7の主回路基板21よりも大きい主回路基板21を配置することができる。そのため、主回路基板21にはより多数の回路を実装することができる。

[0213] 本例においては、バッテリモジュール100Mを収納するバッテリボックスBBが形成されることにより、バッテリモジュール100Mの強度が向上する。また、バッテリモジュール100Mのバッテリブロック10BBがバッテリボックスBBのケーシングCAに固定されるとともに、蓋部材70がケーシングCAに嵌合するので、バッテリブロック10BBと蓋部材70とを確実に固定することができる。

[0214] 本例において、ケーシングCAの開口が蓋部材70により閉塞されている。そのため、バッテリボックスBB内が樹脂によりモールドされてもよい。この場合、バッテリセル10の結露を防止することができる。また、バッテリボックスBB内にモールドされた樹脂は、バッテリモジュール100Mの熱伝導特性に影響を及ぼすことができる。例えば、バッテリボックスBB内を空気よりも高い熱伝導率を有する樹脂でモールドすることにより、バッテリボックスBB内の熱を外部に放出することができる。一方、バッテリボックスBB内を空気よりも低い熱伝導率を有する樹脂でモールドすることにより、外部からバッテリボックスBB内への熱の流入を遮断することができる。

[0215] また、バッテリボックスBB内は、閉鎖されているため、ケーシングCAおよび蓋部材70の少なくとも一方に孔部を設けることにより、バッテリボックスBB内の排気を行うことができる。この場合、バッテリモジュール100Mにガスダクト111が設けられなくてもよい。

[0216] (11) バッテリモジュールの第2の変形例

図28は、第2の変形例に係るバッテリモジュール100Mの構成を示す分解斜視図である。第2の変形例に係るバッテリモジュール100Mについて、第1の変形例に係るバッテリモジュール100Mと異なる点を説明する。

[0217] 図28に示すように、バッテリブロック10BBの上面に、ガスダクト111、蓋部材70、配線部材110および主回路基板21が順に配置される。第2の変形例に係るバッテリモジュール100Mと第1の変形例に係るバッテリモジュール100Mとでは、蓋部材70とFPC基板50との位置関係が異なる。ガスダクト111は蓋部材70の下面に取り付けられ、配線部材110および主回路基板21は蓋部材70の上面に取り付けられる。

[0218] 図29は、図28の蓋部材70を斜め下方から見た斜視図である。図30は、図28の蓋部材70を斜め上方から見た斜視図である。図29に示すように、蓋部材70の裏面は、ダクト嵌合部77が形成される点を除いて図29の蓋部材70の表面と同じ構成を有する。図30に示すように、蓋部材70の表面は、ダクト嵌合部77が形成されない点を除いて図28の蓋部材70の裏面と同じ構成を有する。

[0219] FPC基板50と主回路基板21との接続については、第1の変形例におけるFPC基板50と主回路基板21との接続と同様である。第2の変形例においてはFPC基板50と主回路基板21との間に蓋部材70が配置されないので、蓋部材70に図27の孔部78が設けられない。

[0220] ガスダクト111、配線部材110および主回路基板21が蓋部材70に取り付けられる。この場合、配線部材110のバスバー40、40aが蓋部材70の表面に取り付けられる。複数のバスバー40、40aは、第1の変形例に係るバッテリモジュール100Mと同様の方法で、複数のバッテリセル10のプラス電極10aおよびマイナス電極10bに接続される。

[0221] このように、このバッテリモジュール100Mにおいても、ガスダクト111、配線部材110および主回路基板21が蓋部材70に一体的に設けら

れる。そのため、蓋部材70をバッテリブロック10BBに取り付けることにより、バッテリモジュール100Mを容易に組み立てることが可能となる。また、バッテリセル10のガス抜き弁10vから排出されたガスを、ガスダクト111を通して効率よく外部に放出することができる。

[0222] また、バッテリブロック10BBに含まれるバッテリセル10の数が多い場合、バッテリブロック10BBの上面の面積は端面枠92（図28参照）の面積よりも大きくなる。そのため、図28のバッテリブロック10BBの上面には、図7の主回路基板21よりも大きい主回路基板21を配置することができる。そのため、主回路基板21にはより多数の回路を実装することができる。

[0223] (12) 上記のバッテリモジュール100M, 100の第1の変形例および第2の変形例において、蓋部材70はケーシングCAに取り付けられるが、これに限定されない。例えば、バッテリモジュール100M, 100はケーシングCAに収納されない場合、あるいは1つのケーシングに複数のバッテリモジュール100が収納される場合、蓋部材70はバッテリモジュール100M, 100ごとにバッテリブロック10BBに取り付けられてもよい。特に、ガスダクト111および配線部材110が蓋部材70に一体的に設けられる場合には、図23および図28の各開口73内において、図示しないナットを複数のバッテリセル10のプラス電極10aおよびマイナス電極10bの雄ねじに螺合することにより、バスバー40, 40aとこれらの電極10a, 10bとの間の電気的な接続を行うとともに蓋部材70をバッテリブロック10BBに容易に取り付けることができる。このように、配線部材110、ガスダクト111および蓋部材70を一体的に取り扱うことにより、バッテリモジュール100M, 100を容易に組み立てることが可能となる。

[0224] (13) 上記実施の形態に係るバッテリシステム500において、図1に示すように、バッテリECU101がバス103の一端に接続されるが、これに限定されない。図1のバッテリECU101がバス103の一端に接続

されなくてもよい。図31は、他の実施の形態に係るバッテリシステム500の構成を示すブロック図である。図31に示すように、本実施の形態に係るバッテリシステム500において、バッテリECU101はバッテリモジュール100M, 100c間のバス103に接続される。この場合、バス103の一端に接続される通信機器としてバッテリモジュール100bに第2の終端抵抗であるの終端抵抗RTが設けられる。

- [0225] したがって、バッテリモジュール100Mの主回路基板21, 21bの終端抵抗RTがバス103の一端に接続され、バッテリモジュール100bの副回路基板21a, 21cの終端抵抗RTがバス103の他端に接続される。これにより、バス103のインピーダンス整合が行われる。その結果、煩雑な配線作業を必要とすることなくかつ配線構造を複雑にすることなくバッテリモジュール100M, 100a～100cおよびバッテリECU101の間で良好な通信を行うことができる。
- [0226] このように、通信機器は、複数の第2のバッテリセルおよび第2の回路基板を含む第2のバッテリモジュールであり、第2の回路基板は、各第2のバッテリセルの電圧を検出する第2の電圧検出部と、第2の電圧検出部に接続されるとともに通信バスに接続可能な第2の通信部とを含む。
- [0227] この場合、第2の回路基板の第2の電圧検出部により第2のバッテリモジュールの各第2のバッテリセルの電圧が検出される。検出された各第2のバッテリセルの電圧は、第2の回路基板の第2の通信部により通信バスを介して第1のバッテリモジュールの第1の通信部または外部装置に送信可能である。
- [0228] 第2の回路基板の第2の終端抵抗は通信バスに接続される。これにより、通信バスのインピーダンス整合が行われる。その結果、煩雑な配線作業を必要とすることなくかつ配線構造を複雑にすることなく第1および第2のバッテリモジュールの間で良好な通信を行うことができる。
- [0229] (14) 上記実施の形態に係る電動自動車600または船舶等の移動体はバッテリシステム500を備えるとともに、負荷としてモータ602を備え

る電気機器である。本発明に係る電気機器は、電動自動車 600 および船舶等の移動体に限定されず、洗濯機、冷蔵庫またはエアコンディショナ等であってもよい。例えば、洗濯機は負荷としてモータを備える電気機器であり、冷蔵庫またはエアコンディショナは負荷としてコンプレッサを備える電気機器である。

- [0230] このように、本実施の形態に係る電気機器は、上記バッテリシステムと、バッテリシステムからの電力により駆動される負荷とを備える。
- [0231] この電気機器においては、負荷がバッテリシステムからの電力により駆動される。
- [0232] この電気機器には、上記バッテリシステムが用いられるので、電気機器の配線作業および配線構造が単純化される。
- [0233] [6] 請求項の各構成要素と実施の形態の各部との対応関係
以下、請求項の各構成要素と実施の形態の各部との対応の例について説明するが、本発明は下記の例に限定されない。
- [0234] 上記実施の形態においては、バッテリモジュール 100M のバッテリセル 10 が第 1 のバッテリセルの例であり、主回路基板 21, 21b が第 1 の回路基板の例であり、バッテリモジュール 100M が第 1 のバッテリモジュールの例である。バッテリモジュール b のバッテリセル 10 が第 2 のバッテリセルの例であり、副回路基板 21a, 21c が第 2 の回路基板の例であり、バッテリモジュール 100b が第 2 のバッテリモジュールの例である。バス 103 が通信バスの例であり、主回路基板 21, 21b の第 1 回路 30 が第 1 の電圧検出部の例であり、主回路基板 21, 21b の第 2 回路 24 が第 1 の通信部の例であり、副回路基板 21a, 21c の第 1 回路 30 が第 2 の電圧検出部の例であり、副回路基板 21a, 21c の第 2 回路 24 が第 2 の通信部の例である。
- [0235] バッテリモジュール 100b またはバッテリ ECU 101 が通信機器の例であり、主回路基板 21, 21b の終端抵抗 R T が第 1 の終端抵抗の例であり、バッテリモジュール 100b またはバッテリ ECU 101 の終端抵抗 R

Tが第2の終端抵抗の例であり、バッテリECU101が制御部の例である。第3回路80または電源回路243が回路部の例であり、第3回路80が電流検出部の例であり、シャント抵抗RSまたはホール素子が素子の例である。通信ケーブルP1が通信ケーブルの例であり、主回路基板21, 21bのコネクタ23a, 23bがコネクタの例であり、バッテリシステム500がバッテリシステムの例であり、モータ602がモータの例であり、駆動輪603が駆動輪の例であり、電動自動車600が電動車両の例である。

[0236] 車体610、船舶の船体、航空機の機体、エレベータの籠または歩行ロボットの胴体が移動本体部の例である。モータ602、駆動輪603、スクリュー、プロペラ、昇降用ロープの巻上モータまたは歩行ロボットの足が動力源の例である。電動自動車600、船舶、航空機、エレベーターまたは歩行ロボットが移動体の例である。システムコントローラ712がシステム制御部の例であり、電力貯蔵装置710が電力貯蔵装置の例であり、電力変換装置720が電力変換装置の例であり、電源装置700が電源装置の例である。モータ602またはコンプレッサが負荷の例であり、電動自動車600、船舶、航空機、エレベータ、歩行ロボット、洗濯機、冷蔵庫またはエアコンディショナが電気機器の例である。

[0237] 請求項の各構成要素として、請求項に記載されている構成または機能を有する他の種々の要素を用いることもできる。

産業上の利用可能性

[0238] 本発明は、電力を駆動源とする種々の移動体、電力の貯蔵装置またはモバイル機器等に有效地に利用することができる。

請求の範囲

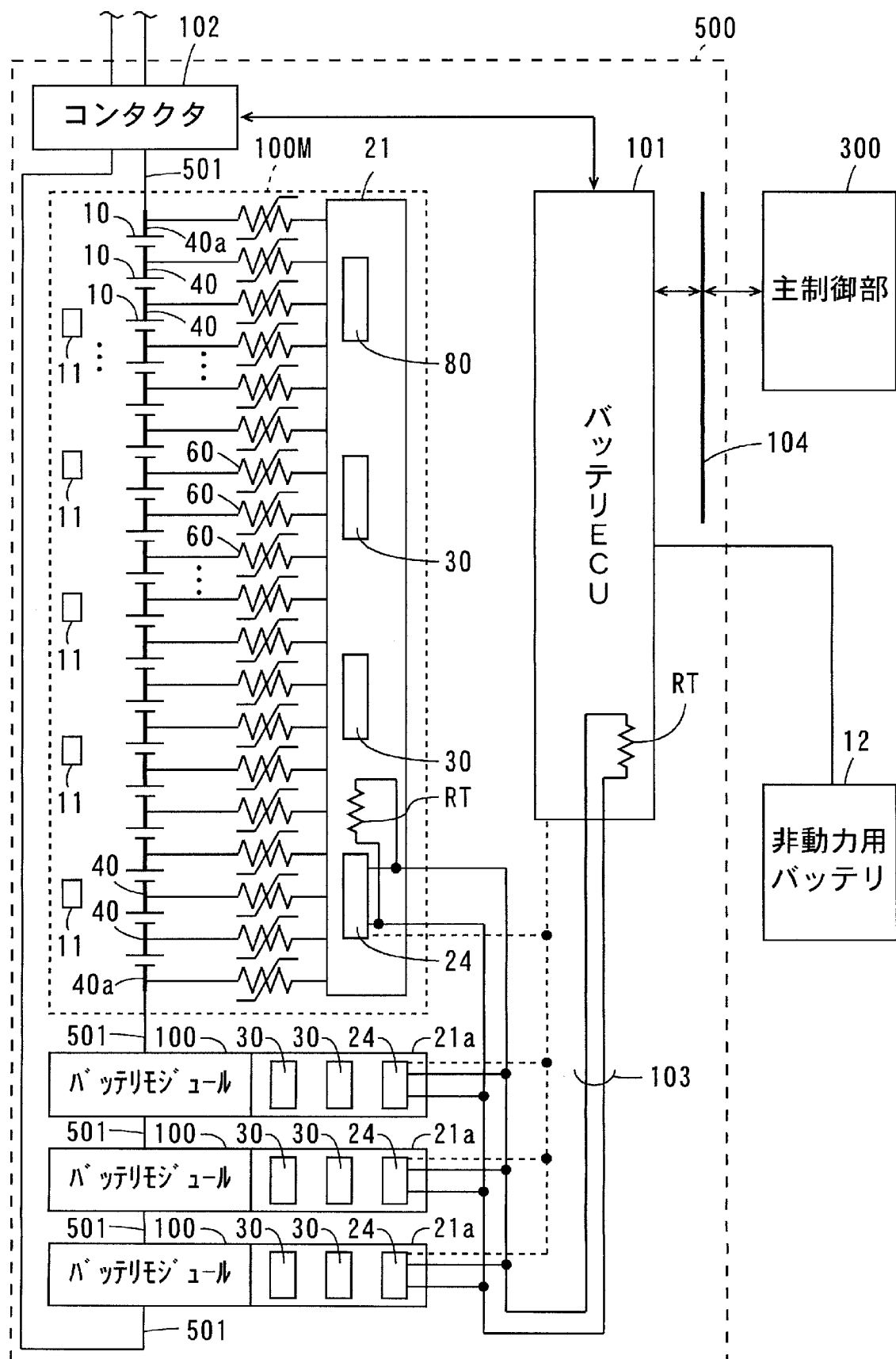
- [請求項1] 複数の第1のバッテリセルおよび第1の回路基板を含む第1のバッテリモジュールと、
通信バスとを備え、
前記第1の回路基板は、
各第1のバッテリセルの電圧を検出する第1の電圧検出部と、
前記第1の電圧検出部に接続されるとともに前記通信バスに接続可能な第1の通信部と、
前記通信バスに接続可能な第1の終端抵抗とを含む、バッテリシステム。
- [請求項2] 前記通信バスに接続可能な通信機器をさらに備える、バッテリシステム。
- [請求項3] 前記通信機器は、複数の第2のバッテリセルおよび第2の回路基板を含む第2のバッテリモジュールであり、
前記第2の回路基板は、
各第2のバッテリセルの電圧を検出する第2の電圧検出部と、
前記第2の電圧検出部に接続されるとともに前記通信バスに接続可能な第2の通信部とを含む、請求項2記載のバッテリシステム。
- [請求項4] 複数の第2のバッテリセルおよび第2の回路基板を含む第2のバッテリモジュールをさらに備え、
前記第2の回路基板は、
各第2のバッテリセルの電圧を検出する第2の電圧検出部と、
前記第2の電圧検出部に接続されるとともに前記通信バスに接続可能な第2の通信部とを含み、
前記通信機器は、前記通信バスに接続可能な第2の終端抵抗を含むとともに前記第1および第2のバッテリモジュールの制御に関連する動作を行う制御部である、請求項2記載のバッテリシステム。
- [請求項5] 前記第1の回路基板は、前記第1の電圧検出部とは異なる動作を行う

回路部をさらに含む、請求項 1～4 のいずれか一項に記載のバッテリシステム。

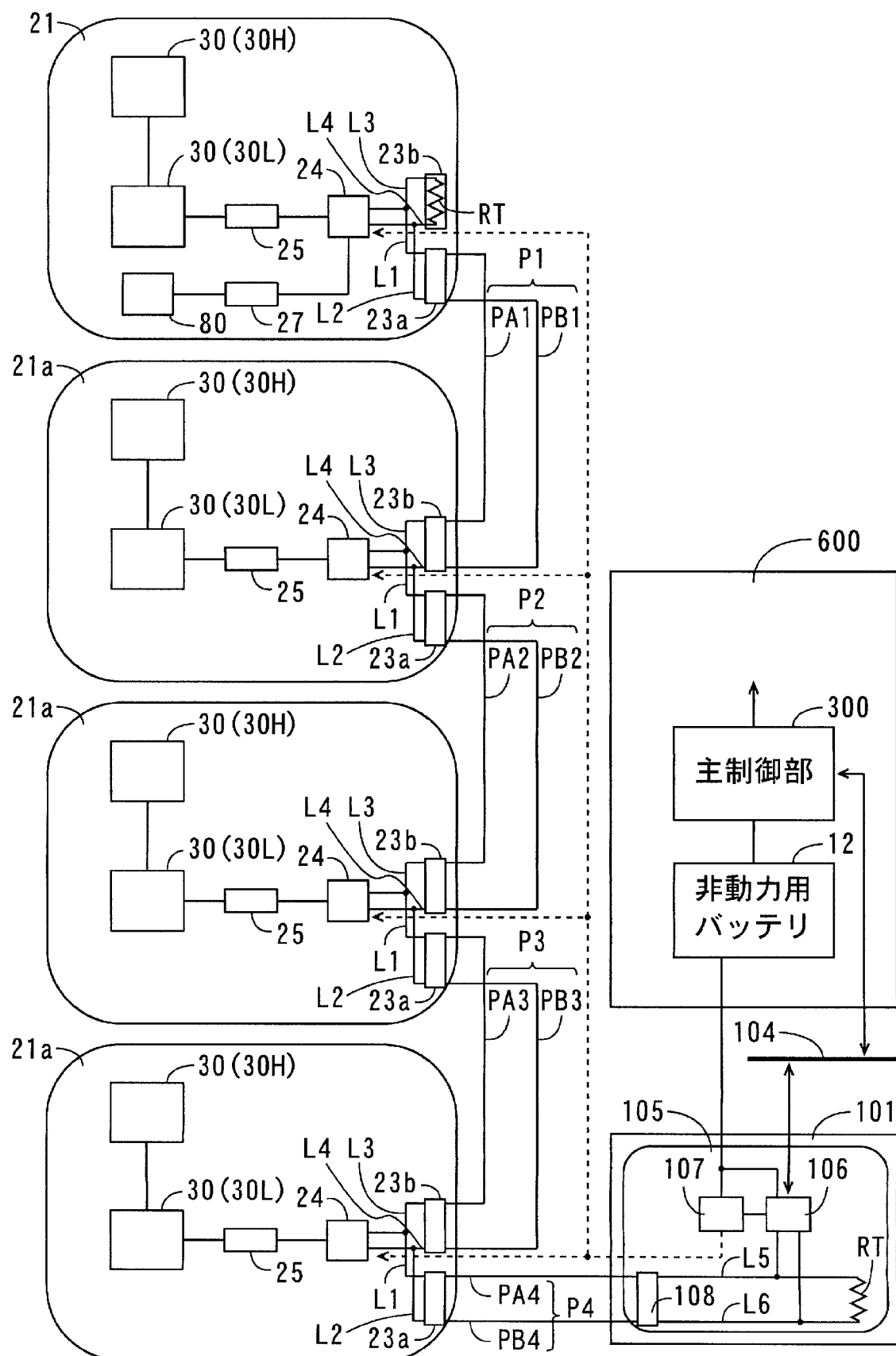
- [請求項6] 前記回路部は、前記複数の第 1 のバッテリセルに流れる電流に関する情報を検出するとともに、検出された前記情報を前記通信バスを通して送信可能に構成された電流検出部を含む、請求項 5 記載のバッテリシステム。
- [請求項7] 前記第 1 のバッテリモジュールは、前記複数の第 1 のバッテリセルに流れる電流に応じた電圧を発生する素子をさらに含み、
前記第 1 の回路基板の前記電流検出部は、前記素子に発生する電圧を検出することにより、前記複数の第 1 のバッテリセルに流れる電流を前記情報として電圧の形態で検出する、請求項 6 記載のバッテリシステム。
- [請求項8] 前記通信バスは通信ケーブルを含み、
前記第 1 の回路基板は、前記第 1 の通信部に電気的に接続されるとともに前記通信ケーブルに接続可能なコネクタをさらに含み、
前記第 1 の終端抵抗は前記コネクタに電気的に接続される、請求項 1～7 のいずれか一項に記載のバッテリシステム。
- [請求項9] 請求項 1～8 のいずれか一項に記載のバッテリシステムと、
前記バッテリシステムからの電力により駆動されるモータと、
前記モータの回転力により回転する駆動輪とを備える、電動車両。
- [請求項10] 請求項 1～8 のいずれか一項に記載のバッテリシステムと、
移動本体部と、
前記バッテリシステムからの電力を前記移動本体部を移動させるための動力に変換する動力源とを備える、移動体。
- [請求項11] 請求項 1～8 のいずれか一項に記載のバッテリシステムと、
前記バッテリシステムの放電または充電に関する制御を行うシステム制御部とを備える、電力貯蔵装置。
- [請求項12] 外部に接続可能であり、

請求項 1 1 記載の電力貯蔵装置と、
前記電力貯蔵装置の前記バッテリシステムと前記外部との間で電力
変換を行う電力変換装置とを備え、
前記システム制御部は、前記電力変換装置を制御する、電源装置。
[請求項13] 請求項 1 ~ 8 のいずれか一項に記載のバッテリシステムと、
前記バッテリシステムからの電力により駆動される負荷とを備える
、電気機器。

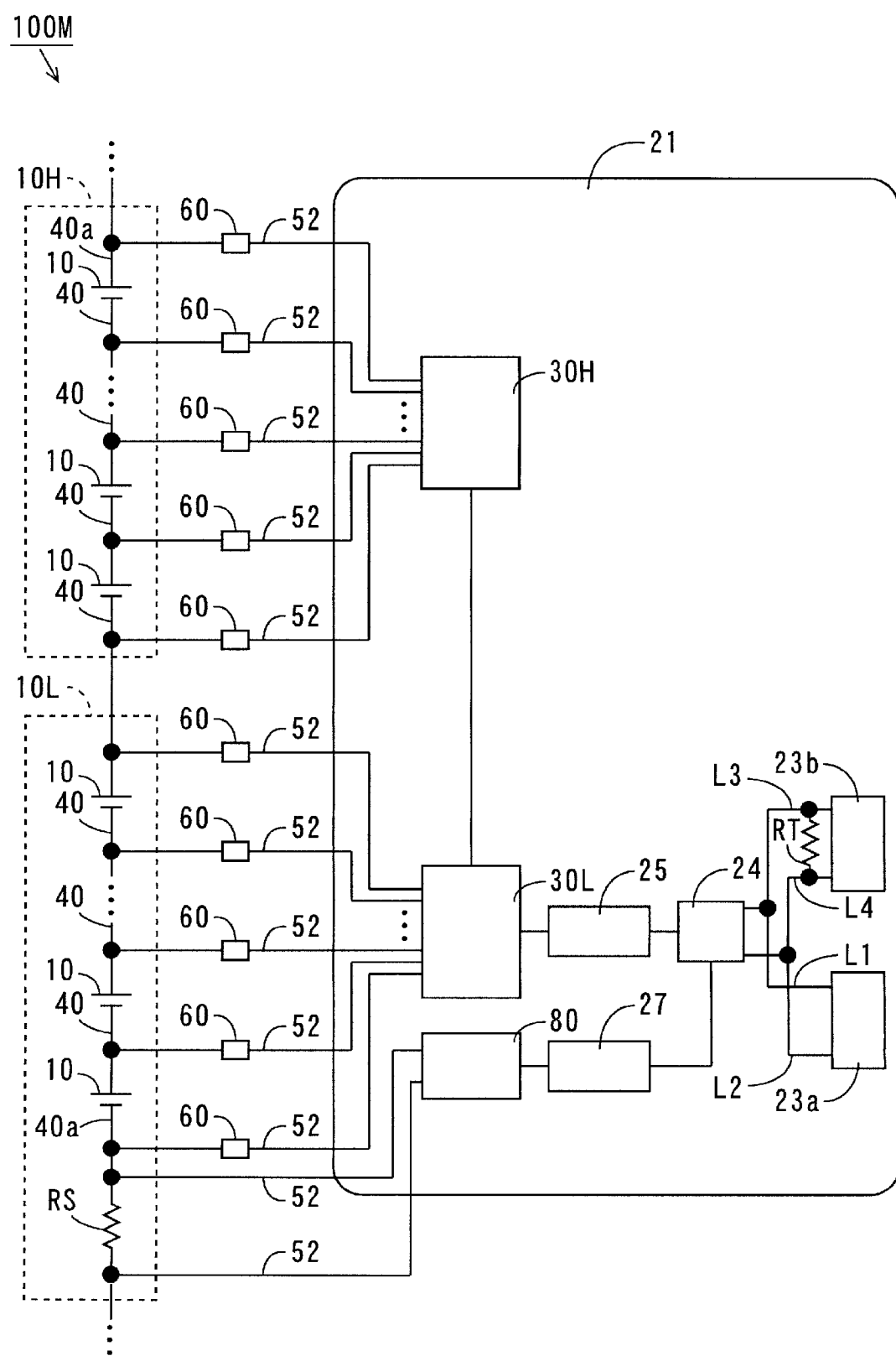
[図1]



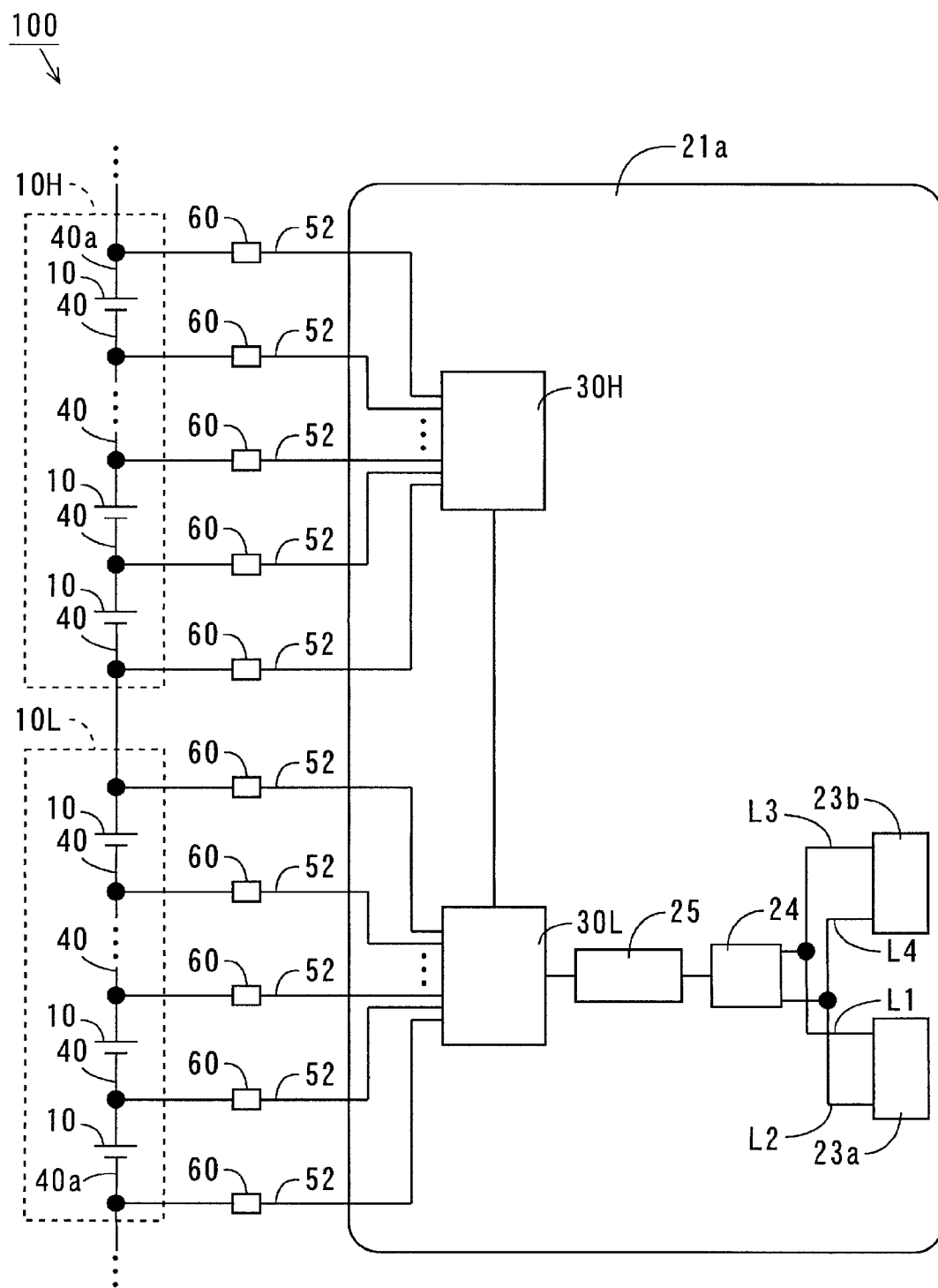
[図2]



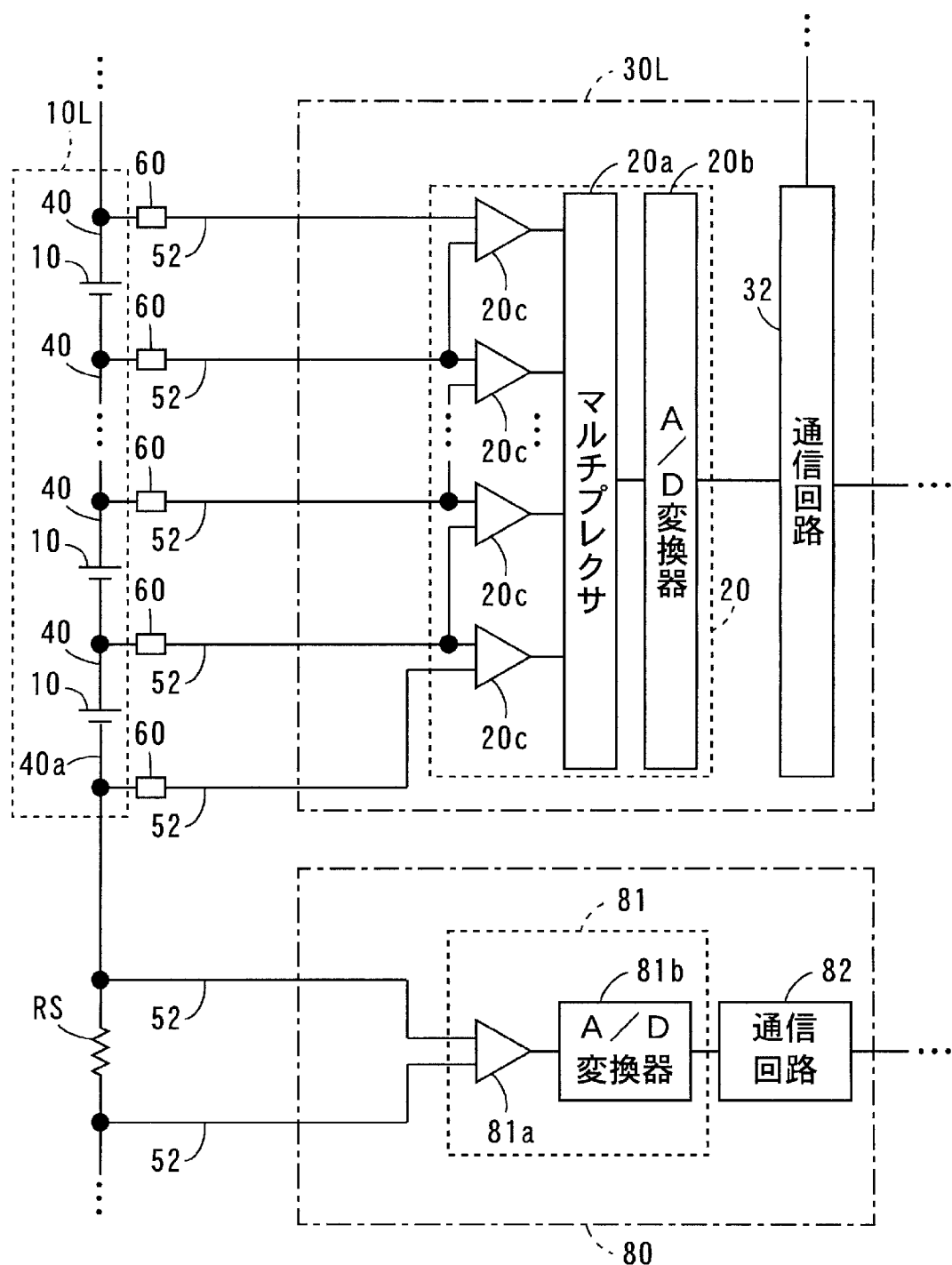
[図3]



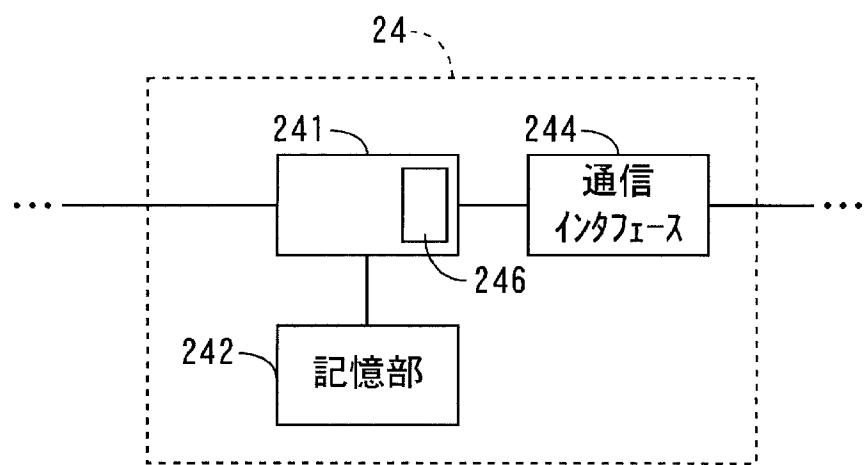
[図4]



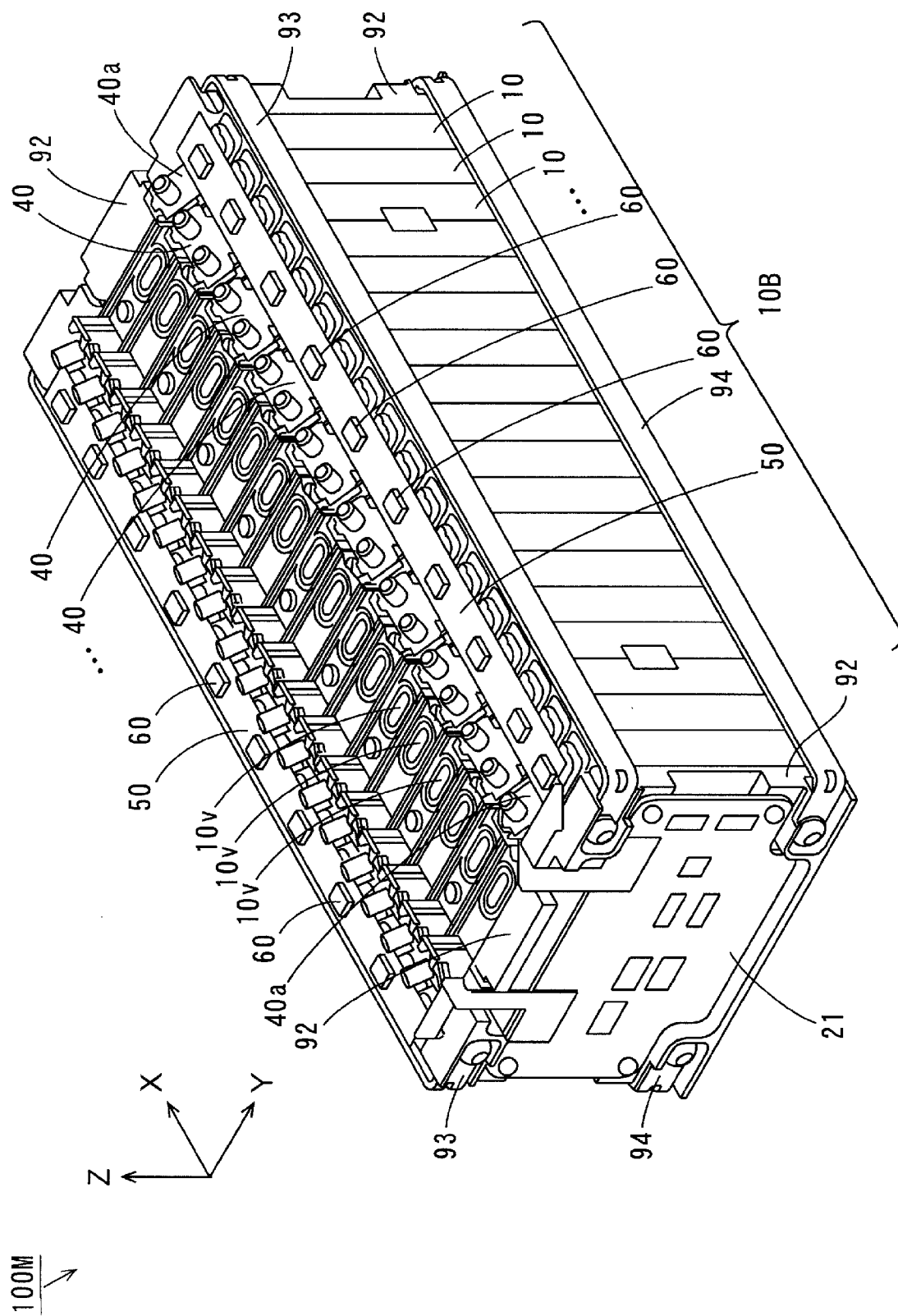
[図5]



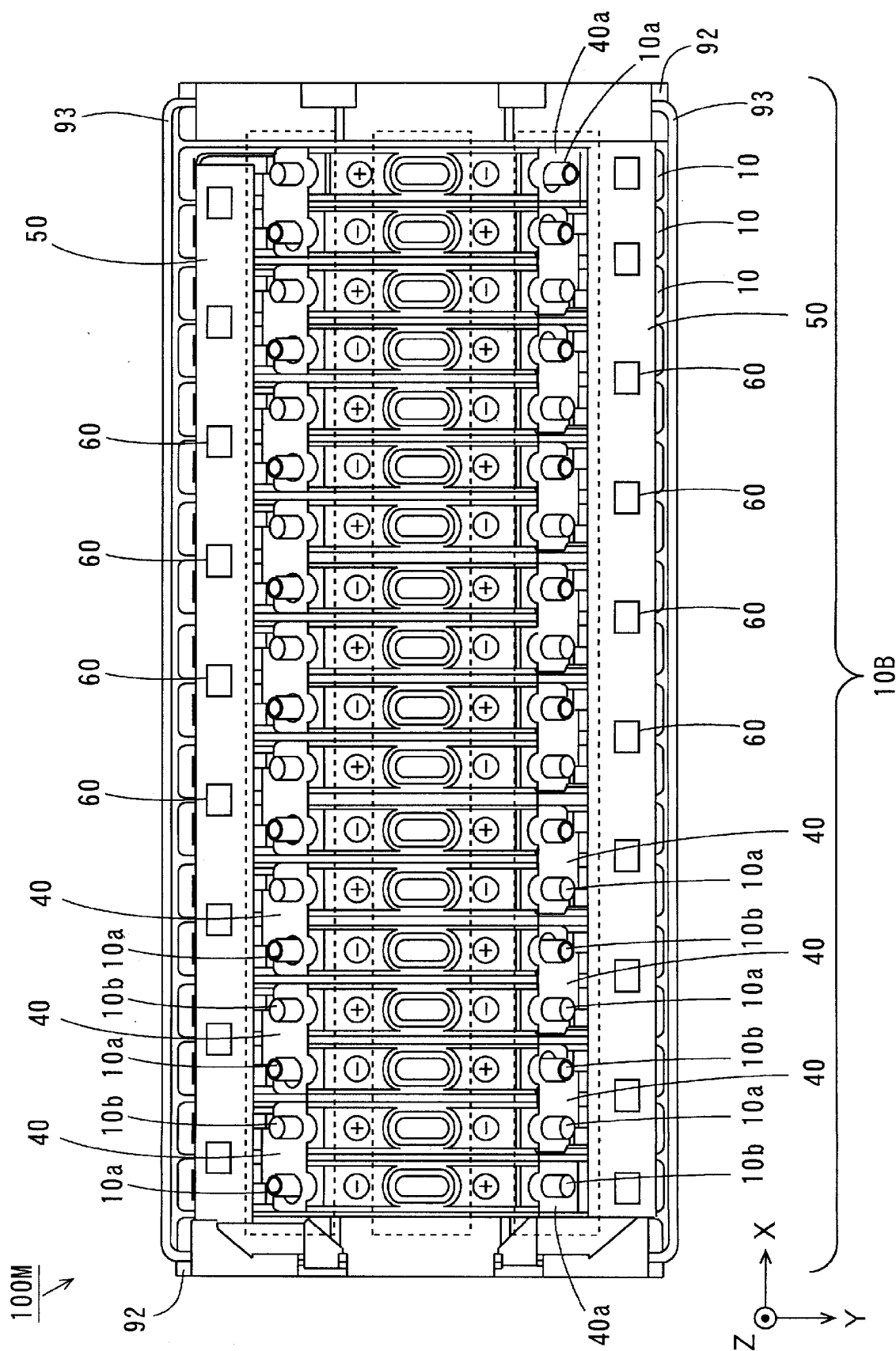
[図6]



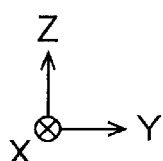
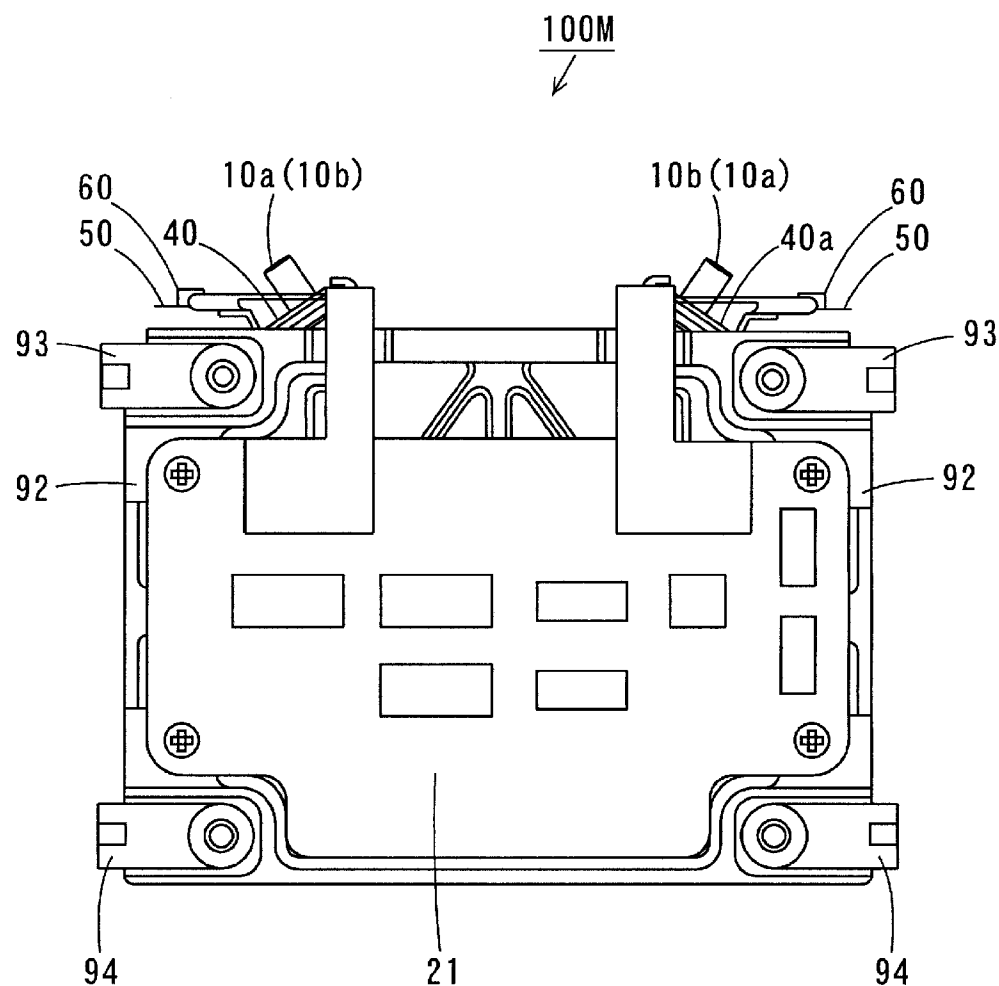
[図7]



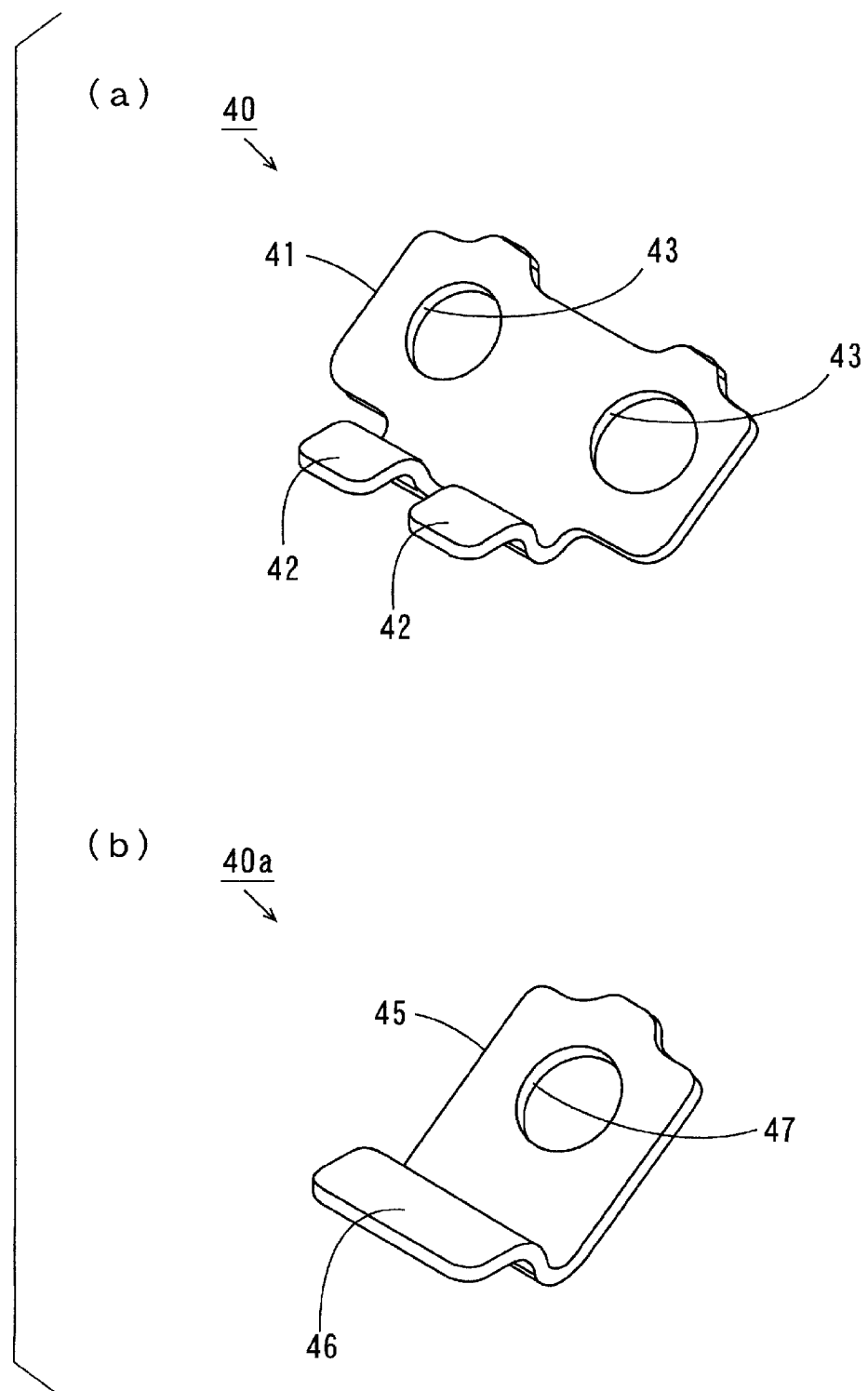
[図8]



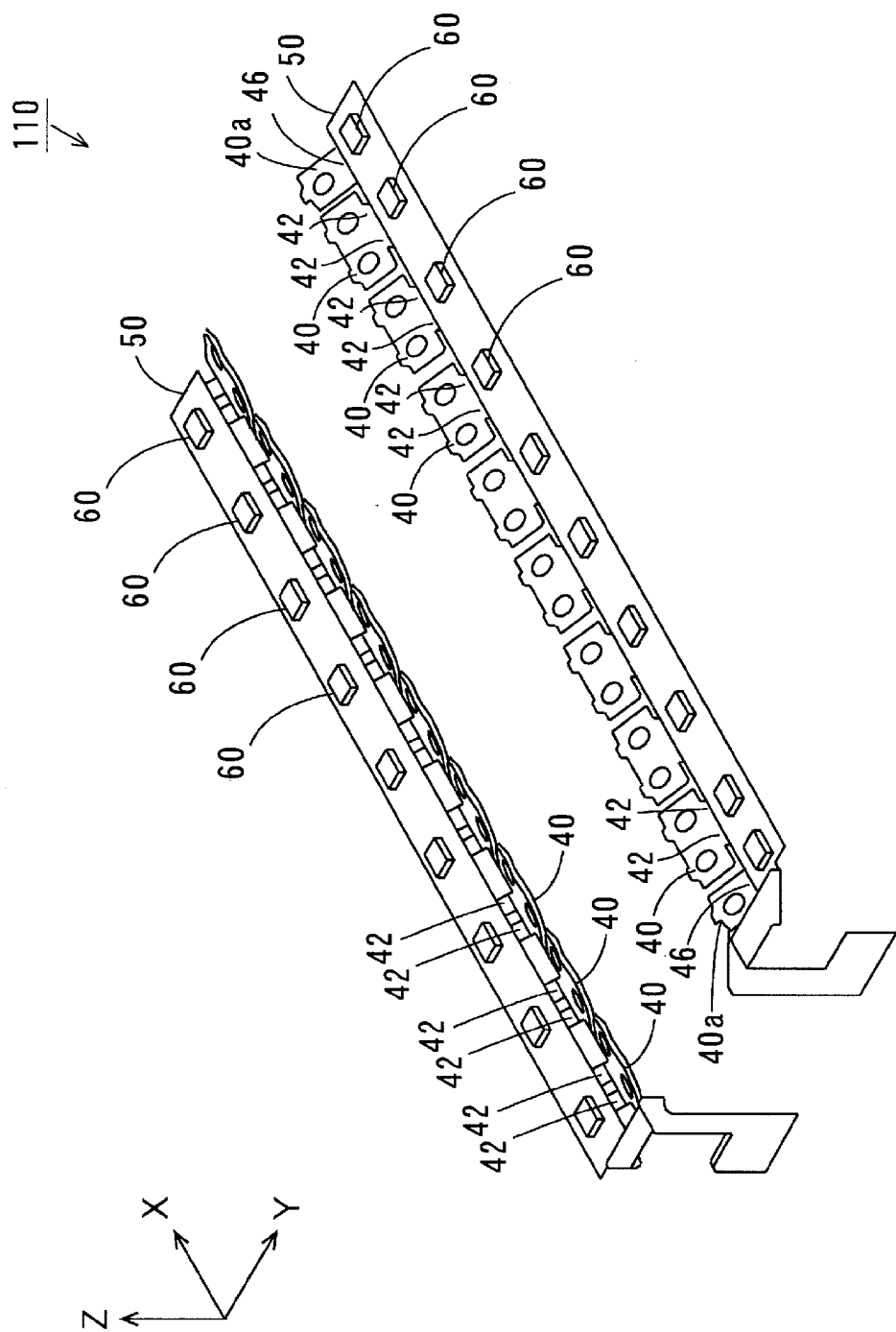
[図9]



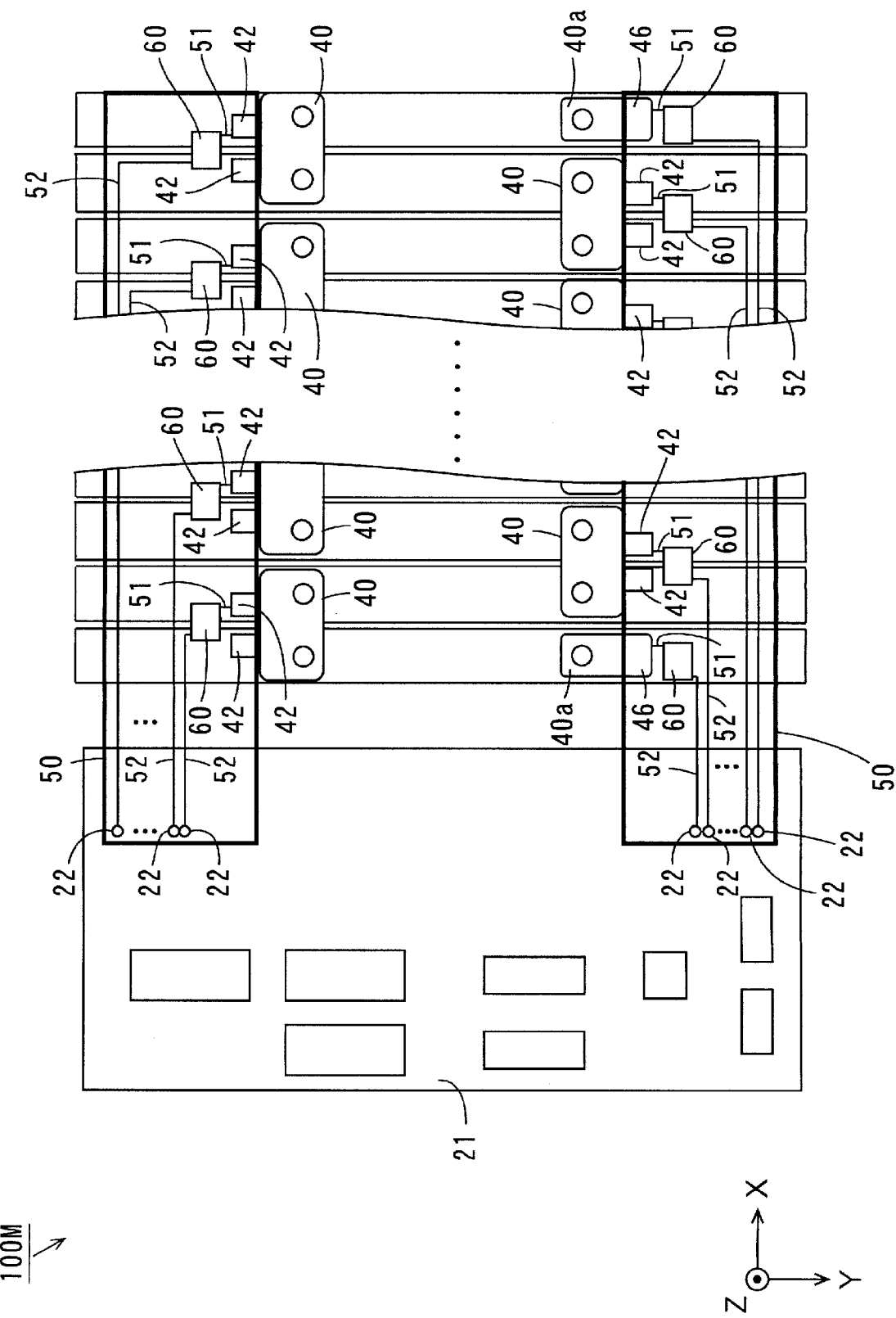
[図10]



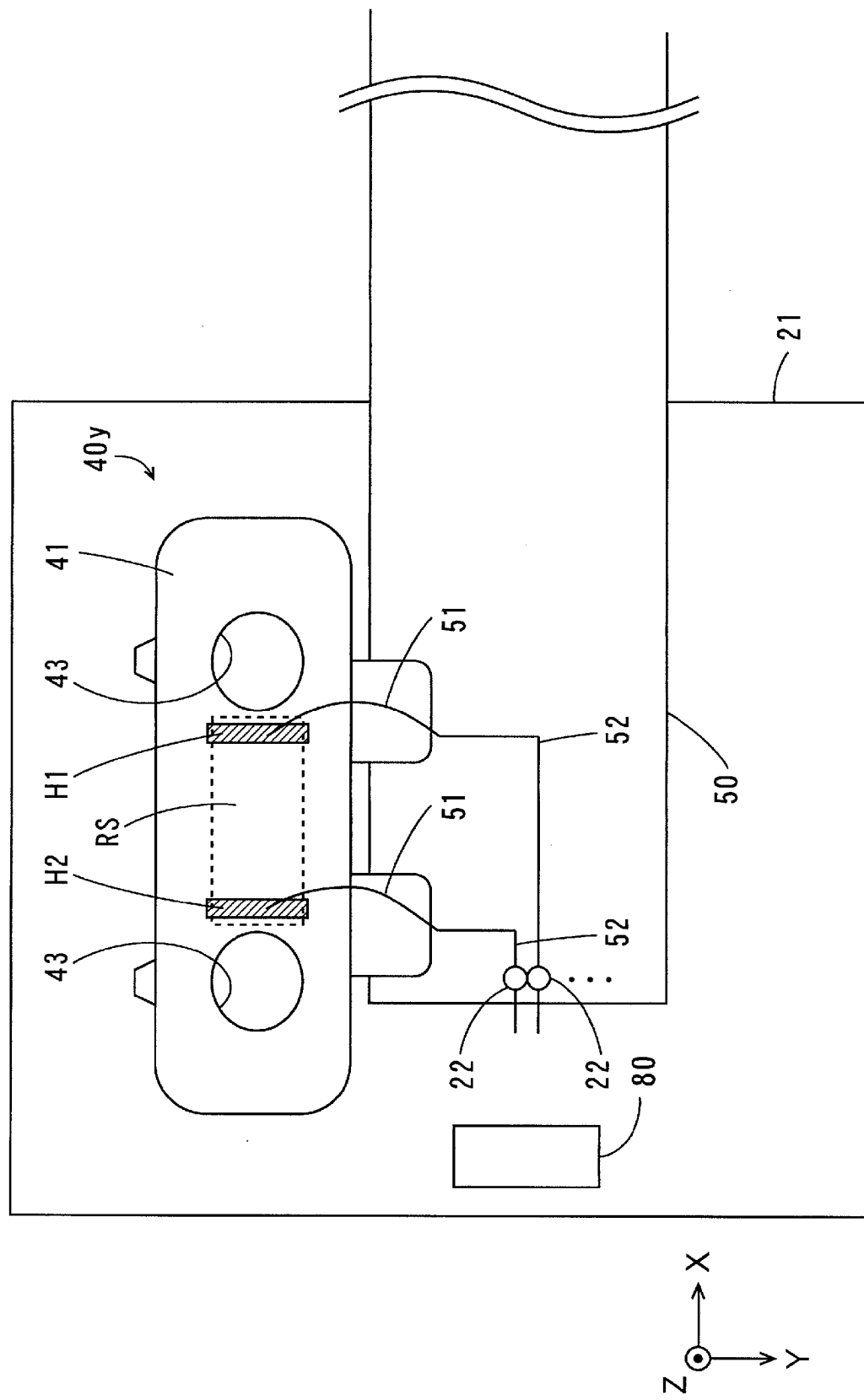
[図11]



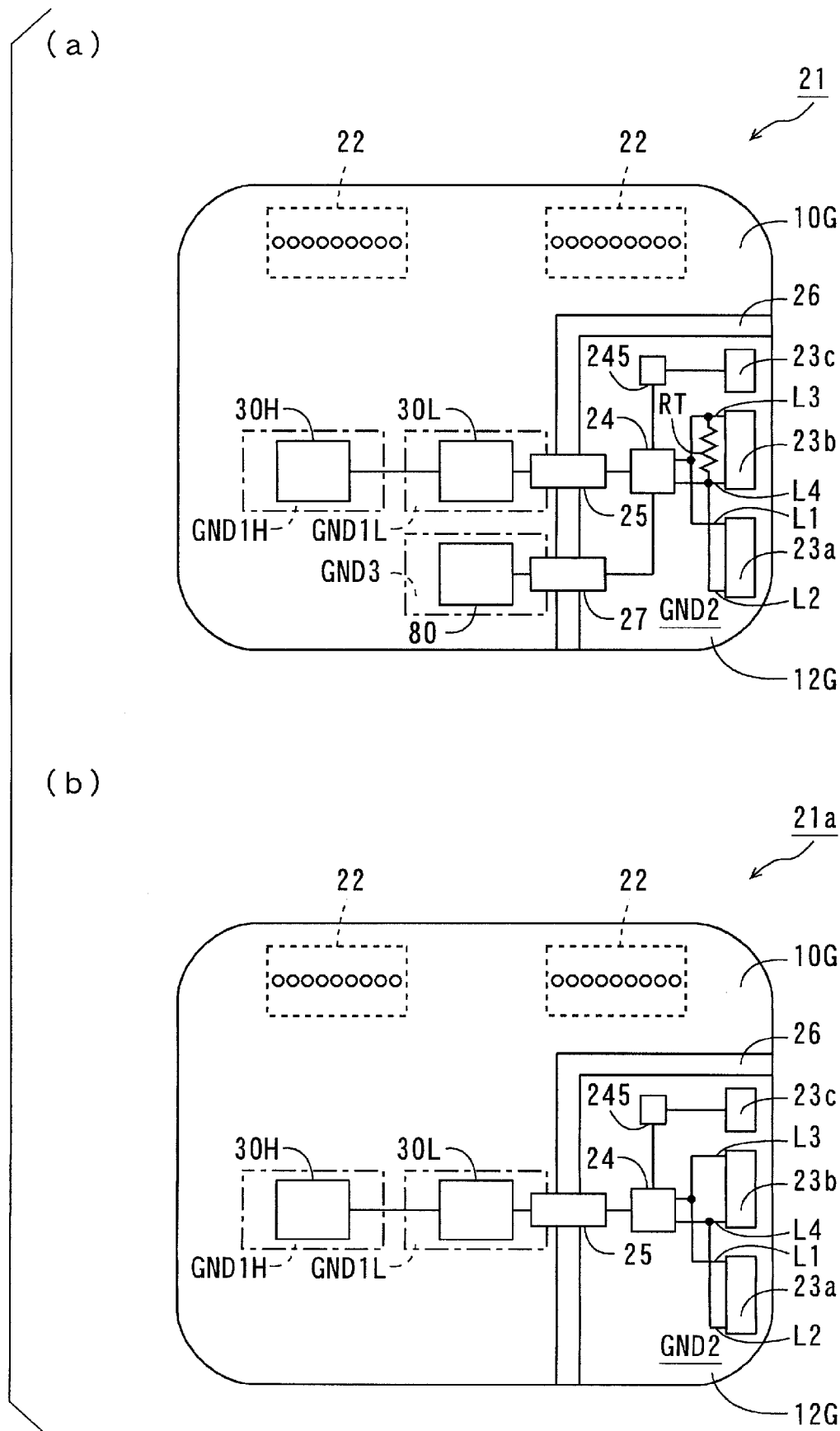
[図12]



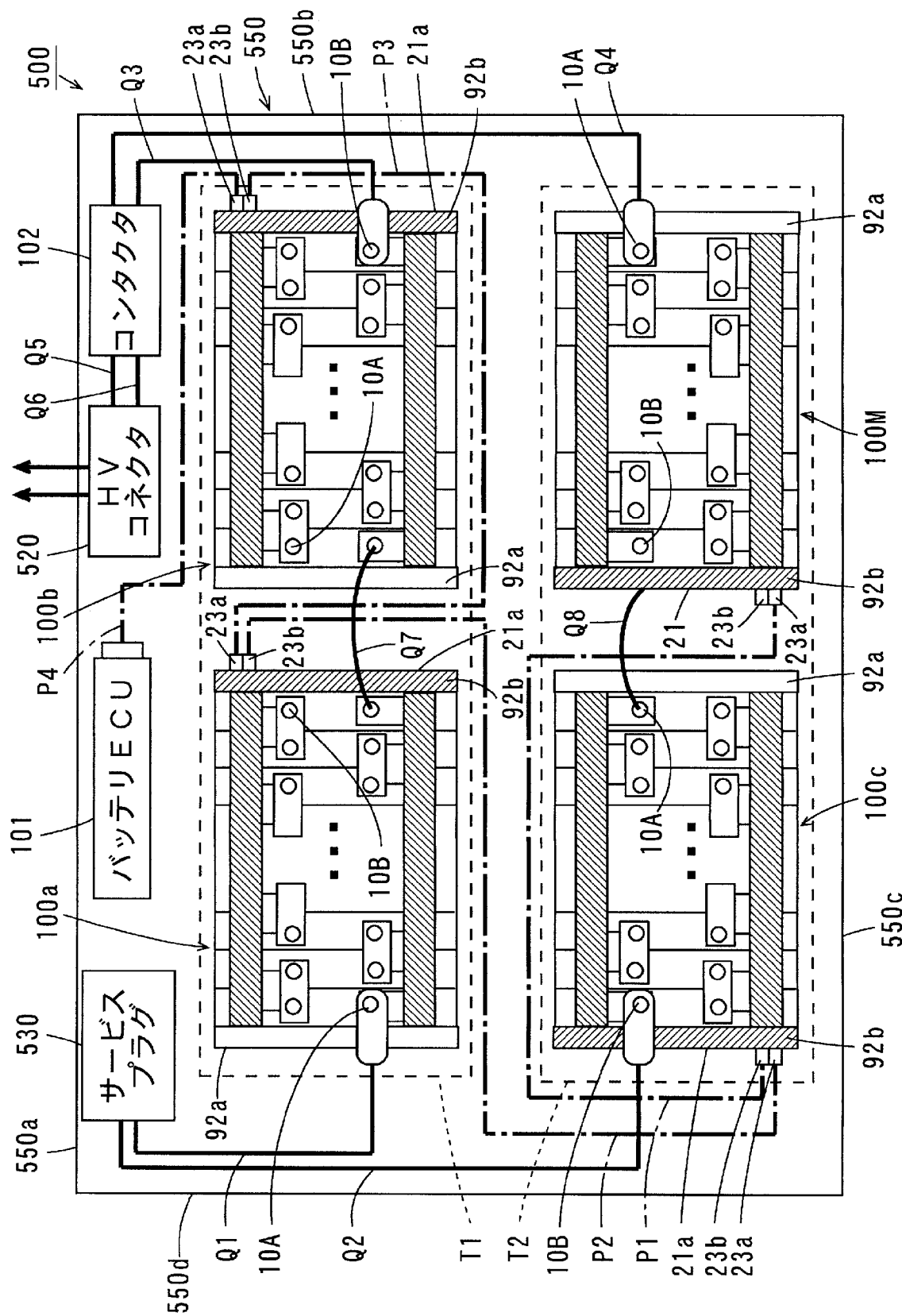
[図13]



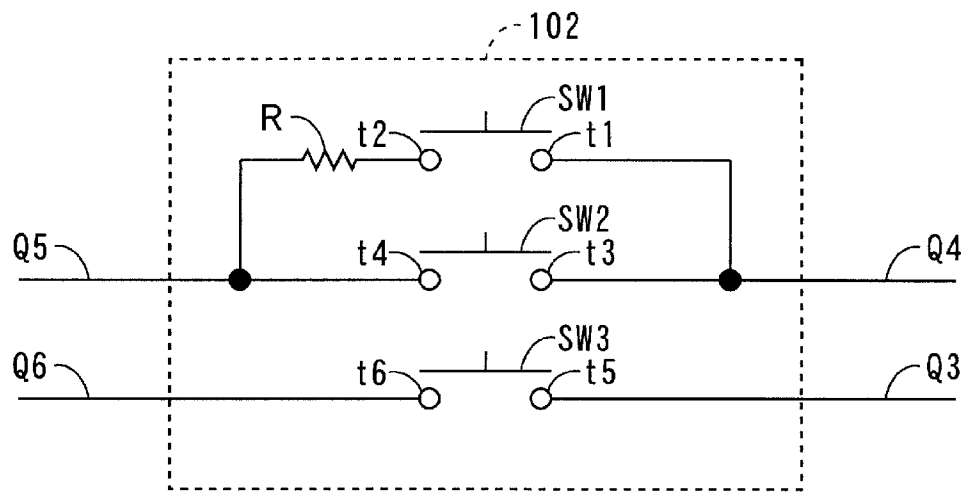
[図14]



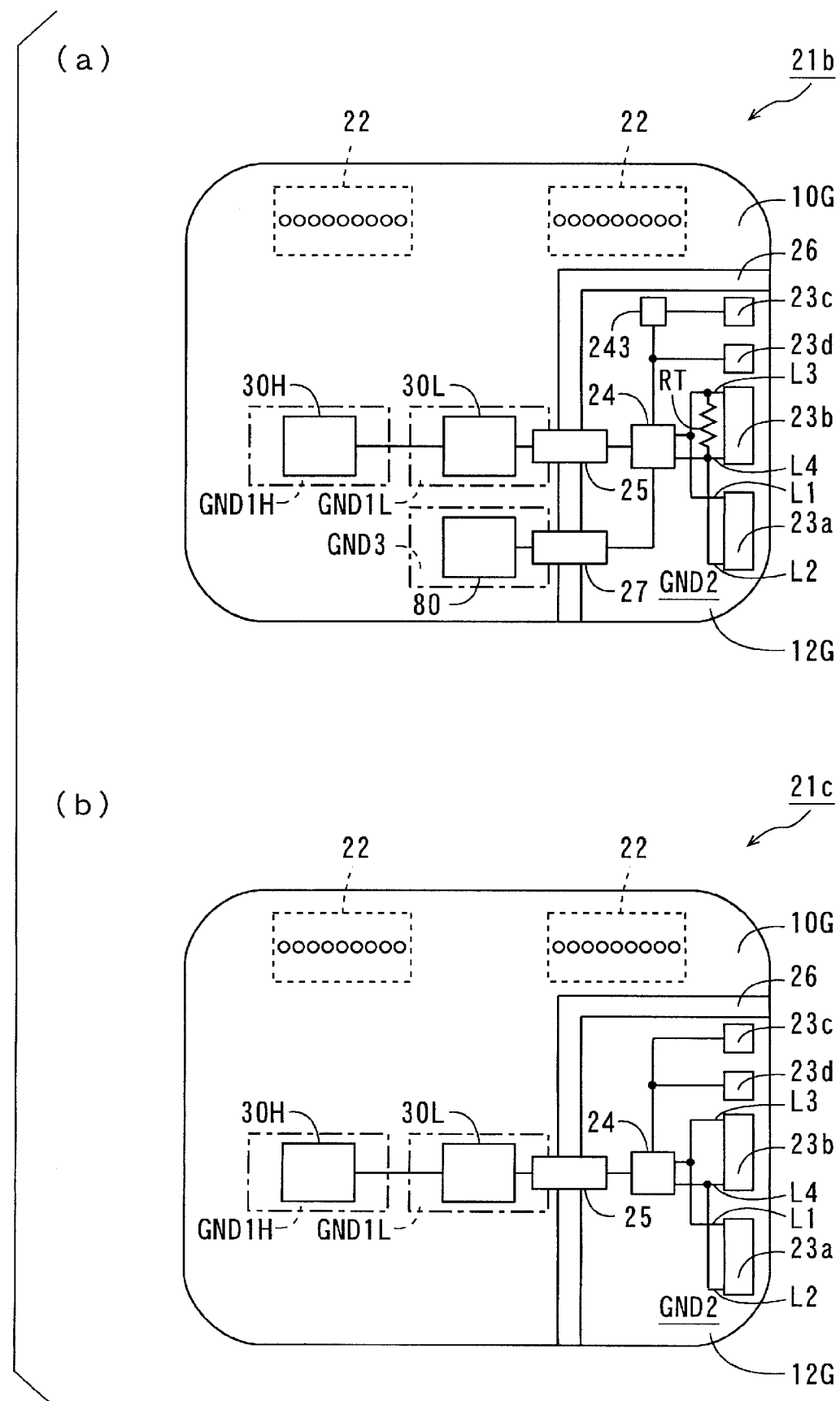
[図15]



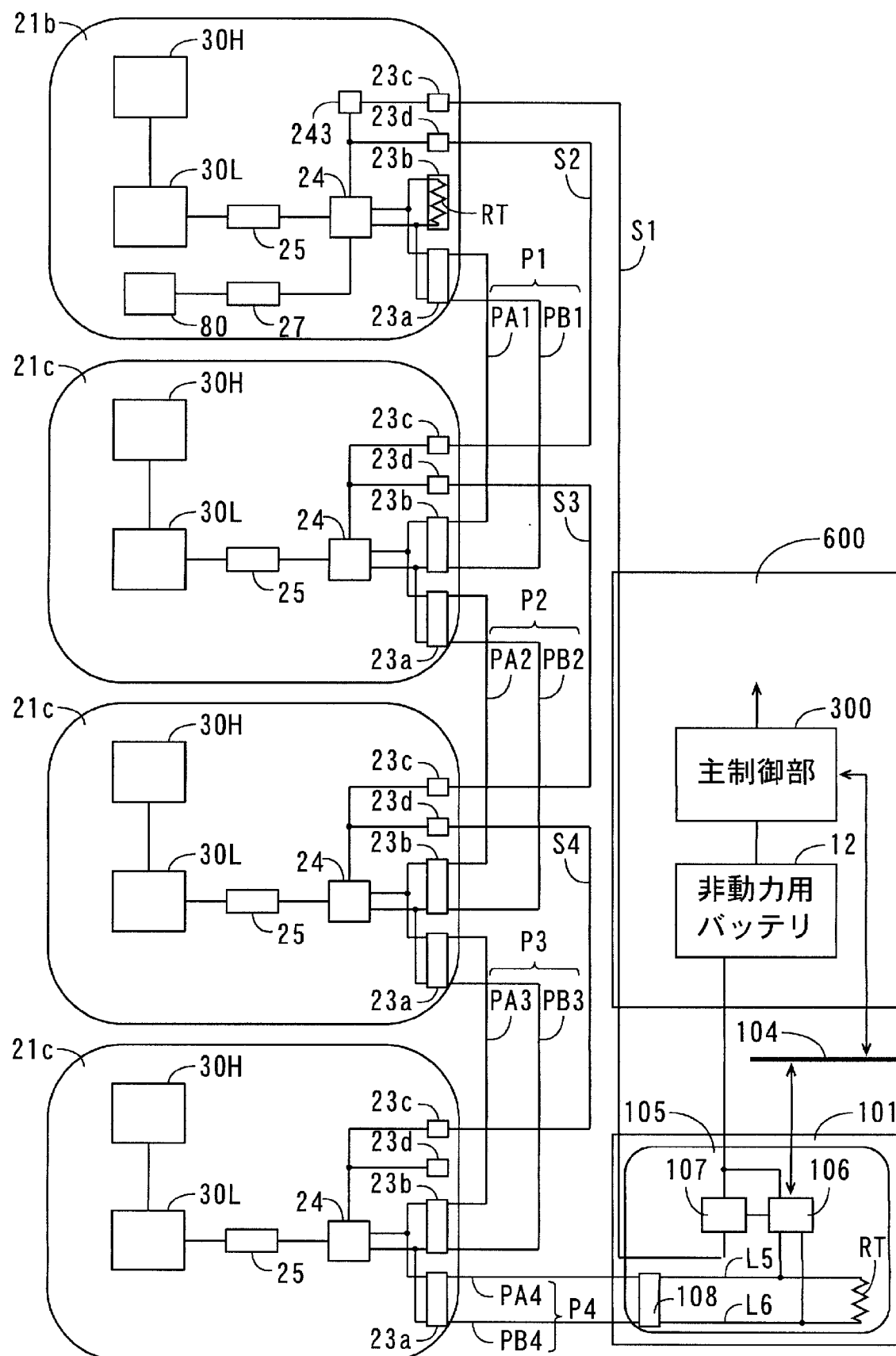
[図16]



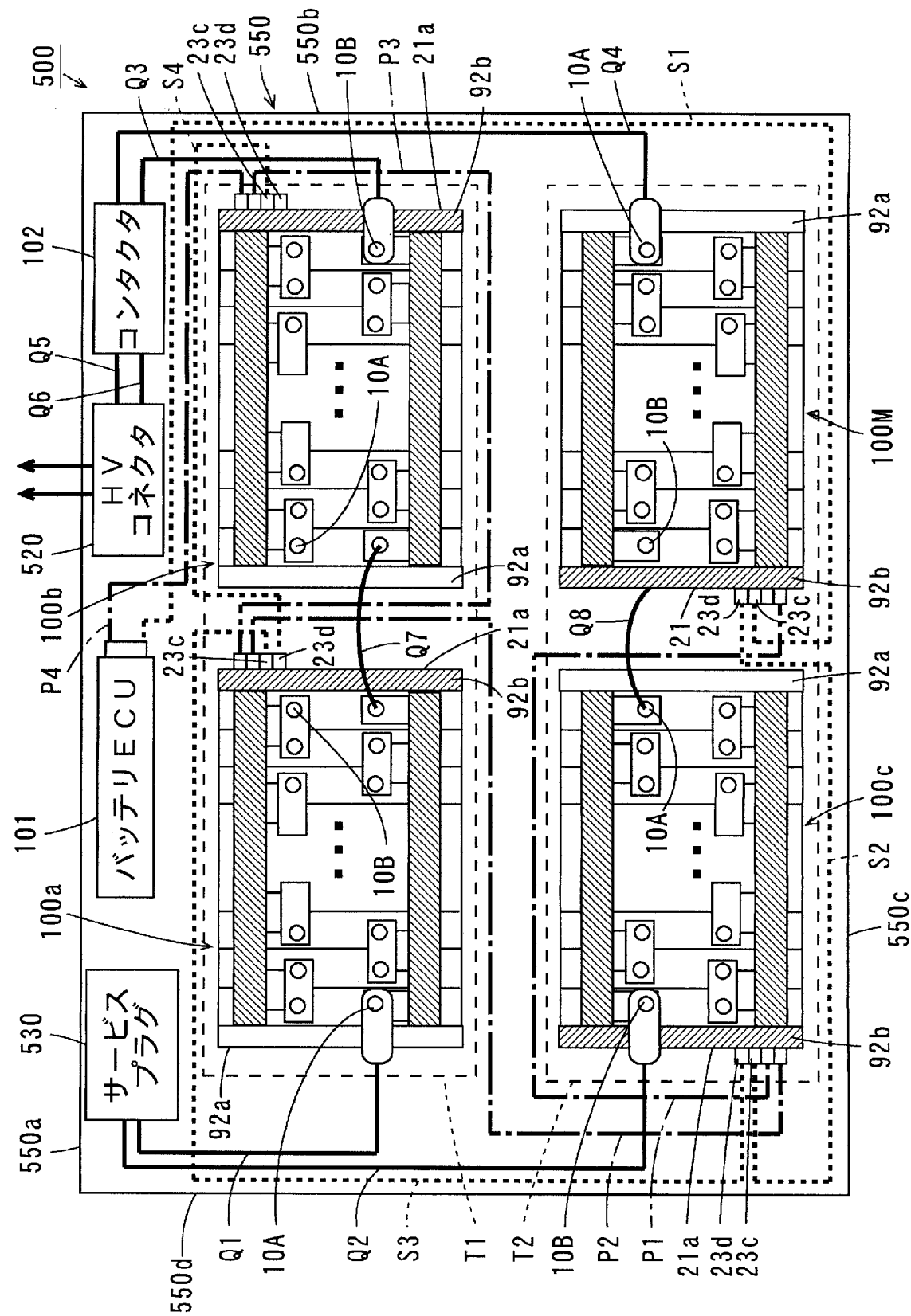
[図17]



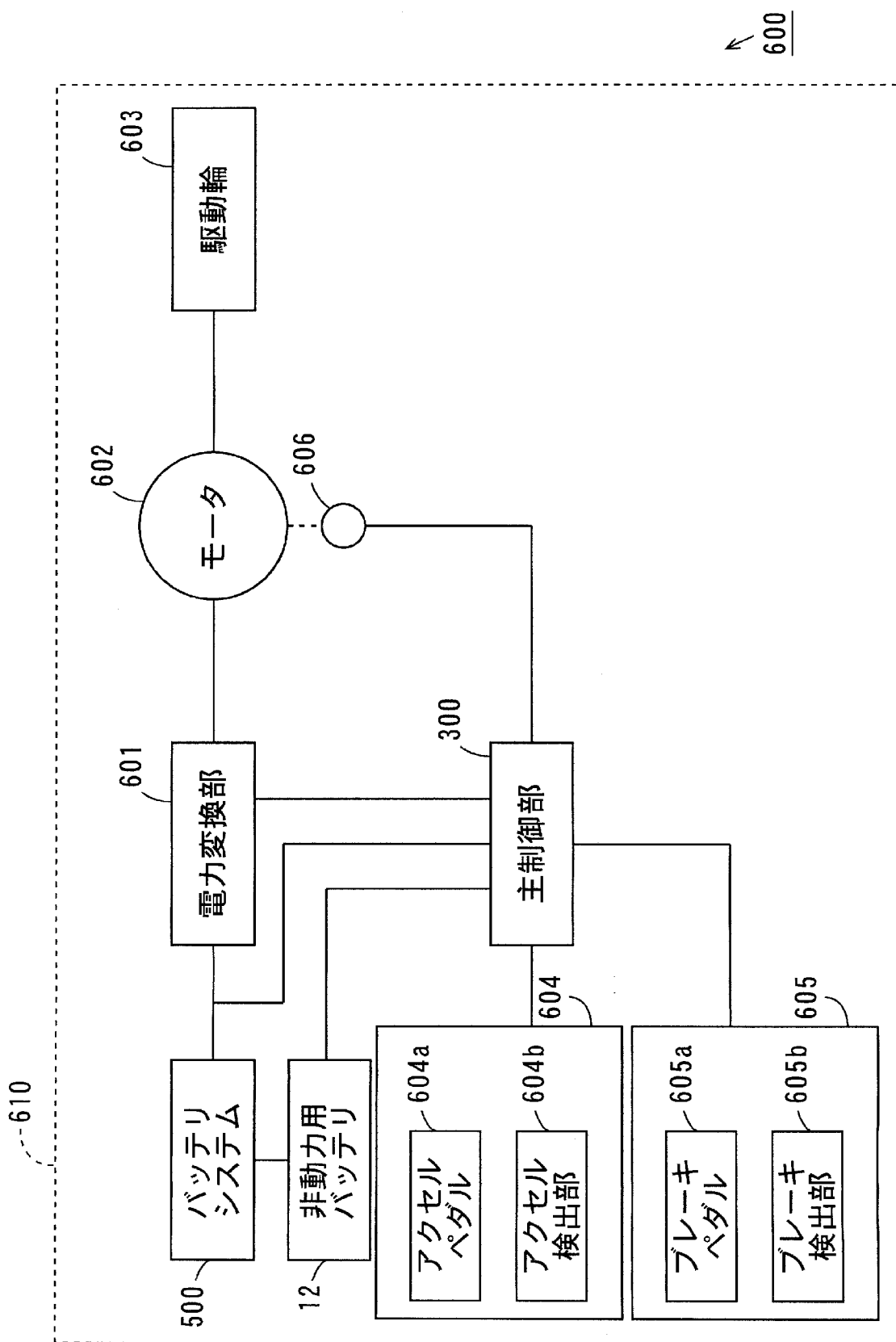
[図18]



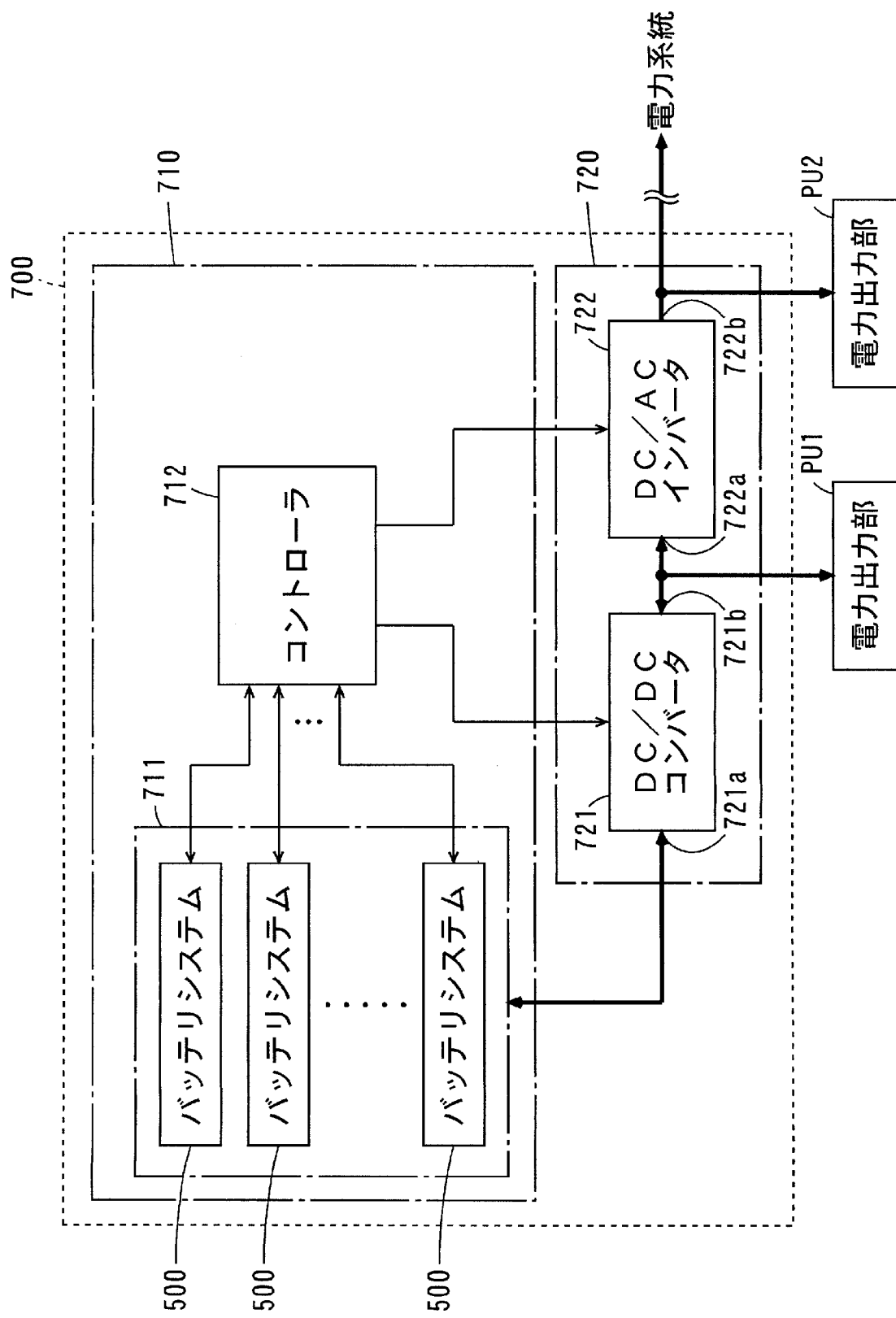
[図19]



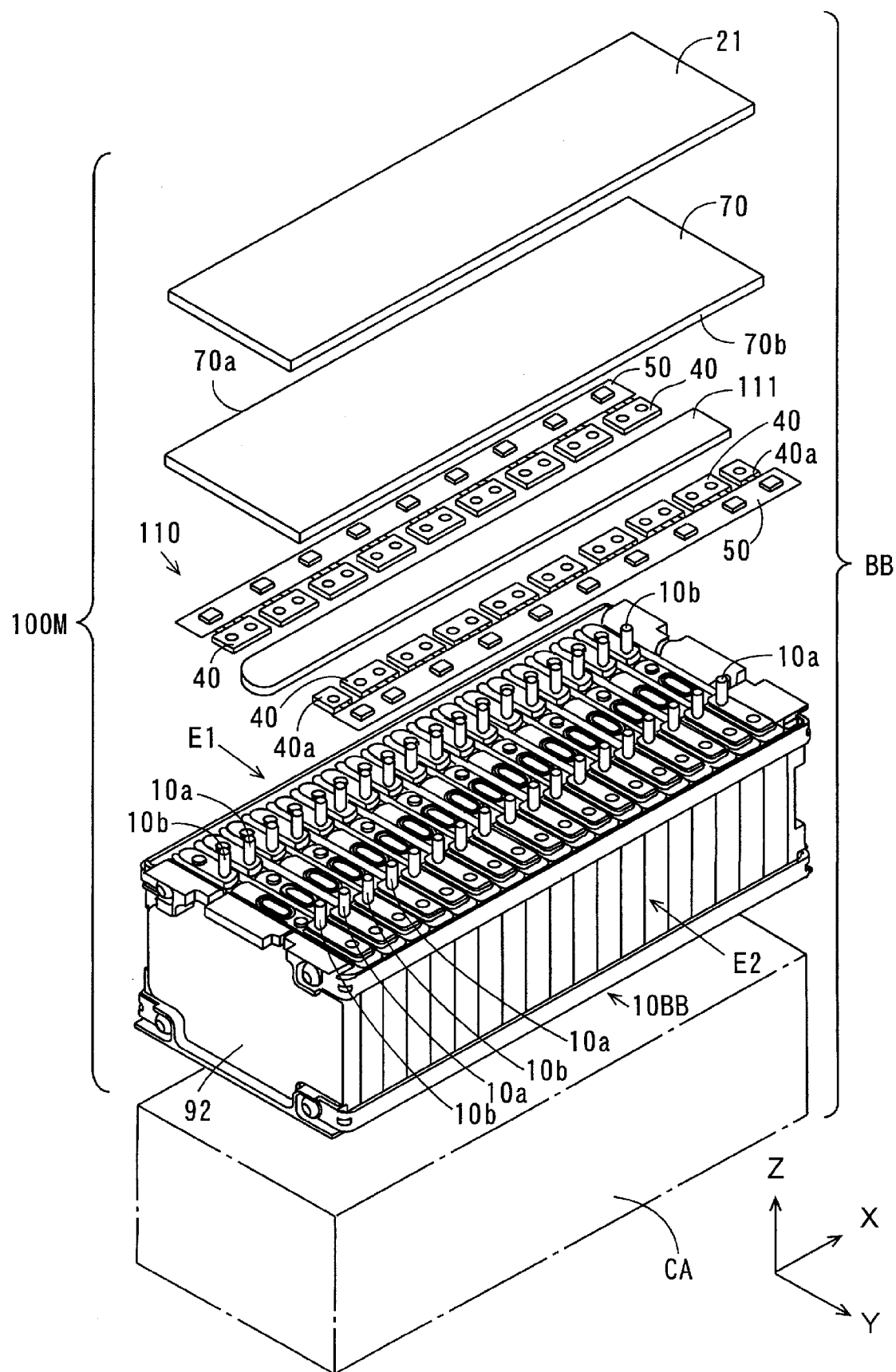
[図20]



【図21】



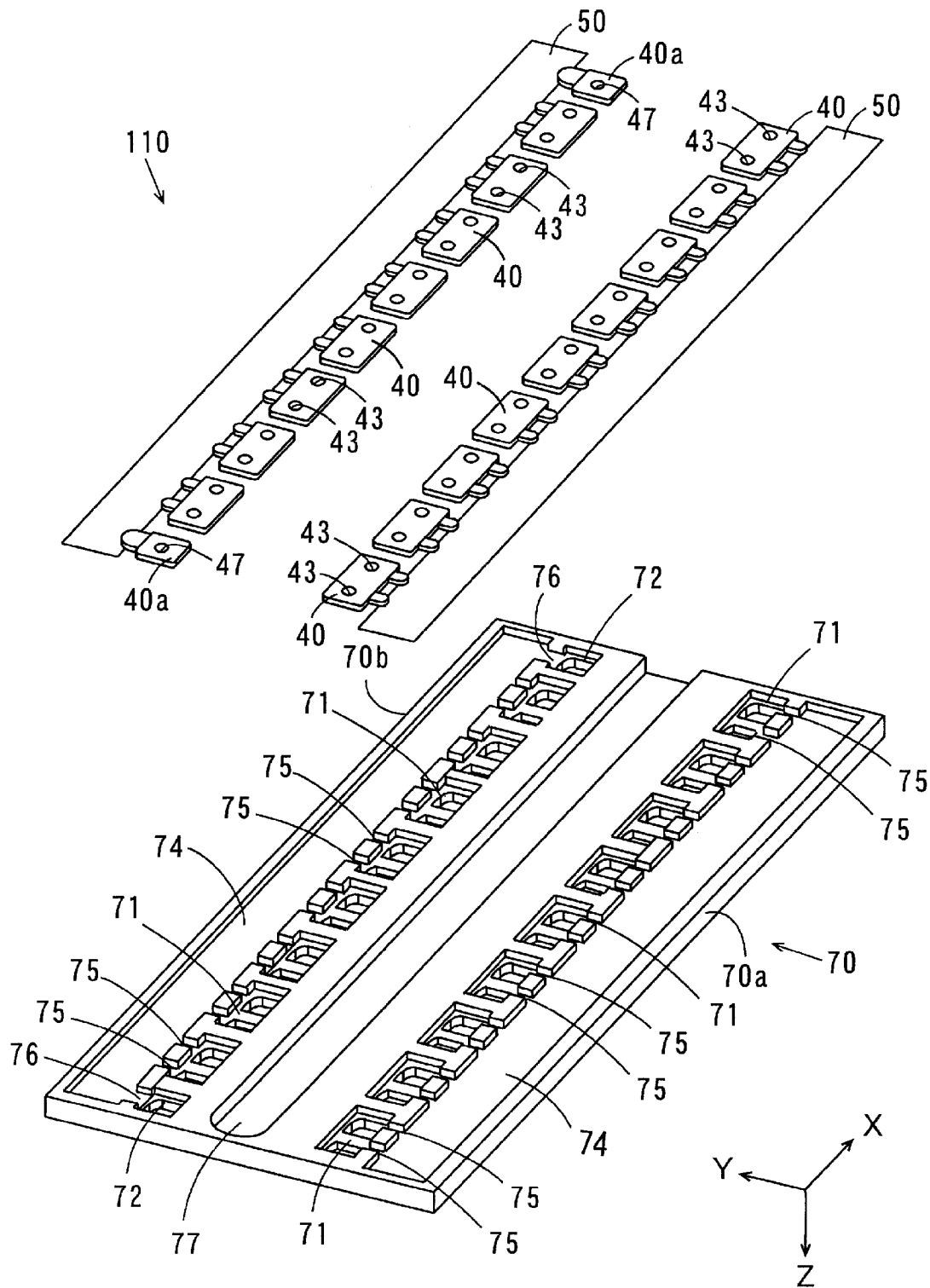
[図22]



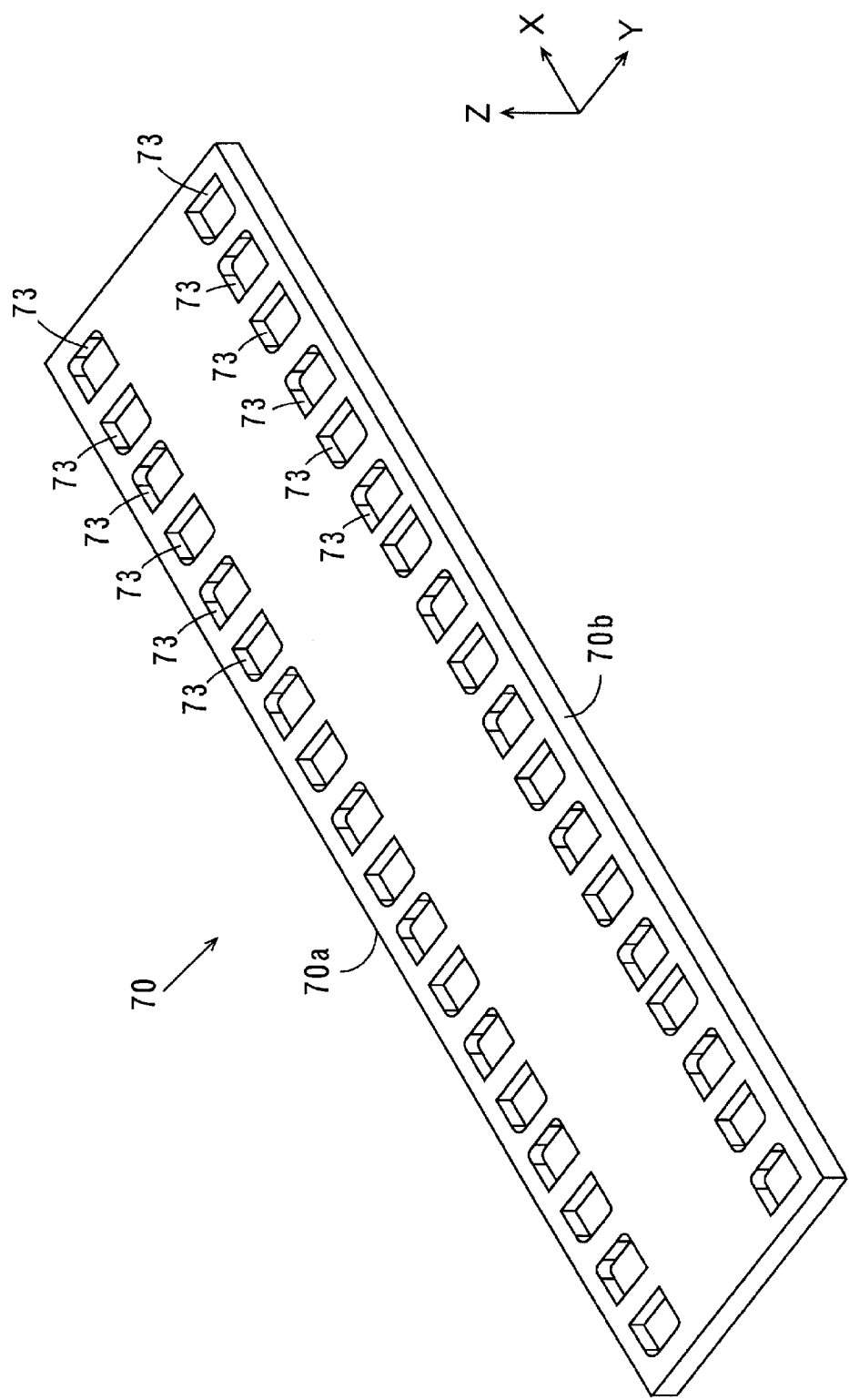
WO 2012/029317

PCT/JP2011/004893

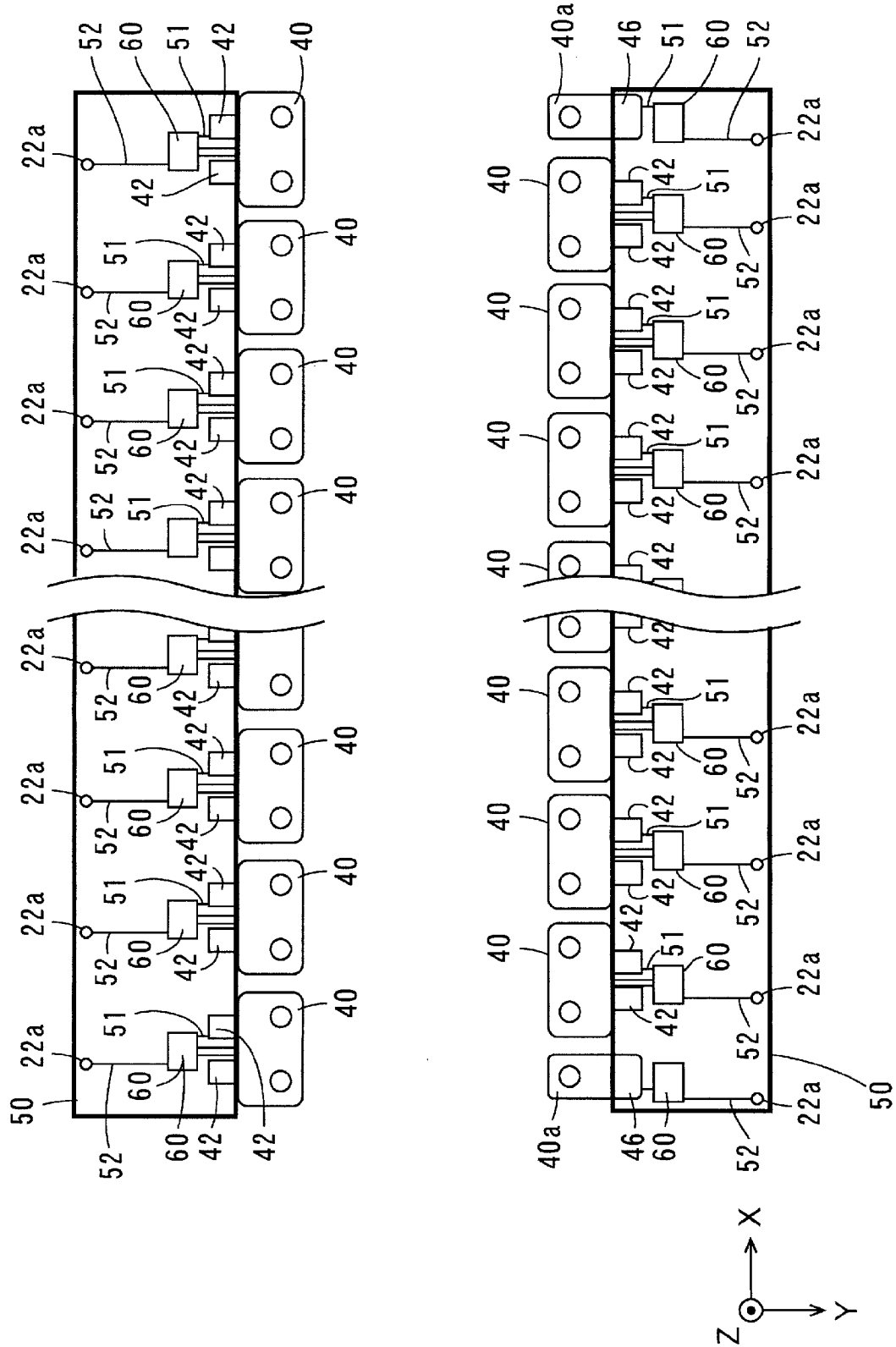
[図23]



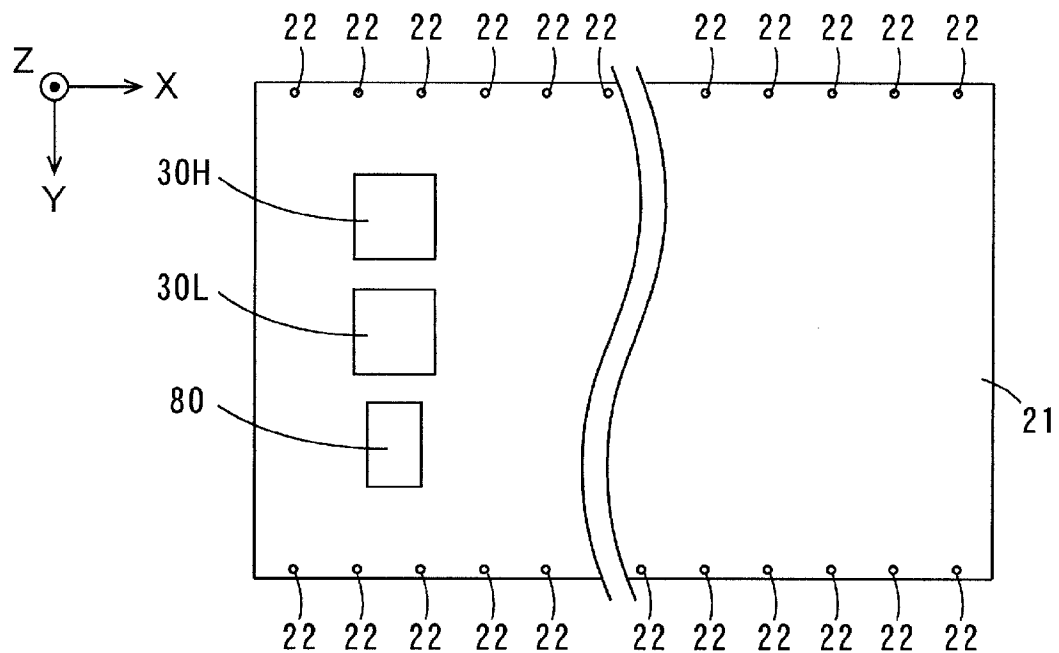
[図24]



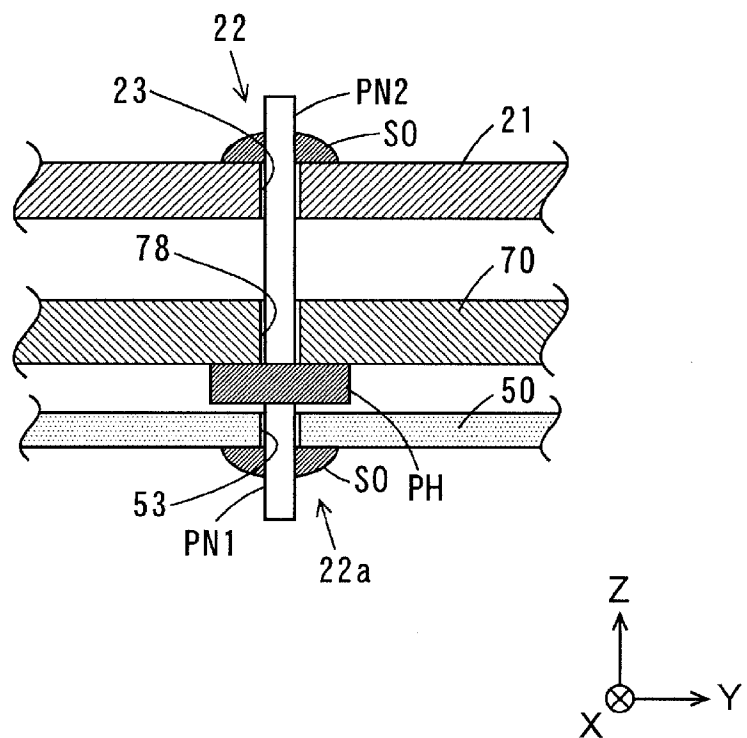
[図25]



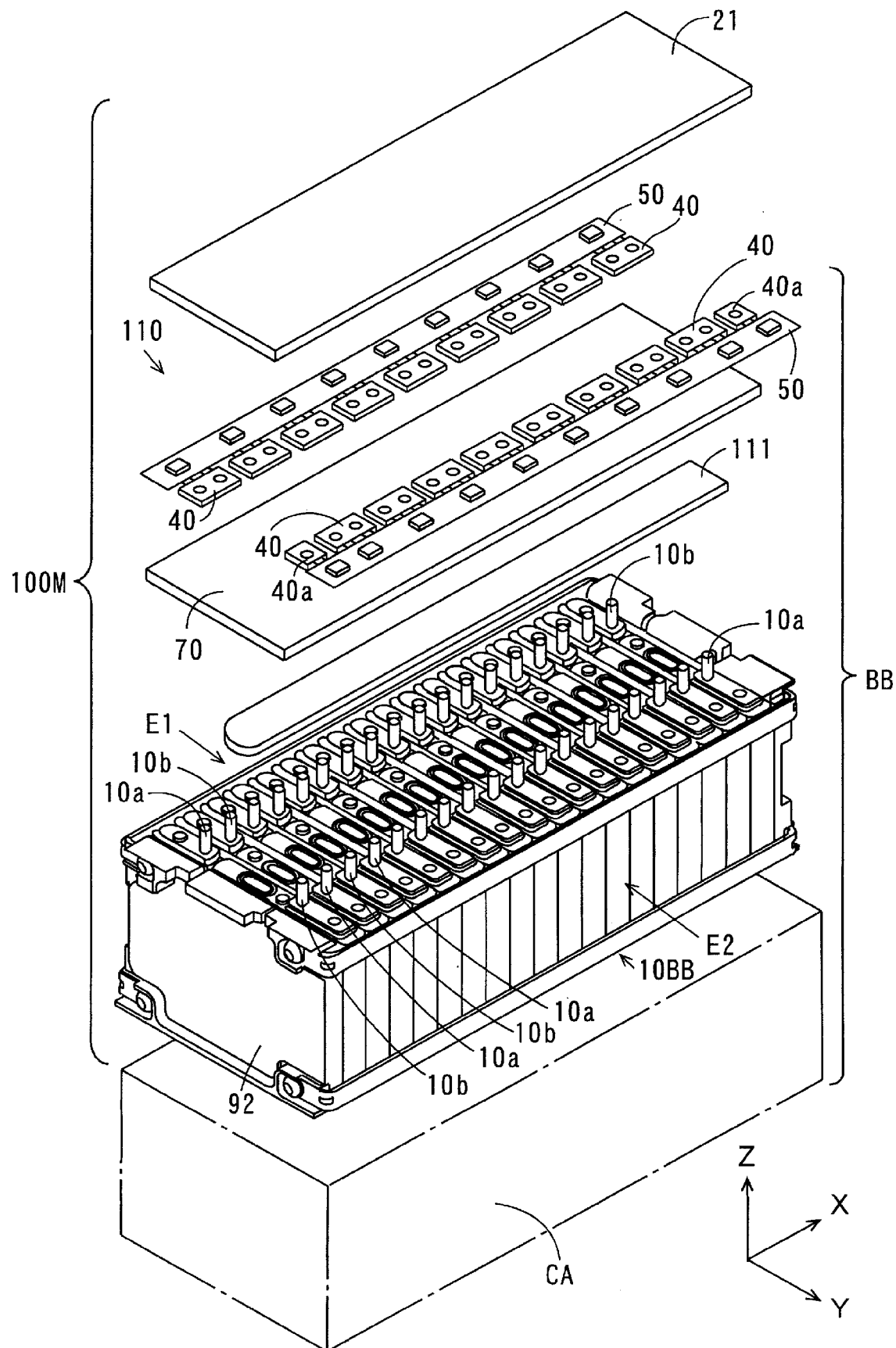
[図26]



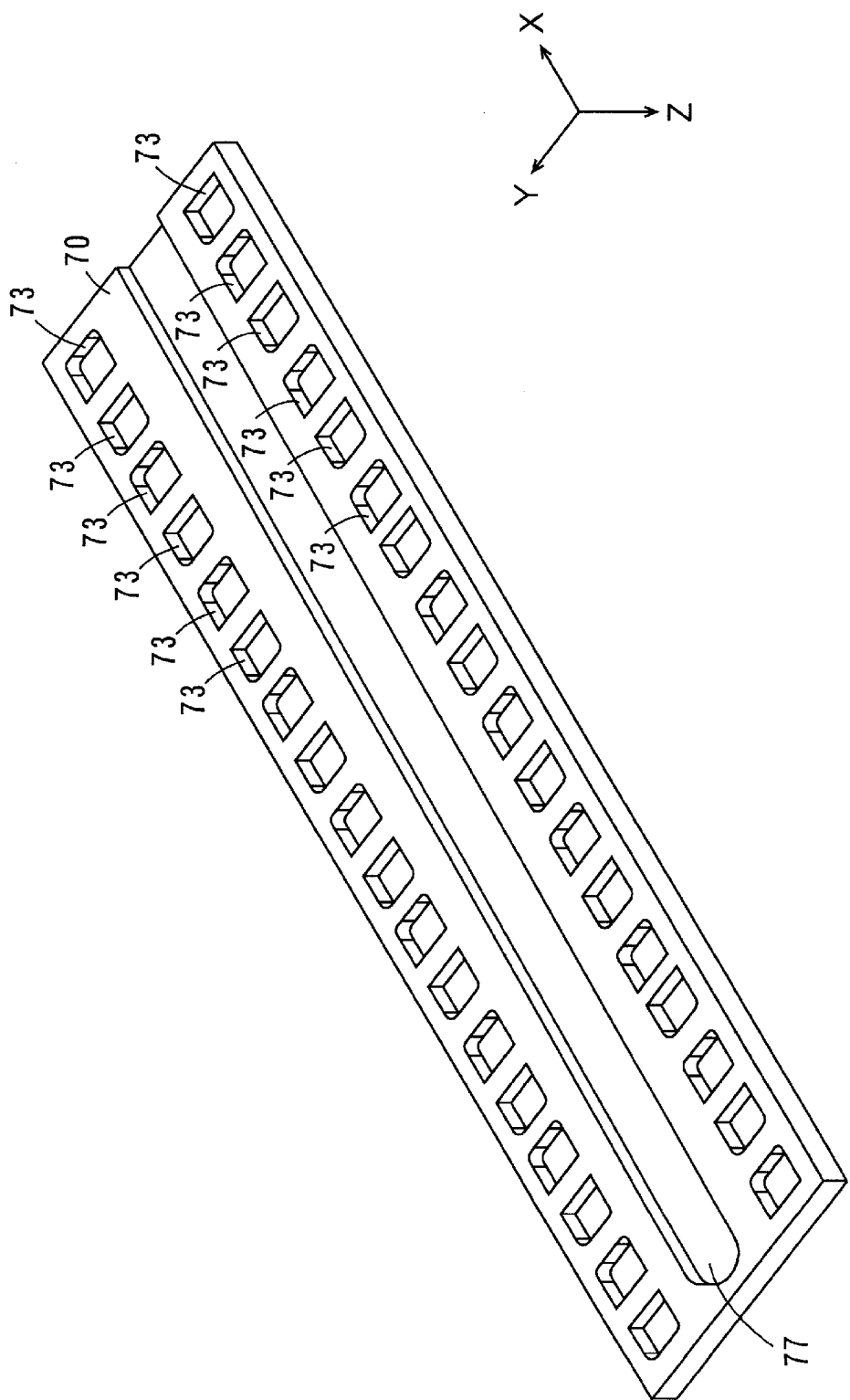
[図27]



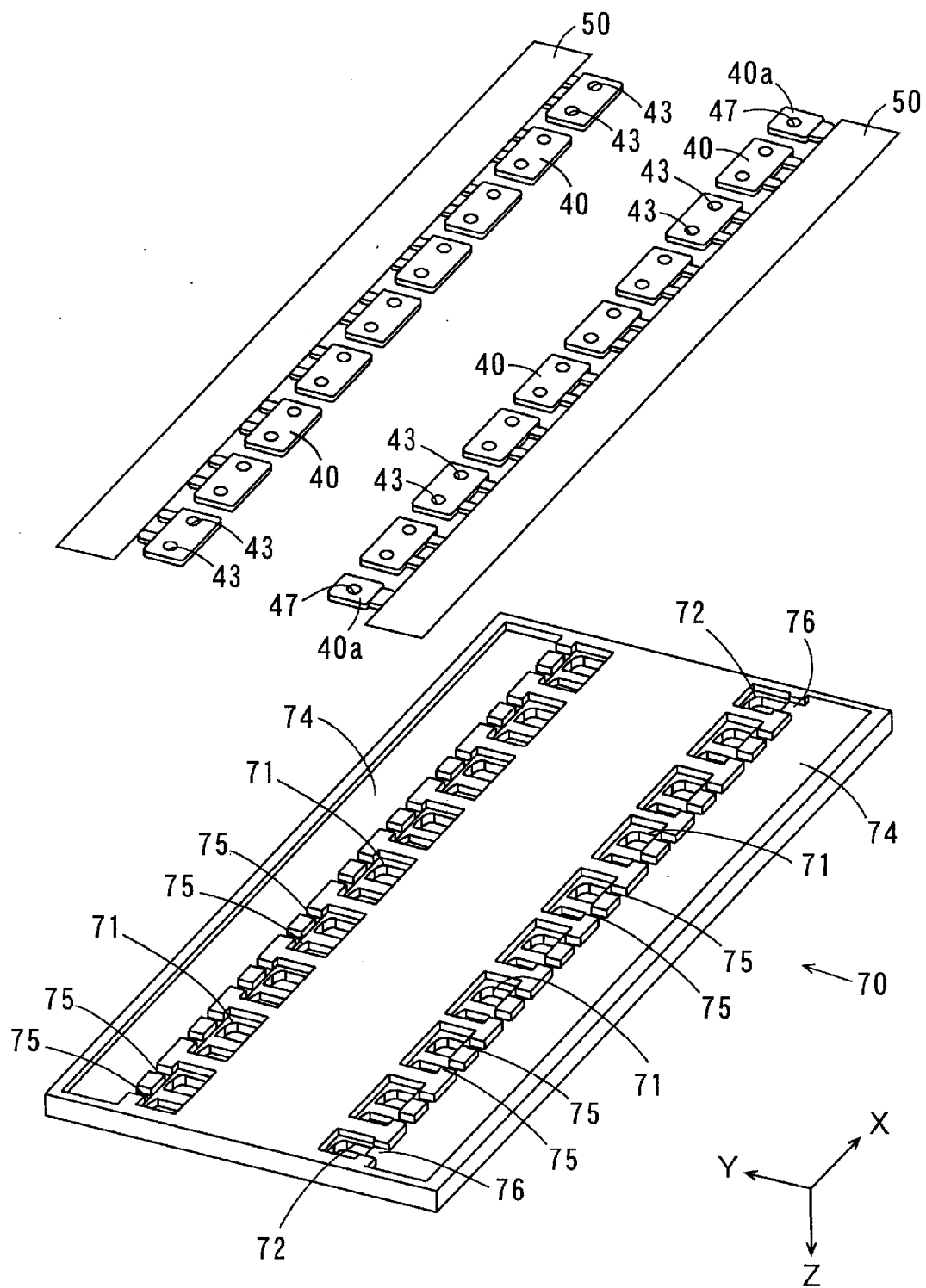
[図28]



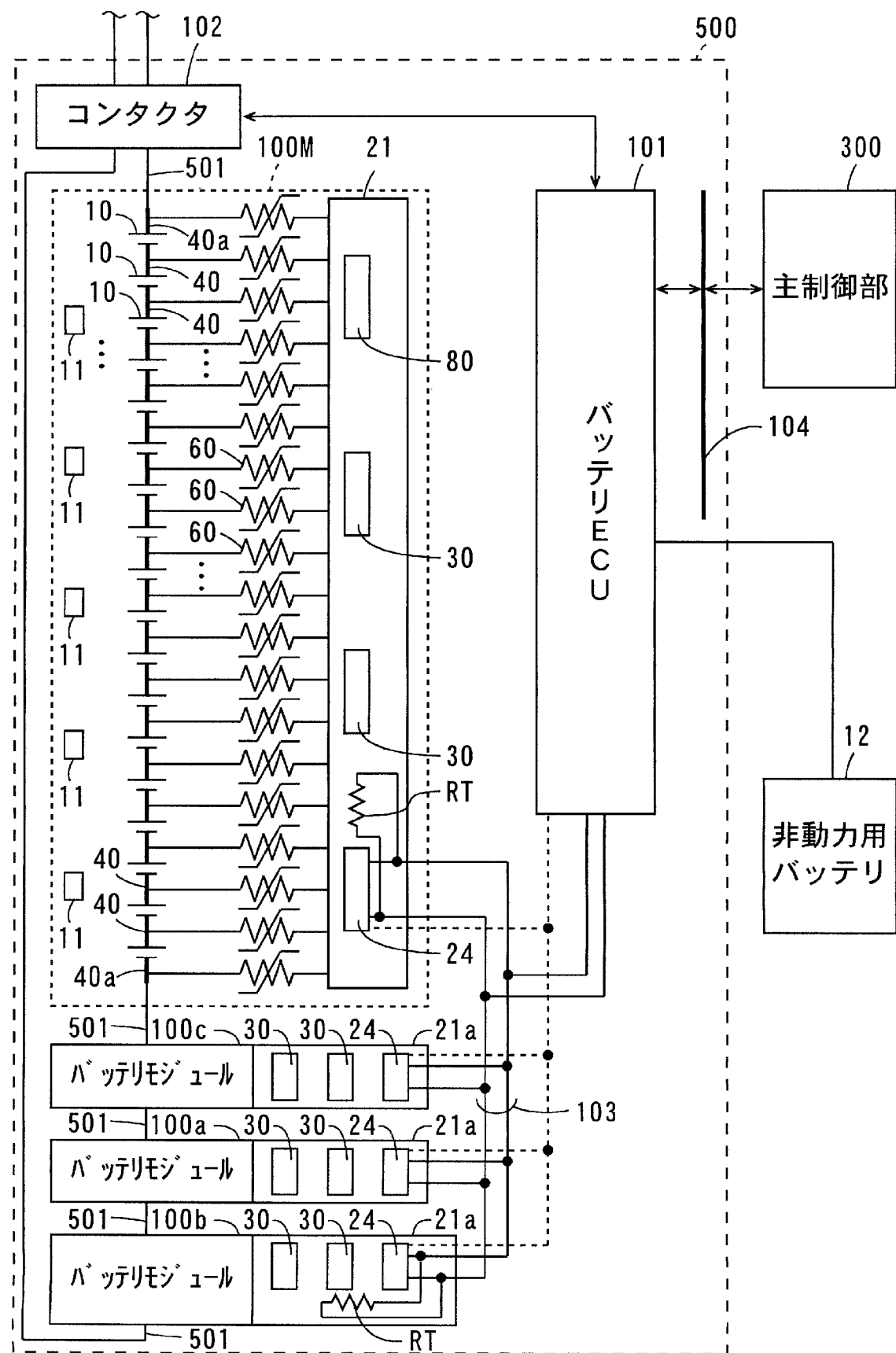
[図29]



[図30]



[図31]



INTERNATIONAL SEARCH REPORT

International application No.

PCT/JP2011/004893

A. CLASSIFICATION OF SUBJECT MATTER
H02J7/02(2006.01) i, G01R31/36(2006.01) i

According to International Patent Classification (IPC) or to both national classification and IPC

B. FIELDS SEARCHED

Minimum documentation searched (classification system followed by classification symbols)
B60R16/02, G01R31/36, H01M10/48, H02J7/02

Documentation searched other than minimum documentation to the extent that such documents are included in the fields searched
 Jitsuyo Shinan Koho 1922-1996 Jitsuyo Shinan Toroku Koho 1996-2011
 Kokai Jitsuyo Shinan Koho 1971-2011 Toroku Jitsuyo Shinan Koho 1994-2011

Electronic data base consulted during the international search (name of data base and, where practicable, search terms used)

C. DOCUMENTS CONSIDERED TO BE RELEVANT

Category*	Citation of document, with indication, where appropriate, of the relevant passages	Relevant to claim No.
X	WO 02/080332 A1 (DESIGNLINE LTD.), 10 October 2002 (10.10.2002), & CN 1545754 A & HK 1067240 A & JP 2004-524793 A & US 2004/0164706 A1	1-13
A	WO 2006/130199 A1 (AUTO METER PRODUCTS INC.), 07 December 2006 (07.12.2006), & CA 2601230 A & EP 1861277 A & JP 2008-537522 A	1-13
E, A	WO 2011/132434 A1 (SANYO ELECTRIC CO., LTD.), 27 October 2011 (27.10.2011), (Family: none)	1-13

Further documents are listed in the continuation of Box C.

See patent family annex.

* Special categories of cited documents:	
"A"	document defining the general state of the art which is not considered to be of particular relevance
"E"	earlier application or patent but published on or after the international filing date
"L"	document which may throw doubts on priority claim(s) or which is cited to establish the publication date of another citation or other special reason (as specified)
"O"	document referring to an oral disclosure, use, exhibition or other means
"P"	document published prior to the international filing date but later than the priority date claimed
"T"	later document published after the international filing date or priority date and not in conflict with the application but cited to understand the principle or theory underlying the invention
"X"	document of particular relevance; the claimed invention cannot be considered novel or cannot be considered to involve an inventive step when the document is taken alone
"Y"	document of particular relevance; the claimed invention cannot be considered to involve an inventive step when the document is combined with one or more other such documents, such combination being obvious to a person skilled in the art
"&"	document member of the same patent family

Date of the actual completion of the international search
 18 November, 2011 (18.11.11)

Date of mailing of the international search report
 06 December, 2011 (06.12.11)

Name and mailing address of the ISA/
 Japanese Patent Office

Authorized officer

Facsimile No.

Telephone No.

INTERNATIONAL SEARCH REPORT

International application No.

PCT/JP2011/004893

C (Continuation). DOCUMENTS CONSIDERED TO BE RELEVANT

Category*	Citation of document, with indication, where appropriate, of the relevant passages	Relevant to claim No.
E , A	WO 2011/135868 A1 (SANYO ELECTRIC CO., LTD.), 03 November 2011 (03.11.2011), (Family: none)	1-13

A. 発明の属する分野の分類（国際特許分類（IPC））

Int.Cl. H02J7/02(2006.01)i, G01R31/36(2006.01)i

B. 調査を行った分野

調査を行った最小限資料（国際特許分類（IPC））

Int.Cl. B60R16/02, G01R31/36, H01M10/48, H02J7/02

最小限資料以外の資料で調査を行った分野に含まれるもの

日本国実用新案公報	1922-1996年
日本国公開実用新案公報	1971-2011年
日本国実用新案登録公報	1996-2011年
日本国登録実用新案公報	1994-2011年

国際調査で使用した電子データベース（データベースの名称、調査に使用した用語）

C. 関連すると認められる文献

引用文献の カテゴリー*	引用文献名 及び一部の箇所が関連するときは、その関連する箇所の表示	関連する 請求項の番号
X	WO 02/080332 A1 (DESIGNLINE LTD) 2002.10.10, & CN 1545754 A & HK 1067240 A & JP 2004-524793 A & US 2004/0164706 A1	1-13

 C欄の続きにも文献が列挙されている。 パテントファミリーに関する別紙を参照。

* 引用文献のカテゴリー

「A」特に関連のある文献ではなく、一般的技術水準を示すもの

「E」国際出願日前の出願または特許であるが、国際出願日以後に公表されたもの

「L」優先権主張に疑義を提起する文献又は他の文献の発行日若しくは他の特別な理由を確立するために引用する文献（理由を付す）

「O」口頭による開示、使用、展示等に言及する文献

「P」国際出願日前で、かつ優先権の主張の基礎となる出願

の日の後に公表された文献

「T」国際出願日又は優先日後に公表された文献であって出願と矛盾するものではなく、発明の原理又は理論の理解のために引用するもの

「X」特に関連のある文献であって、当該文献のみで発明の新規性又は進歩性がないと考えられるもの

「Y」特に関連のある文献であって、当該文献と他の1以上の文献との、当業者にとって自明である組合せによって進歩性がないと考えられるもの

「&」同一パテントファミリー文献

国際調査を完了した日

18. 11. 2011

国際調査報告の発送日

06. 12. 2011

国際調査機関の名称及びあて先

日本国特許庁 (ISA/JP)

郵便番号 100-8915

東京都千代田区霞が関三丁目4番3号

特許庁審査官（権限のある職員）

杉田 恵一

5 T 8936

電話番号 03-3581-1101 内線 3568

C(続き) .	関連すると認められる文献	関連する 請求項の番号
引用文献の カテゴリー*	引用文献名 及び一部の箇所が関連するときは、その関連する箇所の表示	
A	WO 2006/130199 A1 (AUTO METER PRODUCTS INC) 2006.12.07, & CA 2601230 A & EP 1861277 A & JP 2008-537522 A	1-13
E A	WO 2011/132434 A1 (SANYO ELECTRIC CO LTD) 2011.10.27, (family none)	1-13
E A	WO 2011/135868 A1 (SANYO ELECTRIC CO LTD) 2011.11.03, (family none)	1-13